



ศึกษาความเป็นไปได้ของการใช้กังหันลมขนาดเล็กแบบพกพาได้

The feasibility study of a portable mini wind turbine

นาย สะท้านกพ ขวัญแก้ว

นาย ชเนค ปวนคำมา

นาย พงศกร อนุนิวัฒน์

| | |
|---------------------------|----------------|
| ห้องสมุดคณะวิศวกรรมศาสตร์ | วันที่รับ..... |
| วันที่รับ..... | 19 ก.ค. 2554 |
| เลขทะเบียน..... | 15547921 |
| เลขเรียกหนังสือ..... | มร. |
| มหาวิทยาลัยแม่ฟ้า | ม.ค. 2553 |

罣ฐณานินพน์นี้เป็นส่วนหนึ่งของการศึกษาหลักสูตรปริญญาวิศวกรรมศาสตรบัณฑิต

สาขาวิชาวิศวกรรมเครื่องกล ภาควิชาวิศวกรรมเครื่องกล

คณะวิศวกรรมศาสตร์ มหาวิทยาลัยแม่ฟ้า

ปีการศึกษา 2553



ใบรับรองปริญญาบัณฑิต

| | | | |
|-------------------|---|-----------|----------|
| ชื่อหัวข้อโครงการ | ศึกษาความเป็นไปได้ของการใช้กังหันลมขนาดเล็กแบบพกพา ไค | | |
| ผู้ดำเนินโครงการ | นายสะท้านกพ ขวัญแก้ว | รหัสนิสิต | 50381505 |
| | นายธเนศ ปวนคำนา | รหัสนิสิต | 50382205 |
| | นายพงศกร อนุนิพัฒน์ | รหัสนิสิต | 50382441 |
| ที่ปรึกษาโครงการ | ดร. ศลิญา วีรพันธุ์ | | |
| สาขาวิชา | วิศวกรรมเครื่องกล | | |
| ภาควิชา | วิศวกรรมศาสตร์ | | |
| ปีการศึกษา | 2553 | | |

คณะวิศวกรรมศาสตร์ มหาวิทยาลัยเรศวร อนุมัติให้ปริญญาบัณฑิตนับนี้เป็นส่วนหนึ่งของการศึกษาตามหลักสูตรวิศวกรรมศาสตร์ สาขาวิศวกรรมเครื่องกล

ที่ปรึกษาโครงการ

(ดร. ศลิญา วีรพันธุ์)

ม.ก.น. สงวนสิทธิ์กรรมการ
(รศ.ดร. ม.ก.น. สงวนเสริมศรี)


กรรมการ
(ดร.ภาณุ พุทธวงศ์)

| | | | | |
|--------------------------|--|-----------|----------|--|
| ชื่อหัวข้อโครงการ | ศึกษาความเป็นไปได้ของการใช้กั้งหันลมขนาดเล็กแบบพกพาได้ | | | |
| ผู้ดำเนินโครงการ | นายสะท้านภพ ขวัญแก้ว | รหัสนิสิต | 50381505 | |
| | นายธเนศ ปวนคำนา | รหัสนิสิต | 50382205 | |
| | นายพงศกร อุนนิวัฒน์ | รหัสนิสิต | 50382441 | |
| ที่ปรึกษาโครงการ | ดร. ศลิษา วีรพันธุ์ | | | |
| สาขาวิชา | วิศวกรรมเครื่องกล | | | |
| ภาควิชา | วิศวกรรมศาสตร์ | | | |
| ปีการศึกษา | 2553 | | | |

บทคัดย่อภาษาไทย

วัตถุประสงค์ของโครงการนี้คือ ศึกษาความเป็นไปได้ในการใช้กั้งหันลมขนาดเล็กพกพาได้ โดย การพิจารณาผลการทบทวนการลดขนาดและการลดน้ำหนักของกั้งหันลม ที่มีต่อประสิทธิภาพของ กั้งหันลมและประสิทธิภาพเชิงกล ในช่วงความเร็วลมประมาณ 2.5 – 3.5 เมตรต่อวินาที โดยการ ทดสอบจากใบกั้งหันลม 3 แบบคือ กั้งหันลมด้านบนแบบทำจากห่อ PVC ขนาด 6 นิ้ว กั้งหันลมทำจากห่อ PVC จากการลดขนาดจากกั้งหันลมด้านบนแบบในอัตราส่วน 2:1 และกั้งหันลมด้านบนจากการหล่อเร ชีนเสริมไข้แก้ว

การเปลี่ยนวัสดุจาก PVC เป็นวัสดุพลาสติกเรชีนเสริมไข้แก้วโดยใช้เรชีน 75 เปอร์เซ็นต์และไข้แก้ว 25 เปอร์เซ็นต์ส่งผลทำให้น้ำหนักกั้งหันลมลดลง 68 เปอร์เซ็นต์เมื่อเทียบกับใบกั้งหันลมที่ทำจากห่อ PVC จากการลดขนาดในอัตราส่วน 2:1 ซึ่งในการทดสอบจะวัดแรงบิด ความเร็วอบและความเร็วลม ด้านหน้ากั้งหันลมที่ระดับ 20 เซนติเมตรและด้านหลังกั้งหันลมที่ระดับ 5 เซนติเมตรเพื่อนำไปใช้ คำนวณหาประสิทธิภาพเชิงกลและประสิทธิภาพของกั้งหันลม

ผลการทดสอบเมื่อลดขนาดกั้งหันลมในอัตราส่วน 2:1 ส่งผลทำให้ประสิทธิภาพเชิงกลเมื่อ เปรียบเทียบกับกั้งหันลมด้านบนแบบทำจากห่อ PVC ขนาด 6 นิ้ว ลดลงจาก 39.50 เปอร์เซ็นต์เป็น 10.85 เปอร์เซ็นต์และประสิทธิภาพของกั้งหันลมเพิ่มขึ้นจาก 13.27 เปอร์เซ็นต์เป็น 27.39 เปอร์เซ็นต์ ส่วนการ ลดน้ำหนักเมื่อเปรียบเทียบระหว่างกั้งหันลมที่ได้จากการลดขนาด กับกั้งหันลมจากการหล่อเรชีนเสริม ไข้แก้วพบว่าประสิทธิภาพเชิงกลเพิ่มขึ้นจาก 10.85 เปอร์เซ็นต์เป็น 18.77 เปอร์เซ็นต์และประสิทธิภาพ ของกั้งหันลมเพิ่มขึ้นจาก 27.39 เปอร์เซ็นต์เป็น 33.33 เปอร์เซ็นต์

| | | | |
|------------------------|---|------|----------|
| Project title | : The feasibility of a portable mini wind turbine | | |
| Name | : Mr.Satanpop Khwankaew | Code | 50381505 |
| | : Mr.Taned Puankhumma | Code | 50382205 |
| | : Mr.Pongson Auniwat | Code | 50382441 |
| Project advisor | : Dr.Salisa Veerapun | | |
| Major | : Mechanical Engineering | | |
| Department | : Mechanical Engineering | | |
| Academic year | : 2010 | | |

Abstract

The purpose of the project is the feasibility study of portable mini wind turbine, by consider the effect of the reducing size and weight the wind turbine. At the effect continue the mechanical efficiency and wind turbines efficiency, at speed interval 2.5-3.5 m/s. By test in 3 model are (1) PVC size 6 inch (2) PVC by the reducing in ratio of 2:1 (3) Resin with fiber glass.

Using resin with fiber glass which compose of resin 75% and fiber glass 25%, instead of PVC reduced the weight of wind turbine 68%, that we test from torque speed velocity frontal of wind turbine at 20 cm. And velocity backside of wind turbine at 5 cm. and bring these value to calculate percent of mechanical efficiency and wind turbines efficiency.

Result of research is the mechanical efficiency of wind turbine decreased 39.50% to 10.85 % and the wind turbines efficiency increased 13.27% to 27.39 %, when we reduce the size of wind turbine. The comparison between the mechanical efficiency increased 10.85 % to 18.77% and wind turbines efficiency increased 27.39 % to 33.33%, when we reduce the weight of the both wind turbine.

กิตติกรรมประกาศ

โครงการนี้สำเร็จลงได้ด้วยดี ผู้เขียนขอขอบพระคุณ ดร. ศลิษา วีรพันธ์ เป็นอย่างสูงที่ได้กรุณาให้คำปรึกษา ชี้แนะแนวทางและช่วยแก้ปัญหาต่างๆ อันเป็นประโยชน์ต่อการทำโครงการในครั้งนี้ให้สำเร็จลุล่วงไปได้ด้วยดี

ขอขอบพระคุณอาจารย์ศิริกาญจน์ ขันสัมฤทธิ์ ที่ช่วยให้คำปรึกษา แนะนำแนวทางในการทำโครงการนี้และขอขอบพระคุณคณะกรรมการผู้คุ้มสอนทุกท่าน ที่เคยให้คำปรึกษาและชี้แนะแนวทางในการปรับปรุงและแก้ไขโครงการนี้

ขอกราบขอบพระคุณคุณพ่อ คุณแม่ ที่ได้ส่งเสริมและสนับสนุนการศึกษาเด็กเรียนและงานวิจัย ตลอดจนการให้กำลังใจด้วยความเสมอมา

ขอบคุณเพื่อนๆ ที่เคยช่วยเหลือและให้ความร่วมมือในการปฏิบัติงาน ตลอดจนกำลังใจ กำลังใจ และคำแนะนำที่คือในการทำโครงการนี้

ขอขอบพระคุณคณะวิศวกรรมศาสตร์ มหาวิทยาลัยราชภัฏ ที่สนับสนุนโครงการและมอบเงิน เพื่อใช้ในการทำโครงการนี้

คณะผู้ดำเนินโครงการ

นายสะท้านภพ ขวัญแก้ว

นางชนกน์ ปวนคำมา

นายพงศกร อนุนิรัตน์

มีนาคม 2554

สารบัญ

เรื่อง

หน้า

| | |
|---|---|
| ในรับรองปริญญาบัณฑิต | ๑ |
| บทคัดย่อภาษาไทย | ๒ |
| Abstract | ๓ |
| กิตติกรรมประกาศ | ๔ |
| สารบัญ | ๕ |
| สารบัญรูป | ๖ |
| สารบัญตาราง | ๗ |
| สารบัญสัญลักษณ์และอักษรย่อ | ๘ |
| บทที่ ๑ บทนำ | ๑ |
| 1.1 ที่มาของปัญหาและความสำคัญของโครงการ | ๑ |
| 1.2 วัตถุประสงค์ของโครงการ | ๑ |
| 1.3 ขอบข่ายของโครงการ | ๒ |
| 1.4 ประโยชน์ที่ได้รับ | ๒ |
| 1.5 สถานที่ปฏิบัติงาน | ๒ |
| 1.6 คุณสมบัติที่ใช้ในการค่าเนินการ | ๒ |
| 1.7 งบประมาณที่ใช้ | ๒ |
| 1.8 ระยะเวลาและแผนการปฏิบัติงาน | ๓ |
| บทที่ ๒ ทฤษฎีและงานวิจัยที่เกี่ยวข้อง | ๔ |
| 2.1 พลังงานลม | ๔ |

สารบัญ (ต่อ)

| หน้า | |
|------|---|
| 5 | 2.2 การใช้พลังงานลมในประเทศไทย..... |
| 6 | 2.3 ชนิดของกังหันลม..... |
| 10 | 2.4 ประสิทธิภาพของกังหันลม..... |
| 14 | บทที่ 3 การพัฒนา กังหันลมขนาดเด็ก..... |
| 14 | 3.1 กังหันลมจากท่อ PVC..... |
| 16 | 3.2 การลดขนาด |
| 17 | 3.3 การลดน้ำหนัก..... |
| 20 | 3.4 การทดสอบคุณสมบัติของวัสดุ PVC และวัสดุเรซิ่นเสริมใบเก้า..... |
| 24 | 3.5 ลักษณะทางกายภาพของกังหันลม..... |
| 25 | บทที่ 4 การทดสอบหาประสิทธิภาพกังหันลม..... |
| 25 | 4.1 การทดสอบเพื่อหาระยะความเร็วลมเฉลี่ย 2.5 – 3.5 m/s..... |
| 29 | 4.2 ผลการทดสอบเพื่อหาระยะห่างระหว่างกังหันลมกับพัดลมในช่วงความเร็วลมเฉลี่ย 2.5 -3.5 m/s..... |
| 31 | 4.3 การทดสอบกังหันลมที่ระยะ 1.5 m พัดลมเบอร์ 2..... |
| 35 | 4.4 ผลการทดสอบกังหันลมที่ระยะ 1.5 m พัดลมเบอร์ 2..... |
| 37 | 4.5 การคำนวณประสิทธิภาพกังหันลม..... |
| 39 | 4.6 วิเคราะห์ผลการทดสอบกังหันลม..... |
| 40 | 4.7 สรุปผลการทดสอบ..... |
| 41 | บทที่ 5 สรุปผลการลดขนาดและลดน้ำหนักของกังหันลม |
| 42 | บรรณานุกรม..... |
| 43 | ภาคผนวก ก การทดสอบแรงดึงวัสดุ PVC และวัสดุเรซิ่นเสริมใบเก้า..... |

สารบัญ (ต่อ)

หน้า

| | |
|---|----|
| ภาคผนวก ข การทดลองเพื่อหาความเร็วลมเฉลี่ยที่ 2.5 – 3.5 m/s..... | 58 |
| ภาคผนวก ค การคำนวณ | 68 |
| ภาคผนวก ง แบบร่างกั้งหันลม..... | 76 |



สารบัญรูป

| รูปที่ | หน้า |
|---|------|
| รูปที่ 2.1 ลักษณะของความเร็วลมภายในชั้นบรรยากาศ (atmosphere boundary layer) | 5 |
| รูปที่ 2.2 กังหันลมความเร็วต่ำของบริษัท พระพาย เทคโนโลยี | 5 |
| รูปที่ 2.3 กระบวนการทำงานของกังหันลม | 10 |
| รูปที่ 2.4 Control Volume กังหันลม | 11 |
| รูปที่ 2.5 การเปลี่ยนรูปพลังงานลมเป็นพลังงานไฟฟ้า | 12 |
| รูปที่ 3.1 กังกันลมท่อ PVC แบบตรง | 14 |
| รูปที่ 3.2 แบบกังหันลมท่อ PVC แบบตรงขนาด 4 นิ้ว ยาว 50 cm | 15 |
| รูปที่ 3.3 กังกันลมท่อ PVC แบบโค้ง | 15 |
| รูปที่ 3.4 แบบกังหันลมท่อ PVC ขนาด 6" ยาว 24" | 15 |
| รูปที่ 3.5 แสดงรูปแบบที่จะตัด | 16 |
| รูปที่ 3.6 แสดงการตัดท่อพีวีซีตามแบบ | 17 |
| รูปที่ 3.7 แสดงแบบกังหันจากท่อพีวีซี | 17 |
| รูปที่ 3.8 แม่แบบหล่อท่อพีวีซี (PVC) | 18 |
| รูปที่ 3.9 แสดงน้ำยาโคงอลด์ | 18 |
| รูปที่ 3.10 แสดงเส้นไขแก้วเบอร์ 600 | 19 |
| รูปที่ 3.11 แสดงการหล่อขึ้นงานตัวเรซิ่นเสริมไขแก้ว | 19 |
| รูปที่ 3.12 แสดงแบบกังหันจากเรซิ่นเสริมไขแก้ว | 20 |
| รูปที่ 3.13 ชิ้นงานตามมาตรฐาน ASTM D638 TYPE I | 20 |
| รูปที่ 3.14 ตัวอย่างชิ้นที่ตัดตามมาตรฐาน ASTM D638 TYPE I | 21 |
| รูปที่ 3.15 กราฟแสดงค่า Modulus of elasticity (E) ของพีวีซี | 22 |

สารบัญรูป (ต่อ)

| รูปที่ | หน้า |
|---|------|
| รูปที่ 3.16 กราฟแสดงค่า Modulus of elasticity (E) ของเรซิ่นเสริมไยเก็ว | 22 |
| รูปที่ 3.17 กราฟแสดงค่าเบรย์บันเทียน Modulus of elasticity (E) ของพีวีซีกับเรซิ่นเสริมไยเก็ว..... | 23 |
| รูปที่ 4.1 พัคลงอุตสาหกรรม..... | 26 |
| รูปที่ 4.2 เครื่องวัดความเร็วลม..... | 26 |
| รูปที่ 4.3 แสดงชุดติดตั้งกังหันลมแต่ละแบบ..... | 27 |
| รูปที่ 4.4 การตั้งระบบการทดลองหาความเร็วลม..... | 27 |
| รูปที่ 4.5 การตั้งกังหันลมและพัคลง..... | 28 |
| รูปที่ 4.6 แสดงคำแนะนำที่ใช้ในการวัด..... | 28 |
| รูปที่ 4.7 กราฟแสดงความสัมพันธ์ระหว่างความเร็วลมและระยะห่างระหว่างพัคลงกับกังหันลม..... | 30 |
| รูปที่ 4.8 พัคลงอุตสาหกรรม..... | 31 |
| รูปที่ 4.9 เครื่องวัดความเร็วลม..... | 31 |
| รูปที่ 4.10 เครื่องวัดความเร็วลม..... | 32 |
| รูปที่ 4.11 ตาข่ายสปริง..... | 32 |
| รูปที่ 4.12 แสดงชุดติดตั้งกังหันลมแต่ละแบบ..... | 32 |
| รูปที่ 4.13 ตั้งพัคลงห่างจากกังหันลมที่ระยะ 1.5 m..... | 33 |
| รูปที่ 4.14 การวัดความเร็วลมหน้ากังหันลม..... | 33 |
| รูปที่ 4.15 การวัดความเร็วลมหน้ากังหันลม..... | 34 |
| รูปที่ 4.16 การวัดความเร็วลม..... | 34 |
| รูปที่ 4.17 การวัดแรงที่กังหันผลิตได้..... | 34 |
| รูปที่ 4.18 กราฟแสดงสัมประสิทธิ์การใช้งานของกังหันลมแต่ละแบบ..... | 37 |
| รูปที่ 4.19 กราฟแสดงประสิทธิภาพกังหันลมแต่ละแบบ..... | 38 |
| รูปที่ 4.20 กราฟแสดงกำลังกับพารามิเตอร์ต่างๆ..... | 38 |

สารบัญตาราง

| ตาราง | หน้า |
|--|------|
| ตาราง 1.1 งบประมาณที่ใช้..... | 2 |
| ตาราง 2.1 ศักยภาพพลังงานลมตามข้อคุณภาพและชายฝั่งทะเลของประเทศไทย..... | 6 |
| ตาราง 2.2 กังหันลมแนวแกนตั้ง (Vertical Axis Wind Turbine) | 7 |
| ตาราง 2.3 กังหันลมแบบแกนนอน (Horizontal Axis wind Turbine)..... | 8 |
| ตาราง 3.1 แสดงน้ำหนักส่วนผสมการหล่อเรซิ่นเสริมไข้డ్รోว | 20 |
| ตาราง 3.2 ค่าคงที่ที่ใช้ในการคำนวณ | 21 |
| ตาราง 3.3 ลักษณะทางกายภาพของกังหันลม..... | 24 |
| ตาราง 4.1 สรุปผลความเร็วลมที่ได้จากการทดสอบของกังหันลม | 29 |
| ตาราง 4.2 ผลการทดสอบกังหันลมที่ระดับ 1.5 m พัดลมเบอร์ 2 | 37 |
| ตาราง 4.3 ผลการคำนวณสัมประสิทธิ์การใช้งานของกังหันลม | 37 |
| ตาราง 4.4 ผลการคำนวณประสิทธิภาพของกังหันลมจากกำลังที่ได้จากการทดสอบ..... | 38 |

สารบัญสัญลักษณ์และอักษรย่อ

| สัญลักษณ์ | ความหมาย |
|------------|-------------------------------|
| η | ประสิทธิภาพ |
| P_a | กำลังลม |
| m° | มวลอากาศ |
| ρ | ความหนาแน่น |
| A | พื้นที่รับลม |
| V | ความเร็วลม |
| D | เส้นผ่านศูนย์กลาง |
| P_w | กำลังลมที่กังหันลมดึงออกมาได้ |
| C_p | สัมประสิทธิ์การใช้งาน |
| ω | ความเร็วเชิงมุม |
| T | แรงบิด |
| N | ความเร็วรอบ |
| V | ความต่างศักย์ของกระแสไฟฟ้า |
| I | กระแสไฟฟ้าที่วัดได้ |
| P | กำลังไฟฟ้า |
| E | Modulus of elasticity |
| ϵ | ความเครียด |

สัญลักษณ์ ความหมาย

σ ความเก็บ

A_0 พื้นที่หน้าตัดที่รับแรง

l_0 ความยาวเริ่มต้น

Δl ความยาวที่ปีกออก



บทที่ 1

บทนำ

1.1 ที่มาของปัญหาและความสำคัญของโครงการ

พัฒนาเป็นสิ่งจำเป็นสำหรับการดำเนินธุรกิจของมนุษย์ ซึ่งในปัจจุบันมนุษย์มีการใช้พลังงานในปริมาณที่เพิ่มมากขึ้นเพื่อตอบสนองความต้องการ และเพื่อใช้ในการดำเนินธุรกิจ เนื่องจากปัจจุบันมีการเพิ่มขึ้นของจำนวนประชากรทำให้พัฒนาหลักที่มีอยู่ก่อนข้างน้อยไม่เพียงพอต่อความต้องการ ดังนั้น จึงต้องมีการจัดหาแหล่งพลังงานขั้นมาทดแทนแหล่งพลังงานหลักที่กำลังจะหมดไปในอนาคตซึ่ง พลังงานหมุนเวียน เช่น พลังงานลม พลังงานน้ำ พลังงานแสงอาทิตย์ พลังงานคลื่น และความร้อนจากไฟฟ้า โลกมีอยู่ทั่วไปตามธรรมชาติและสามารถมีทักษะให้อ่าย่างไม่จำกัด เมื่อเปรียบเทียบกับพลังงานหลักในปัจจุบัน เช่น น้ำมันหรือถ่านหินที่มีอยู่อย่างจำกัด พลังงานหมุนเวียนเป็นแหล่งของพลังงานที่ใช้แล้วไม่หมดไป สามารถนำกลับมาใช้ใหม่ได้โดยมีผลกระทบต่อสิ่งแวดล้อมเพียงเล็กน้อย

พลังงานหมุนเวียนชนิดหนึ่งที่น่าสนใจคือ พลังงานลม มนุษย์สามารถใช้ประโยชน์จากพลังงานลมได้ในหลายด้าน เช่น ใช้ในการผลิตพลังงานก่อและพลังงานไฟฟ้า โดยใช้อุปกรณ์ที่เรียกว่า “กังหันลม” กังหันลมเป็นอุปกรณ์ที่เปลี่ยนพลังงานลมจากกระแสลมมาเป็นพลังงานก่อเพื่อนำพลังงานที่ได้มาใช้ประโยชน์ จะเห็นได้ว่ากังหันลมมีความสำคัญมากในการเปลี่ยนพลังงาน

จากความสำคัญของกังหันลม ผู้วิจัยจึงคิดพัฒนา กังหันลมให้มีขนาดเล็กลง น้ำหนักเบาเพื่อให้จ่ายต่อการพกพาได้สะดวกและมีประสิทธิภาพสูงขึ้น ใช้เป็นอุปกรณ์ที่เปลี่ยนพลังงานลมจากกระแสลมซึ่ง เป็นพลังงานสะอาดมาเป็นพลังงานก่อโดยปริมาณกระแสลมที่กังหันเริ่มทำงานจะอยู่ในช่วงความเร็ว ลมเฉลี่ยประมาณ 2.5-3.5 เมตรต่อวินาที ซึ่งปริมาณลมคงกล่าวมีอยู่ทุกพื้นที่ของประเทศไทย

1.2 วัตถุประสงค์ของโครงการ

1.2.1 ศึกษารูปแบบของกังหันลมแบบต่างๆ

1.2.2 ออกแบบและปรับแต่งกังหันลมให้มีขนาดเล็กและมีน้ำหนักเบา

1.2.3 ทดสอบและเปรียบเทียบประสิทธิภาพของกังหันลมเมื่อมีการปรับแต่งแล้ว

1.3 ขอบข่ายของโครงการ

ทดสอบประสิทธิภาพของกังหันลมแบบแกนนอน โดยปรับขนาดและเปลี่ยนวัสดุในการทำ กังหันจากท่อพีวีซีเป็นการหล่อจากเรซิน จากเส้นผ่าศูนย์กลางในพัดขนาด 1.22 เมตร เป็นเส้นผ่านศูนย์กลางในพัดขนาด 0.61 เมตร ซึ่งในพัดมีจำนวน 3 ในสามารถลดค่าประกอบและพกพาได้โดยสามารถเริ่มทำงานได้ที่ความเร็วลมเฉลี่ยในช่วง 2.5-3.5 เมตร/วินาที

1.4 ประโยชน์ที่คาดว่าจะได้รับ

- 1.4.1 ได้กังหันลมขนาดเล็กที่มีน้ำหนักเบาและถูกต้องค่าประกอบได้
- 1.4.2 ฝึกหัดกระบวนการคิดการวางแผนและการทำงานร่วมกันเป็นทีม

1.5 สถานที่ปฏิบัติงาน

คณะวิศวกรรมศาสตร์ มหาวิทยาลัยราชภัฏ จังหวัดพิษณุโลก

1.6 อุปกรณ์ที่ใช้ในการดำเนินการ

- 1.6.1 พัดลม
- 1.6.2 ใบพัดกังหัน
- 1.6.3 เครื่องวัดความเร็ว
- 1.6.4 เครื่องมือวัดความเร็วรอบ
- 1.6.5 ตาชั่งสปริงขนาด 10 kg

1.7 งบประมาณที่ใช้

ตาราง 1.1 งบประมาณที่ใช้

| ลำดับ | รายการ | ราคา | หน่วย |
|-------|-----------------------------------|-------|-------|
| 1. | ค่าอุปกรณ์ทำกังหันลม | 1,500 | บาท |
| 2. | ค่าอุปกรณ์ทำฐานและตัวเข็มกังหันลม | 800 | บาท |
| 3. | ค่าใช้จ่ายในการทำรูปเล่มรายงาน | 500 | บาท |
| 4. | ค่าเครื่องซั่งสปริง | 400 | บาท |

1.8 ระยะเวลาและผู้มีส่วนได้เสีย

| กิจกรรม | Pre-Project | Project | 2553 | 2554 |
|--|-------------|---------|------|------|
| 1. આપુનું કેચી કાંઈ હનુમ | | | | |
| 2. લેટોપ એપ્રેયર ઉત્કૃષ્ણ હનુમ | | | | |
| 3. પ્રીખન મૈન્યુસ્ટ્રેનિંગ કોર્સ | | | | |
| 4. ફાળાર છોકન્ડે પ્રીખન ડ્રાઇવિંગ (Drawing) | | | | |
| 5. ટ્રાન્ઝિશન હનુમ 3 ડેન્ય | | | | |
| 6. હથભાન્ધક કાર્યક્રમ અને ટ્રાન્ઝિશન ગ્રાહક ક્રમ | | | | |
| 7. હથભાન્ધક કાર્યક્રમ હનુમ 3 ડેન્ય | | | | |
| 7.1 ગ્રાહક વિશે બાબતું હોય કરી હનુમ | | | | |
| 7.2 ગ્રાહક વિશે બાબતું હોય કરી હનુમ | | | | |
| 7.3 ગ્રાહક વિશે બાબતું હોય કરી હનુમ (T,N) | | | | |
| 8. તસ્કાર કાર્યક્રમ | | | | |
| 9. પ્રીખન મૈન્યુસ્ટ્રેનિંગ કોર્સ | | | | |

บทที่ 2

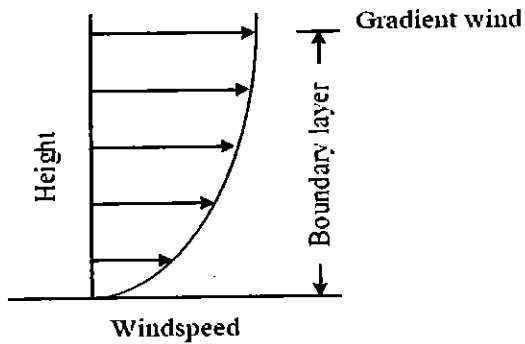
กฎวิธีที่เกี่ยวข้อง

2.1 พลังงานลม

ลมเป็นพลังงานที่เกิดมาจากการเปลี่ยนรูปมาจากพลังงานความร้อนจากแสงอาทิตย์ การเคลื่อนที่ของลมเกิดจากการที่มีอุณหภูมิในแต่ละสถานที่ต่างๆ แตกต่างกัน โดยอากาศร้อนจะวิ่งเข้ามาแทนที่อากาศเย็นรวมทั้งการหมุนของโลกเราเองซึ่งทำให้มีการหมุนเวียนของลมเกิดขึ้นตลอดเวลา ลมเป็นพลังงานทดแทน ที่ไม่มีวันหมดไปจากโลกใบนี้ ถ้าโลกยังคงหมุนอยู่และยังคงมีแสงอาทิตย์ พลังงานลมเป็นพลังงานที่มีความสำคัญมากในปัจจุบัน เพราะเป็นพลังงานที่สะอาด

ดังนั้นเราจึงต้องทำการแปลงรูปพลังงานที่เกิดจากการเคลื่อนที่ของอากาศ หรือที่เรียกว่า พลังงานชลน์ ของลมเปลี่ยนมาเป็นพลังงานก่อ ในการเปลี่ยนรูปของพลังงานชลน์จากลมมาเป็นกำลังงานทางกลนั้น จะต้องมีอุปกรณ์ทางกล หรือกลไกที่จะต้องสร้างขึ้นมาเพื่อเปลี่ยนรูปของ พลังงานโดยแบ่งออกเป็น ได้หลายชนิดและหลายวิธี แต่ที่ได้รับความนิยม และถือว่าเป็นเครื่องก่อ ไก่มีประสิทธิภาพสูง เป็นที่ยอมรับโดยทั่วไปในขณะนี้ซึ่งเรียกว่า กังหันลม

กังหันลมจะใช้ประโยชน์จากลมที่อยู่ใกล้ผิวโลกหรือที่เรียกว่าลมพื้นผิว หมายถึงลมที่พัด ในบริเวณพื้นผิวโลกภายใต้ความสูงประมาณ 1 กิโลเมตรเหนือพื้นดิน เป็นบริเวณที่มีการคุกคาม ของอากาศและมีแรงฟื้裔回ันเกิดจาก การปะทะกับสิ่งกีดขวางร่วมกระทำด้วยในระดับต่ำ แต่ที่ระดับ ความสูงมากกว่า 10 เมตรขึ้นไปแรงด้านจะลดลง และความเร็วลมจะเพิ่มขึ้น ดังแสดงในรูป 2.1 ส่วนที่ระดับความสูงใกล้ 1 กิโลเมตรเกือบไม่มีแรงฟื้ดความเร็วลมเปลี่ยนแปลงขึ้นอยู่กับระดับ ความสูงและสภาพภูมิประเทศ เช่นเดียวกับกับทิศทางของลม จากการศึกษาที่ผ่านมาพบว่า กังหันลม จะทำงานได้หรือไม่นั้นขึ้นอยู่กับตัวแปรทั้งสองนี้ คือระดับความสูงและสภาพภูมิประเทศที่ ความเร็วลมเท่าๆ กันแต่เมื่อทิศทางลมที่แตกต่างกัน เมื่อลมพุ่งเข้าหาแกนหมุนของกังหันลมแล้วจะ ตั้งผลต่อแรงบิดของกังหันลมเป็นอย่างมาก ผลคือแรงล้ำที่ได้ออกมาจากกังหันลมจะแตกต่างกัน (นิพนธ์ เกตุจ้อย และอธิพล ศศิชาโนวัฒน์, 2546: 65-66)



รูปที่ 2.1 ลักษณะของความเร็วลมภายในชั้นบรรยากาศ (atmosphere boundary layer) [6]

2.2 การใช้พลังงานลมในประเทศไทย

จากการศึกษาแผนที่ศักยภาพพลังงานลมของประเทศไทย[1] โดยกรมพัฒนาพลังงานทดแทนและอนุรักษ์พลังงานพบว่า ความเร็วลมเฉลี่ยของประเทศไทยอยู่ในระดับปานกลางถึงต่ำ มีความเร็วลมเฉลี่ยประมาณ 4 เมตร/วินาทีโดยแหล่งศักยภาพพลังงานลมที่ดีที่สุดของประเทศไทยมีความเร็วลมเฉลี่ยประมาณ 6.4 เมตร/วินาทีซึ่งไปที่ความสูง 50 เมตร โดยจะอยู่ในແตนเทือกเขาและบริเวณชายทะเล ซึ่งศักยภาพพลังงานลมตามข้อมูลเบ้าและชาบทะเลได้แสดงไว้ในตารางที่ 2.1

เนื่องจากประเทศไทยมีศักยภาพพลังงานลมที่ต่ำการติดตั้งกังหันลมขนาดใหญ่จึงมักเกิดปัญหาเพราะว่ากำลังลมไม่เพียงพอต่อการผลิตกระแสไฟฟ้าของกังหันลมขนาดใหญ่ซึ่งต้องการอุปทาน้ำ 12-15 เมตร/วินาที ทางเลือกที่เหมาะสมในการติดตั้งกังหันลมของประเทศไทยจึงควรเป็นกังหันแบบขนาดเล็กในช่วงกำลังลมที่เหมาะสม โดยในส่วนของกังหันลมผลิตกระแสไฟฟ้าความเร็วต่ำได้แก่การออกแบบให้สามารถทำงานได้ที่ความเร็วลมต่ำดังแสดงในรูปที่ 2.2



รูปที่ 2.2 กังหันลมความเร็วต่ำของบริษัท พระพาณ เทคโนโลยี[3]

ตาราง 2.1 ศักยภาพพลังงานลมตามยอคเข้าและชายฝั่งทะเลของประเทศไทยที่ระดับความสูง 50 เมตรจากพื้น [1]

| พื้นที่ | ความเร็วลมเฉลี่ย (m/s) | Power Class |
|---|---------------------------|----------------|
| พื้นที่บริเวณชายฝั่งภาคใต้ด้านอ่าวไทยตั้งแต่ จ.สงขลา นครศรีธรรมราช ปัตตานี | 6.4 | 3 |
| เทือกเขาในจังหวัดเพชรบุรี กาญจนบุรี และตาก ที่เป็นร่องค่อประเทศไทยมี | 5.6 | 2 |
| บริเวณที่เป็นที่สูงที่เป็นเทือกเขาในภาคใต้ | 5.6 | 2 |
| พื้นที่สูงในเขตอุทยานแห่งชาติค้ออยอินทนนท์ จ.เชียงใหม่ | 5.1 | 2 |
| พื้นที่ชายฝั่งทะเลอ่าวไทย จังหวัดฉะบุรี ระยอง เพชรบุรี ประจวบคีรีขันธ์ ชุมพร สุราษฎร์ธานี นครศรีธรรมราช | 4.4 | 1 |
| พื้นที่ชายฝั่งทะเลอ่อนค้าน จ.สตูล ตรัง กระเบี่ยง กะเก็ต พังงา | 4.4 | 1 |
| เทือกเขาและภูเขา ภาคเหนือ จังหวัดเชียงใหม่ | 4.4 | 1 |
| เทือกเขาภาคตะวันออกเฉียงเหนือ จ.เพชรบูรณ์ และ เลย | 4.4 | 1 |

2.3 ชนิดของกังหันลม

ปัจจุบันการพัฒนาเทคโนโลยีกังหันลมเพื่อใช้สำหรับผลิตไฟฟ้าได้รับการพัฒนาอย่างต่อเนื่อง หลายประเทศทั่วโลกได้ให้ความสนใจโดยเฉพาะในทวีปยุโรป เช่น ประเทศเดนมาร์ก กังหันลมที่ได้มีการพัฒนาภัยขึ้นมาจนจะมีลักษณะและรูปร่างแตกต่างกันออกไป แต่ถ้าจำแนกตามลักษณะแนวแกนหมุนของกังหันจะได้ 2 แบบ คือ

2.3.1 กังหันลมแนวแกนตั้ง (Vertical Axis Wind Turbine)

เป็นกังหันลมที่มีแกนหมุนและใบพัดตั้งฉากกับการเคลื่อนที่ของลมในแนวราบที่ทำให้สามารถรับลมในแนวราบได้ทุกทิศทาง กังหันลมแบบแนวแกนตั้ง ได้รับการพัฒนาทั้งนี้เนื่องจากมีข้อดีกว่าแบบแนวแกนนอนคือ แบบแนวแกนตั้งนั้นไม่ว่าลมจะเข้ามาทิศไหนก็ซึ่งหมุนได้โดยไม่

ต้องมีอุปกรณ์ควบคุมให้กังหันหมุนนำไปใช้ได้ นอกจากนี้แล้วแบบแนวแกนตั้งนั้น เครื่องกำเนิดไฟฟ้าและระบบการส่งกำลังจะไว้ใกล้พื้นดินมากกว่าแบบแกนนอนเวลาเกิดปัญหาแก้ไขยากกว่า แบบแกนนอนที่ติดอยู่บนหอคอยสูงซึ่งกังหันแบบแกนตั้งมีอยู่ด้วยกันหลายแบบแต่ที่นิยมใช้กันทั่วไปจะมี 2 แบบคือ 1. กังหันลมชาโวนีบส (Savonius) 2. กังหันลมแดร์เรียส (Darrieus) โดยได้แสดงรายละเอียดไว้ในตารางที่ 2.2

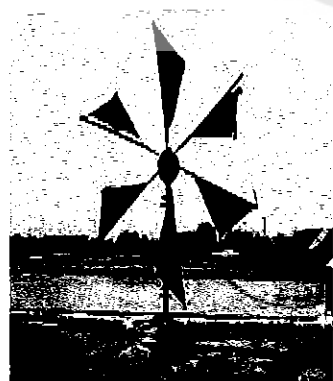
ตาราง 2.2 กังหันลมแนวแกนตั้ง (Vertical Axis Wind Turbine)

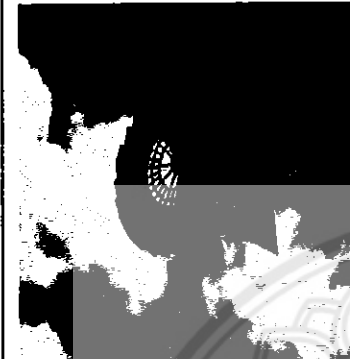
| ชื่อกังหัน | ลักษณะของกังหัน |
|----------------------|---|
| ชาโวนีบส (Savonius) | เป็นกังหันแบบใช้แรงดึงดูดออกแนวโดยการหันหน้าใบพัดเข้าสู่กระแสของไหล แบบของใบพัดเป็นแบบครึ่งวงกลม ทำให้เกิดแรงตามแนวการไหล กังหันลมประเภทนี้มีแรงบิดสูงแต่ความเร็วรอบต่ำ เริ่มต้นหมุนที่ลมขนาด 1.5 เมตร/วินาที |
| แดร์เรียส (Darrieus) | เป็นกังหันแบบใช้แรงยก ได้มีการออกแบบใบกังหันเป็นแบบหดตัว โดยหันข้างเข้าหากลไสการไหลทำให้เกิดแรงในแนวตั้งจาก ซึ่งกังหันลมแบบนี้จะให้ความเร็วรอบสูง เหนอะแน่นการผลิตกระแสไฟฟ้า |

2.3.2 กังหันลมแนวแกนนอน (Horizontal Axis Wind Turbine)

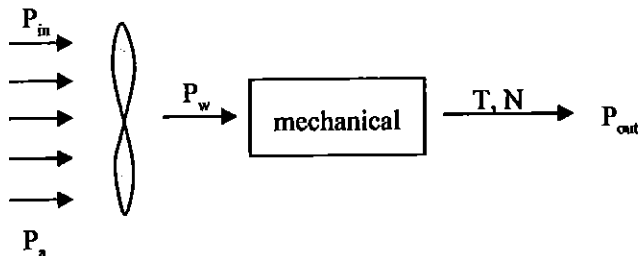
เป็นกังหันลมที่มีแกนหมุนขนานกับทิศทางของลม โดยมีใบพัดเป็นตัวตั้งๆ จารับแรงลม มีอุปกรณ์ควบคุมกังหันให้หันไปตามทิศทางของกระแสลม เรียกว่า หางเสือ และมีอุปกรณ์ป้องกัน กังหันชำรุดเสียหายขณะเกิดลมพัดแรง เช่น ลมพายุและตั้งอุปกรณ์สำหรับติดตั้ง หันลมแบบแกน นอน ได้แก่ กังหันลมวินด์มิลล์ (Windmills) กังหันลมใบสื่อสำเภา นิยมใช้กันเครื่องจุดน้ำ กังหันลมแบบหลายใบ (Multi blade) กังหันลมสำหรับผลิตไฟฟ้าแบบพร้อมเพลเดอร์ (Propeller) ได้แสดงรายละเอียดไว้ในตารางที่ 2.3

ตาราง 2.3 กังหันลมแบบแกนนอน (Horizontal Axis wind Turbine)

| ชื่อกังหันลม | ลักษณะของกังหัน |
|--|--|
| กังหันลมวินด์มิลล์ (Wind mills)  | เป็นกังหันลมประเภทหนึ่งที่เปลี่ยนพลังงานลม ไปหมุน เพื่อใช้ในการทำงานอื่นๆ นิยมใช้สำหรับโรงโน้ม ได้ใช้ พลังงานลมในการบดซักรังหรือเม็ดพืช และใช้ในระบบวิเคราะห์อุณหภูมิ ในของกังหันมีจำนวน 4 ถึง 6 ใบ |
| กังหันลมใบสื่อสำเภา หรือ แบบระหัดจุดน้ำ  | กังหันลมแบบระหัดจุดน้ำเป็นการประดิษฐ์คิดค้นขึ้น ด้วยภูมิปัญญาชาวบ้านในสมัยโบราณของไทย เพื่อใช้ในนา ข้าว นาเกลือและนาถุง ซึ่งจะคล้ายๆ กับกังหันลมวินด์มิลล์ วัสดุที่ใช้ประดิษฐ์กังหันลมแบบระหัดจุดน้ำเป็นวัสดุที่สามารถหาได้ง่ายในท้องถิ่นราคากูก วัสดุที่ใช้ทำในกังหัน ทำมาจากสีอ่อนๆ หรือผ้าใบซึ่งใบของกังหันมีจำนวน 6 ใบ ตัวโครงสร้าง ร่างน้ำ และใบระหัดทำมาจากไม้เนื้อแข็งซึ่ง ทนต่อการกัดกร่อนของน้ำได้ สามารถใช้งานได้ยาวนาน กังหันลมแบบระหัดจุดน้ำใช้ความเร็วลมตั้งแต่ 2.5 เมตร/ วินาที ขึ้นไปในการหมุนใบพัดกังหันลม หากมีลมแรงมาก ใบก็สามารถปรับม้วนใบเก็บให้เหลือสำหรับรับแรงลมเพียง 3 ใบ เพื่อให้มีความเหมาะสมสำหรับการใช้งาน เมื่อไม่ ต้องการใช้งานก็ม้วนใบเก็บทั้ง 6 ใบ |

| ชื่อกังหันลม | ลักษณะของกังหัน |
|--|--|
| กังหันลมหลายใบ (Multi blade)  | <p>เป็นกังหันลมแบบสูบซัก ส่วนใหญ่ใช้ในการสูบน้ำจาก บ่อ น้ำ สารน้ำ ที่มีความลึกไม่นานนัก เพื่อใช้ในการเกษตรและใช้ ในฟาร์มเดี่ยวสัตว์ มีความสามารถในการยกหรือถูคุณ้ำได้สูง กว่าแบบระหัสวิน้ำ วัสดุที่ใช้ทำใบและโครงสร้างมักทำมาจาก โลหะเหล็กเพื่อความมั่นคงแข็งแรง เส้นผ่าศูนย์กลางใบพัด ประมาณ 4 ถึง 6 เมตรจำนวนใบมีตั้งแต่ 18,24,30,45 ในการ ติดตั้งในสูงกว่าพื้นดินประมาณ 12 ถึง 15 เมตร ส่วนตัวห้อง เครื่องถ่ายแรงจะเป็นแบบข้อเหวี่งหรือเพ่องขับระบบอกรูบัน้ำ มีขนาดตั้งแต่ 3 ถึง 5 นิ้ว ปริมาณน้ำที่สูบได้ขึ้นอยู่กับความเร็ว ลมและระบบอกรูบัน โดยกังหันจะเริ่มหมุนที่ความเร็วลม 3.0 เมตร/วินาทีขึ้นไป และสามารถทำงานต่อเนื่องได้ด้วยแรงเฉือน ที่ความเร็วลม 2 เมตร/วินาที แกนใบพัดสามารถหมุนได้หมุน เพื่อรับแรงลม ได้รอบตัว โดยมีใบแพนทางเสื่อเป็นตัว กำหนดการหมุนของกังหัน</p> |
| กังหันลมแบบพร้อมเพลด เลอร์ (Propeller)  | <p>เป็นกังหันลมสำหรับผลิตกระแสไฟฟ้า ส่วนใหญ่มีขนาด ใบตั้งแต่ 1,2,3 ใบ ไปจนถึงหลายใบ แต่ใบพัดแบบ 3 ใบจะ ได้ ความนิยมมากกว่า เพราะรูปทรงสวยงามและการหมุนก็เกิด ความสมดุล โดยกังหันผลิตกระแสไฟฟ้าส่วนมากจะถูก ออกแบบให้มีแรงขับแบบแรงยก เพื่อให้ใบพัดหมุน ได้เร็วซึ่งจะ ได้ความเร็วอบสูงและแรงบิดต่ำ ซึ่งหมายถึงการผลิต กระแสไฟฟ้า คือเมื่อลมมากระแทบใบพัดใบพัดก็จะหมุนสร้าง ความเร็วแล้วเอากำลังความเร็วที่ได้จากการหมุนของใบพัด ไปต่อเข้า กับ Generator หรือ ตัวปั่นไฟ เกิดเป็นกระแสออกม้าแล้วก็นำไป ในแนวต่อรีหรือว่าต่อเข้ากับเครื่องใช้ไฟฟ้าต่อไป โดยกังหัน แบบพร้อมเพลดเลอร์ จะเริ่มหมุนที่ความเร็วลมเท่าไรนั้นขึ้นอยู่ กับการออกแบบ</p> |

2.4 ประยุกต์ภาพของกังหันลม



รูปที่ 2.3 กระบวนการทำงานของกังหันลม

ประยุกต์ภาพของกังหันลมวัดได้จากพลังงานกลที่ได้ออกมา (P_{out}) หารด้วยพลังงานลมที่ป้อนเข้า (P_a)

$$\eta_{total} = \frac{P_{out}}{P_a}$$

2.4.1 กำลังลม (Wind Power $P_a = P_{in}$)

ปริมาณของพลังงานลมในหนึ่งหน่วยเวลา (กำลังลม) คำนวณได้จากสมการพื้นฐานของพลังงาน蹲น์

$$P_a = \frac{1}{2} m^{\circ} V^2$$

$$m^{\circ} = \rho A V$$

$$P_a = \frac{1}{2} \rho A V^3$$

P_a = กำลังลม (วัตต์)

m° = มวลของอากาศที่ตกกระทบตั้งฉากกับพื้นที่ทางการไฟฟ้า (กิโลกรัมต่อวินาที)

v = ความเร็วลม (เมตร/วินาที)

ρ = ความหนาแน่นมวลอากาศ ≈ 1.23 (กิโลกรัมต่อสูตริกเมตร)

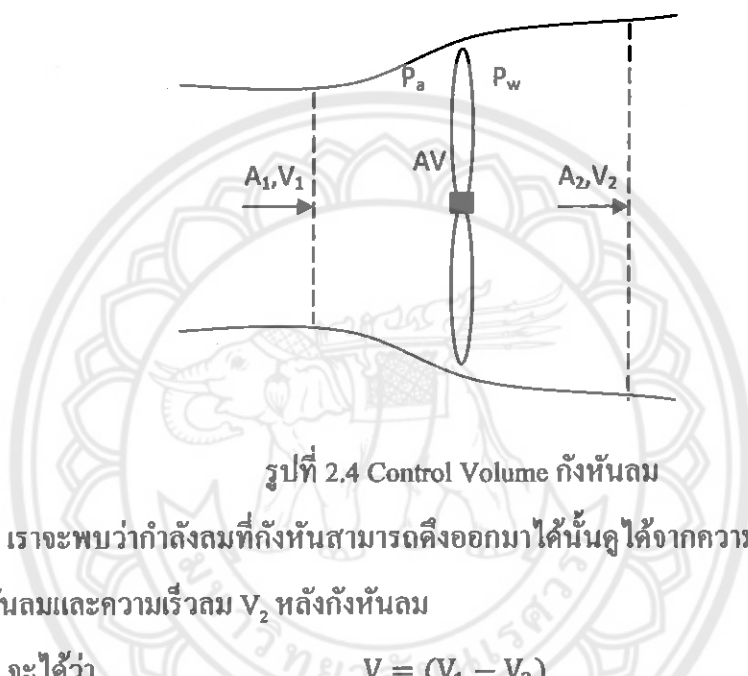
A = พื้นที่กังหันสำหรับเพียงในรูปปื้นที่วงกลม $A = \frac{\pi D^2}{4}$ (ตารางเมตร)

D = เส้นผ่านศูนย์กลาง (เมตร)

2.4.2 กำลังลมที่กั้งหันสามารถดึงออกมากได้ (P_w)

จากกฎการอนุรักษ์พลังงาน (Law of Conservation of Energy) พลังงานไม่มีการสูญเสีย หรือสร้างขึ้นมาใหม่ได้ แต่บันเพียงเปลี่ยนรูปจากพลังงานแบบหนึ่งไปเป็นอีกแบบหนึ่งเท่านั้น เมื่อเราพิจารณาที่ตัวกั้งหันลมตามรูปที่ 2.4 สามารถเขียนความสัมพันธ์ของการเคลื่อนที่ต่อเนื่อง (Continuity Equations) ได้ดังนี้

$$A_1 V_1 = A V = A_2 V_2$$



รูปที่ 2.4 Control Volume กั้งหันลม

เราจะพบว่ากำลังลมที่กั้งหันสามารถดึงออกมากได้นั้นคือจากความเร็วลม V_1 ที่มาประทับ กับกั้งหันลมและความเร็วลม V_2 หลังกั้งหันลม

$$\text{จะได้ว่า} \quad V = (V_1 - V_2)$$

ดังนั้นกำลังที่กั้งหันลมสามารถดึงพลังงานลมออกจากลมได้โดยไม่คำนึงถึงการสูญเสีย

$$P_w = \frac{1}{2} \rho A (V_1 - V_2)^2$$

2.4.3 ประสิทธิภาพของกั้งหันลม (Wind turbine Efficiency - η_T)

ประสิทธิภาพของกั้งหันลม (Wind turbine Efficiency - η_T) คือ อัตราส่วนระหว่างกำลังที่ได้รับจากกั้งหันกับกำลังลม

$$\eta_T = \frac{P_w}{\frac{1}{2} \rho A V_1^2}$$

η_T ที่ได้แสดงให้เห็นถึงประสิทธิภาพของกั้งหันลม ไม่ได้แสดงให้เห็นถึงความสูญเสียจาก พื้นเพียงและกลไกส่งกำลังเบร์จ

2.4.4 ความสันทัดระหว่างแรงบิดและกำลัง (P_{out})

$$P_{out} = T\omega = T \frac{2\pi N}{60}$$

เมื่อ P_{out} คือ กำลังงาน (W.) หรือ (kW.)

ω คือ ความเร็วเชิงมุมมีค่าเท่ากับ $\frac{2\pi N}{60}$ (rad/s)

N คือ ความเร็วรอบของเพลา (rpm.)

T คือ โมเมนต์บิดหรือแรงบิดที่เกิดขึ้น (N/m)

2.4.5 ประสิทธิภาพทางกลของกังหันลม (Mechanical Efficiency - η_M)

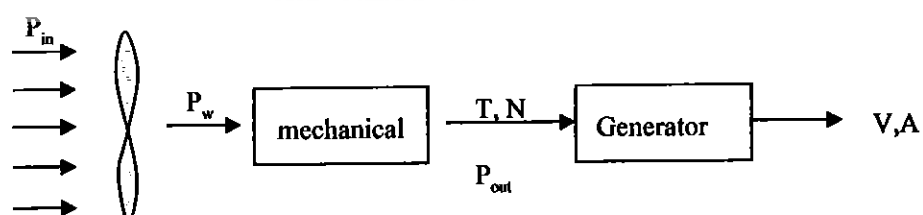
ประสิทธิภาพทางกลของกังหันลม (Mechanical Efficiency - η_M) คืออัตราส่วน

ระหว่างกำลังที่ได้จากกังหัน P_{out} กับกำลังลม P_a

$$\eta_M = \frac{P_{out}}{P_a}$$

$$\eta_M = \frac{T\omega}{\frac{1}{2} \rho A V_1^3}$$

2.4.6 การเปลี่ยนพลังงานลมเป็นพลังงานไฟฟ้า



รูปที่ 2.5 การเปลี่ยนรูปพลังงานลมเป็นพลังงานไฟฟ้า

จากรูปที่ 2.5 สามารถอธิบายการเปลี่ยนรูปพลังงานลมไปเป็นพลังงานไฟฟ้าได้ดังนี้คือ พลังงานลมซึ่งเกิดจากการเคลื่อนที่ของมวลอากาศที่ความเร็วค่าหนึ่ง (พลังงานจลน์) เปลี่ยนรูปไปเป็นพลังงานทางกลด้วยแรงบิดและความเร็วรอบของแกนหมุนกังหัน พลังงานกลจากแกนหมุนของกังหันจะถูกเปลี่ยนรูปไปเป็นพลังงานไฟฟ้าโดยเครื่องกำเนิดไฟฟ้าที่ถูกเชื่อมต่อกับแกนหมุน

ของกังหันลมในรูปของกระแสไฟฟ้าและความต่างศักย์

จากรูปที่ 2.5 นั้นจะเห็นได้ว่าพลังงานไฟฟ้าที่ได้จะขึ้นอยู่กับแรงบิดและความเร็วรอบของ กังหันลมที่ส่งกำลังมาให้กับเครื่องกำเนิดไฟฟ้า นอกจากนี้ยังขึ้นอยู่กับประสิทธิภาพของเครื่อง กำเนิดไฟฟ้าเองอีกด้วย

$$\text{กำลังไฟฟ้าหาได้จาก } P = I \times V$$

$$\text{เมื่อ } P \text{ คือกำลังไฟฟ้า (W)}$$

$$I \text{ คือกระแสไฟฟ้าที่วัดได้ (A)}$$

$$V \text{ คือความต่างศักย์ของกระแสไฟฟ้า (volt)}$$



บทที่ 3

การพัฒนา กังหันลมขนาดเล็ก

ในบทนี้ เป็นการกล่าวถึงการพัฒนา กังหันลมที่ทำจากห่อ PVC แบบ 3 ใน โดยพิจารณาในส่วนของการลดขนาดและลดน้ำหนักของกังหันลม เริ่มจากการผลิต กังหันลมต้นแบบจากห่อ PVC ขนาด 6 นิ้ว ยาว 24 นิ้ว แล้วทำการปรับแต่ง กังหันลม โดยการลดขนาดและลดน้ำหนักเพื่อให้ง่ายต่อ การพกพาและถอดประกอบ เพื่อคุณลักษณะของ กังหันลมที่เปลี่ยนไปหลังจากได้มีการปรับแต่งแล้ว

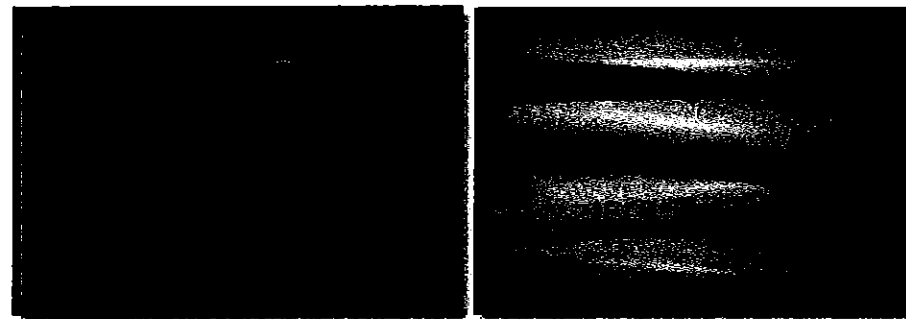
3.1 กังหันลมจากห่อ PVC

ปัจจุบันได้มีการประยุกต์เอารูปแบบต่างๆ มาทำเป็น กังหันลม กันอย่างแพร่หลาย เช่น ถังแก๊สอลูม 200 ลิตร ถังแก๊สอลูมพลาสติก สังกะสี แผ่นเรียบ แผ่นอะลูมิเนียม ไม้อัด และห่อ PVC ที่เป็นอีกทางเลือกหนึ่งในการใช้ทำ กังหันลม เช่นกัน จากข้อมูลของชุมชน กังหันลม[2] พบว่า กังหันลมที่ทำจากห่อ PVC มีอยู่ด้วยกัน 2 แบบตามรูปที่ 3.1 และ 3.3 ตามลำดับ

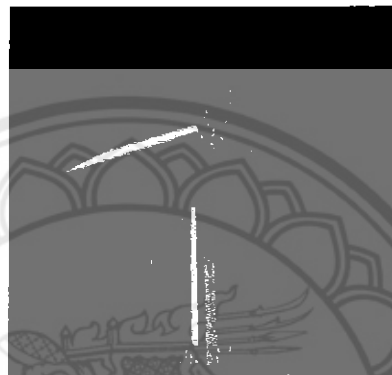


รูปที่ 3.1 กังหันลมห่อ PVC แบบทรง

ใบ กังหันลมห่อ PVC แบบทรงนี้ เป็นใบ กังหันแบบเก่า ทำมาจากห่อ PVC ขนาด 4 นิ้ว ยาว 50 cm โดยแบ่งเป็น 4 ส่วนแล้วตัดท้ายตามรูปที่ 3.2

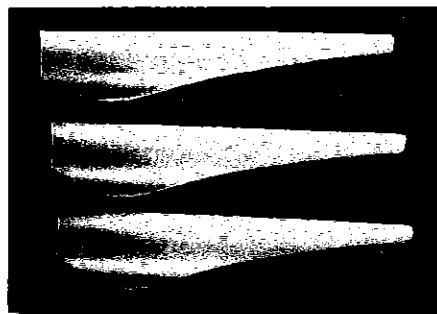
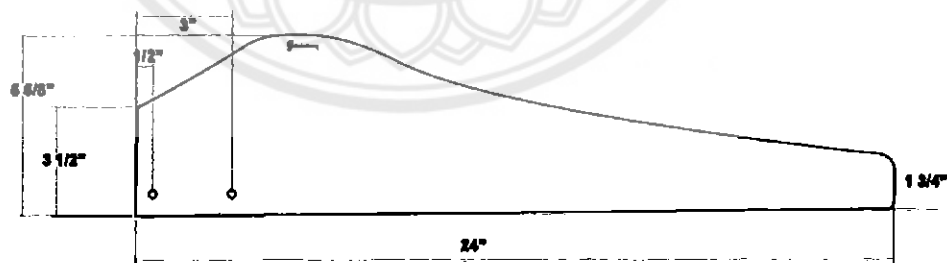


รูปที่ 3.2 แบบกั้งหันลมท่อ PVC แบบตรงขนาด 4 นิ้ว ยาว 50 cm



รูปที่ 3.3 กั้งหันลมท่อ PVC แบบโค้ง

ใบพัดกั้งหันลมท่อ PVC แบบโค้งทำมาจากท่อ PVC ขนาด 6 นิ้ว ยาว 24 นิ้ว นำมาตัดแบบตามรูปที่ 3.4 ใบแบบโค้งนี้จะให้กำลังแรงดูดมากกว่าแบบในที่ตัดตรงๆแบบเก่า ถ้าต้องการให้กั้งหันลมทุนที่รอบค่ำๆก็ควรจะใช้แบบ 4 ใบ หรือ 5 ใบ[2]



รูปที่ 3.4 แบบกั้งหันลมท่อ PVC ขนาด 6 นิ้ว ยาว 24 นิ้ว

กังหันลมแก่นอนเป็นกังหันลมที่นิยมสร้างและใช้กันอย่างแพร่หลายเนื่องจากให้ความเร็วตอบที่สูงเมื่อเปรียบเทียบกับกังหันลมแก่นดึงที่ขนาดเดียวกัน ในปัจจุบันได้มีการประยุกต์เอาระบบไกล์ตัวมาทำกังหันลมกันหลายชนิด เช่น ถังแก๊ลลอน 200 ลิตร ถังแก๊ลลอนพลาสติก แผ่นสังกะสี ไม้อัดเป็นตัน และอีกทางเลือกหนึ่งก็คือห่อ PVC

เนื่องจากกังหันลมที่ทำจากห่อ PVC มีขั้นตอนการสร้างที่ไม่ซับซ้อนมากนักและวัสดุที่ใช้ทำกังหันลมอย่างห่อ PVC นั้นบางหาศื้อได้เจาะตามท้องตลาดทั่วไปจึงทำให้เจ้าของต้องการสร้างกังหันลมขึ้นมา จากข้อมูลของชุมชนกังหันลม กังหันลมที่ทำจากห่อ PVC มีอยู่คู่ละกัน 2 แบบคือ แบบตรงทำจากห่อ PVC ขนาด 4 นิ้วและแบบโค้งทำจากห่อ PVC ขนาด 6 นิ้ว ซึ่งในแบบโค้งนี้จะให้กำลังแรงดูดที่มากกว่าแบบในที่ตัดตรงๆแบบเก่า[2] เนื่องจากใบของกังหันมีพื้นที่รับลมที่เพิ่มขึ้นจึงทำให้มีกำลังแรงดูดที่มากขึ้นตามไปด้วยและส่งผลให้ประสิทธิภาพของกังหันลมแบบในโค้งเพิ่มขึ้นตามด้วยเหตุนี้ผู้วิจัยจึงเลือกที่จะใช้กังหันลมจากห่อ PVC ขนาด 6 นิ้วในแบบโค้งเป็นต้นแบบในการสร้างและพัฒนา กังหันลมที่ทำจากห่อ PVC

3.2 การออกแบบกังหันลมขนาดเล็กจากห่อ PVC

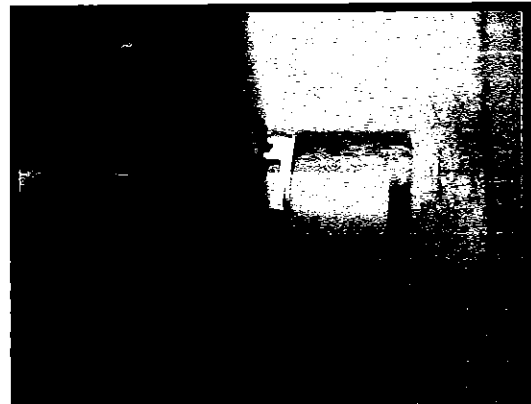
การสร้างใบกังหันลมจากห่อ PVC ขนาด 6 นิ้วโดยการลดขนาดกังหันลมจากขนาดใหญ่เป็นขนาดเล็ก ด้วยอัตราส่วน 1:2 ซึ่งจะตัดห่อ PVC ให้ได้กังหันลมขนาดใหญ่และกังหันลมขนาดเล็กอย่างละ 3 ชิ้น วิธีการตัดห่อ PVC มีดังนี้

3.2.1 ตัดกระดาษให้ได้ตามขนาดที่ออกแบบไว้ โดยตัดกระดาษให้มีขนาด 6 นิ้ว ยาว 24 นิ้วและลดขนาดในอัตราส่วน 2:1



รูปที่ 3.5 แสดงรูปแบบที่จะตัด

3.2.2 นำกระดาษที่ตัดได้ไปติดกับห่อพีวีซีแล้วตัดห่อพีวีซีตามขอบกระดาษที่ติดไว้ โดยตัดในพัดขนาด 6 นิ้ว ยาว 24 นิ้วจำนวน 3 ใบและตัดใบพัดลดขนาดในอัตราส่วน 2:1 จำนวน 5 ใบ



รูปที่ 3.6 แสดงการตัดห่อพีวีซีตามแบบ

3.2.3 นำห่อพีวีซีลดขนาดในอัตราส่วน 2:1 ที่ตัดໄด ไปทำเป็นแม่แบบหล่อเรซิ่นเสริมไข้แก้ว



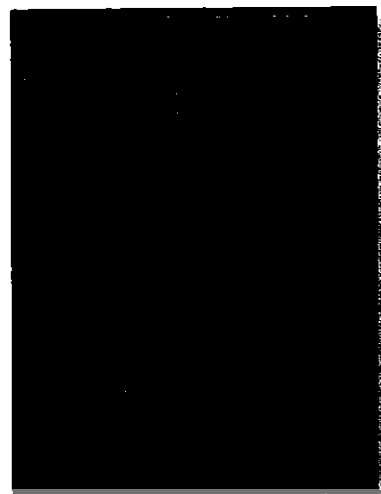
รูปที่ 3.7 แบบแม่แบบกังหันจากห่อพีวีซี

3.3 การฉุดน้ำหนักกังหันลงบนดีล็กจากวัสดุเด่นใน

การลดน้ำหนักกังหันลงโดยการขึ้นรูปกังหันลงด้วยการหล่อเรซิ่นเสริมไข้แก้ว มีวัสดุอุปกรณ์ที่ใช้ในการหล่อแบบและวิธีการขึ้นรูปดังต่อไปนี้

3.3.1 วัสดุอุปกรณ์ที่ใช้ในการหล่อเรซิ่นเสริมไข้แก้ว

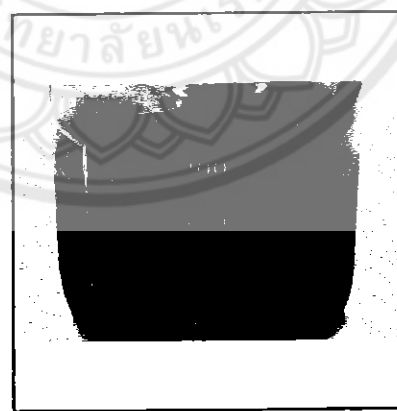
3.3.1.1 ห่อพีวีซีขนาด 6 นิ้ว ที่ใช้เป็นแม่แบบหล่อเรซิ่นเสริมไข้แก้ว ห่อพีวีซี (PVC) เป็นพลาสติกชนิดหนึ่งที่มีคุณสมบัติที่ดีหลายอย่าง เช่น มีความเหนียว弾ยืดหยุ่นตัวได้ทนต่อแรงดันน้ำได้ดี ทนต่อการกัดกร่อนของกรดหรือด่างได้ดี ใช้เป็นจานวนไฟฟ้าได้ดี เพราะไม่เป็นตัวนำไฟฟ้า เป็นวัสดุไม่ติดไฟ มีความนิ่นเรียบช่วยให้การไหลลงน้ำได้ดี มีน้ำหนักเบาแต่ราคาถูก แต่มีข้อเสียคือ怕กระแทกหักง่ายไม่ทนทานต่อแรงกระแทกและแสงแดดหรือแสงญี่วิ



รูปที่ 3.8 แม่แบบหล่อหอพีวีซี (PVC)

3.3.1.2 เรชินหรือโพลีเอสเตอร์ เป็นพลาสติกชนิดหนึ่ง ปกติจะอยู่ในรูปของเหลว ขึ้นเหนียวเหมือนน้ำมันเครื่อง มีกลิ่นฉุน สามารถหล่อเป็นรูปต่างๆ ได้ตามแบบพิมพ์ โดยจะผสมกับเคมีบางอย่างเพื่อทำให้เกิดปฏิกิริยาแข็งตัวและเมื่อแข็งตัวแล้วจะไม่สามารถกลับคืนให้เหลวได้อีก บังกะเบียนใช้กันแพร่หลายมากทั้งในงานไฟเบอร์กลาส

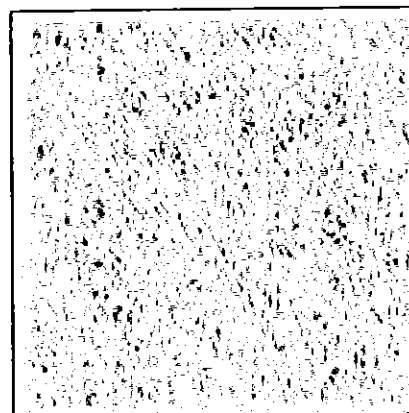
3.3.1.3. ตัวเร่งปฏิกิริยา (โคงอลท์) ใช้ผสมกับเรชินเพื่อเร่งให้เกิดปฏิกิริยาแข็งตัว มีลักษณะเป็นของเหลวสีน้ำเงิน บางทีเรียกว่า ตัวน้ำเงิน เมื่อผสมลงในเรชินทำให้เรชินมีศีออกซิเจนซึ่ง อาจทำการผสมไว้ก่อนเมื่อจะใช้งานก็เพียงนำมาผสมตัวทำให้แข็งได้เลย อ่อนๆ



รูปที่ 3.9 แสดงน้ำยาโคงอลค์

3.3.1.4 ตัวทำปฏิกิริยาหรือตัวทำให้แข็ง (Hardener) ใช้ผสมเรชิน เพื่อให้เรชินแข็งตัว มีลักษณะเหลว似เมกเล่นฉุน ใช้ในปริมาณ 1-2 % ของเรชิน

3.3.1.5 เส้นใยแก้วเบอร์ 600 เป็นวัสดุเสริมความแข็งแรงในเนื้อเรชินเพื่อทำ พลิกภัยไฟเบอร์กลาส



รูปที่ 3.10 แสดงเส้นไข้แก้วเบอร์ 600

3.3.2 วิธีการขึ้นรูปกังหันลมด้วยการหล่อเรซิ่นไสรินไยแก้ว

- 3.3.2.1 ตัดเส้นไข้แก้วให้ได้ขนาดเท่ากับท่อพีวีซีขนาด 6 นิ้ว ยาว 12 นิ้ว
- 3.3.2.2 นำเส้นไข้ที่ตัดได้ไปชั่งแล้วตรวจสอบเรซิ่นให้มีน้ำหนัก 3 เท่าของน้ำหนักเส้นไข้
- 3.3.2.3 ชั่งตัวเร่งปฏิกิริยา(โคงอลท์) และตัวทำให้แข็งขนาด 2% ต่อน้ำหนักเรซิ่น
- 3.3.2.4 ผสมเรซิ่นกับตัวเร่งปฏิกิริยา(โคงอลท์) และตัวทำให้แข็ง
- 3.3.2.5 นำเรซิ่นที่ผสมไปทาบริเวณผิวด้านในของท่อพีวีซีจากนั้นนำเส้นไข้แก้วที่ตัดไว้วางทับแล้วทารีบเรซิ่นทับแล้วนำท่อพีวีซีอีกชิ้นวางประกน



รูปที่ 3.11 แสดงการหล่อเรซิ่นงานด้วยเรซิ่นไสรินไยแก้ว

- 3.3.2.6 รอให้เรซิ่นแห้งโดยทิ้งไว้ประมาณ 10 – 15 นาที แล้วแกะแบบออก
- 3.3.2.7 ตัดแต่งแบบที่หล่อได้และทำการหล่อแบบชิ้นอื่นอีกโดยทำขั้นตอนเดียวกัน
- 3.3.2.8 ถึงข้อ 3.3.2.7 จนครบ 3 ใบ



รูปที่ 3.12 แสดงแบบกึ่งหันจากเรซิ่นเสริมไยแก้ว

ตาราง 3.1 แสดงน้ำหนักส่วนผสมการหล่อเรซิ่นเสริมไยแก้ว

| ส่วนประกอบ | เส้นไยแก้ว เบอร์ 600 | เรซิ่น | ตัวเร่งปฏิกิริยา (โคงออดท์) | ตัวทำให้แข็ง (Hardener) |
|-------------|-------------------------|--------|--------------------------------|----------------------------|
| น้ำหนัก (g) | 12.67 | 38 | 0.76 | 0.76 |

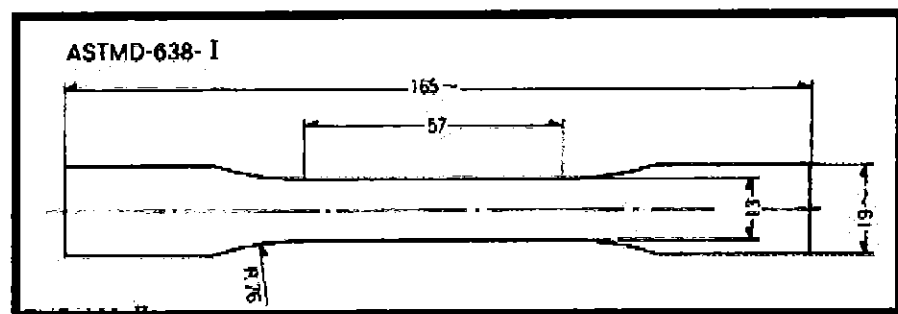
$$\text{สรุปน้ำหนักเฉลี่ยของใบกึ่งหัน (g) = } \frac{128}{3} = 42.67 \text{ g}$$

3.4 การทดสอบคุณสมบัติของวัสดุ PVC และวัสดุเรซิ่นเสริมไยแก้ว

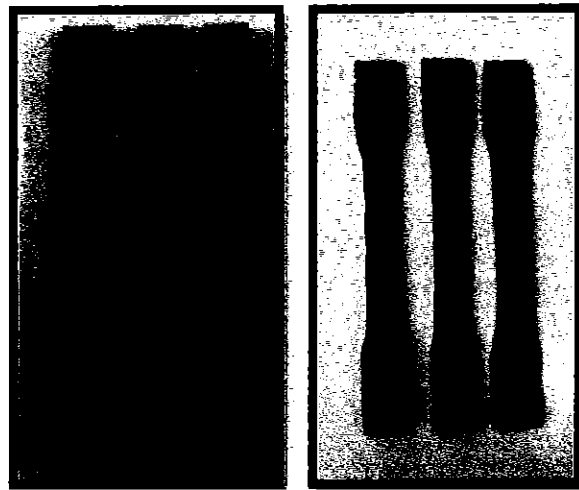
การทดสอบแรงดึงของวัสดุ โดยการทดสอบใช้พีวีซีและวัสดุเรซิ่นเสริมไยแก้วเป็นวัสดุในการทดสอบซึ่งได้ทดสอบด้วยเครื่องทดสอบแรงดึงทดสอบแรงดึง (UTM) เพื่อนำไปหาค่า Modulus of elasticity (E) ของวัสดุ

3.4.1 ลักษณะขั้นทดสอบ

ขั้นทดสอบที่ใช้ในการทดสอบแรงดึงได้ตัดชิ้นงานตาม มาตรฐาน ASTM D638 TYPE I ซึ่งเป็นมาตรฐานสำหรับพลาสติกดังแสดงในรูปที่ 3.13 และรูปที่ 3.14



รูปที่ 3.13 ชิ้นงานตามมาตรฐาน ASTM D638 TYPE II [5]



รูปที่ 3.14 ตัวอย่างชิ้นที่ตัดตามมาตรฐาน ASTM D638 TYPE I

3.4.2 สมการการคำนวณหาความเคน (Stress) และความเครียด (Strain)

$$\text{สมการความเ肯 (Stress)} = \frac{\text{แรงที่กระทำ (F)}}{\text{พื้นที่หน้าตัดที่รับแรงนั้น (A_0)}}$$

หน่วยความเคนอาจเป็น N/mm² หรือ MPa

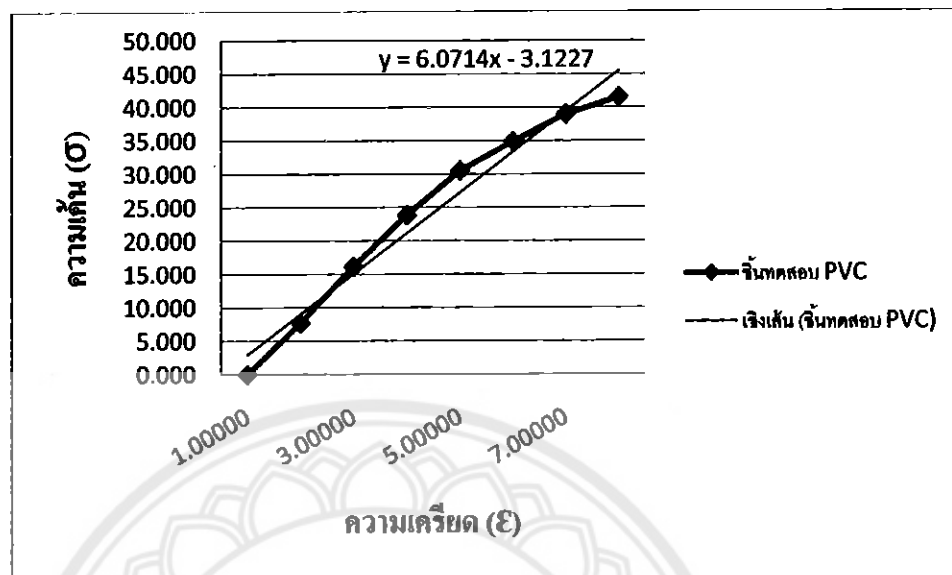
$$\text{สมการความเครียด (Strain)} = \frac{\text{ความยาวที่ยืดออก (\Delta l)}}{\text{ความยาวเริ่มต้น (l_0)}}$$

ตารางที่ 3.2 ค่าคงที่ที่ใช้ในการคำนวณ

| | |
|--|--------------------------|
| ความเร็วที่ใช้ทดสอบ (V) | 50 mm/min |
| พื้นที่หน้าตัดที่รับแรงของพีวีซี (A ₀) | 0.000065 m ² |
| พื้นที่หน้าตัดที่รับแรงของเรซิ่น (A ₀) | 0.0000208 m ² |
| ความยาวเริ่มต้น (l ₀) | 57 mm |

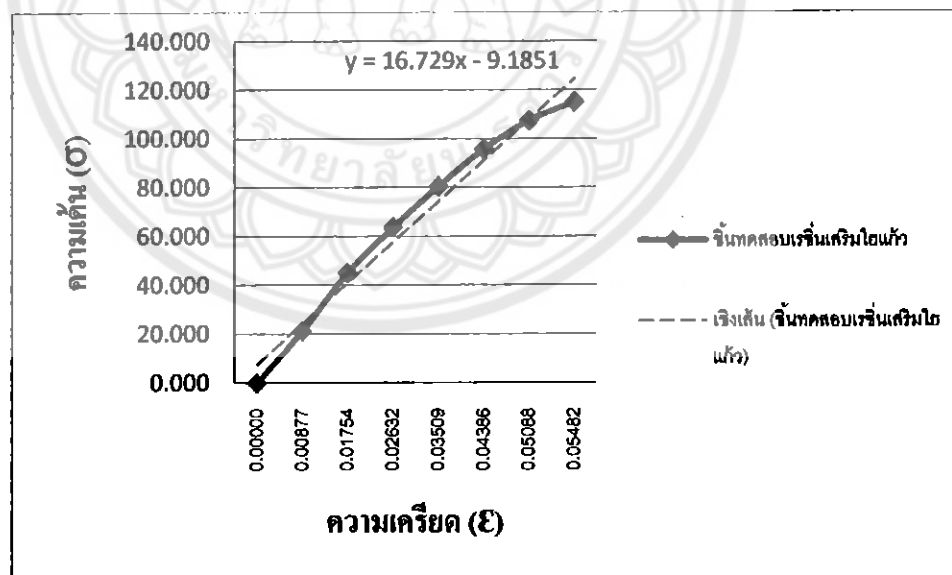
3.4.3 ผลการทดสอบแรงดึงวัสดุ

ผลการทดสอบพีวีซี

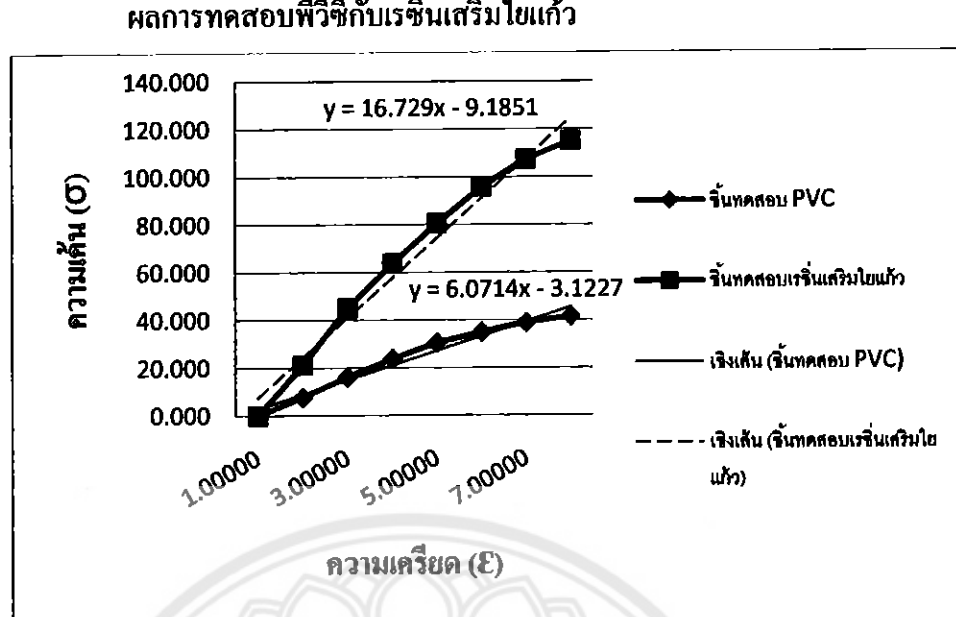


รูปที่ 3.15 กราฟแสดงค่า Modulus of elasticity (E) ของพีวีซี

ผลการทดสอบเรซิ่นเสริมไยแก้ว



รูปที่ 3.16 กราฟแสดงค่า Modulus of elasticity (E) ของเรซิ่นเสริมไยแก้ว



รูปที่ 3.17 กราฟแสดงค่าเปรียบเทียบ Modulus of elasticity (E) ของพีวีซีกับเรชั่นเสริมไยแก้ว

จากผลการทดสอบแรงดึงของชิ้นทดสอบพีวีซีและเรชั่นเสริมไยแก้ว อย่างละ 3 ชิ้นคัวข
เกรื่องทดสอบแรงกดและแรงดึง (UTM) เพื่อหาค่า Modulus of elasticity (E) หรือค่า Young's Modulus ของแต่ละชิ้น จากรูปที่ 3.15 และรูปที่ 3.16 พบว่าค่าเฉลี่ย Modulus of elasticity ของพีวีซี และเรชั่นเสริมไยแก้วมีค่าเท่ากับ 6.07 MPa และ 16.72 MPa ตามลำดับ จะเห็นว่าค่า Modulus of elasticity (E) ของเรชั่นเสริมไยแก้วมีค่าสูงกว่าของพีวีซี ได้จากรูปที่ 3.17 ซึ่งค่า Modulus of elasticity (E) ของวัสดุแต่ละชนิดจะมีค่าเฉลี่ยคงที่ และเป็นตัวบ่งบอกความสามารถดคงรูปของวัสดุนั้น คือ ถ้า Modulus of elasticity (E) มีค่าสูง วัสดุจะเปลี่ยนรูปอย่างอิเล็กทริกได้น้อยซึ่งหมายถึงวัสดุ เปราะ แต่ถ้า Modulus of elasticity (E) มีค่าต่ำวัสดุก็จะเปลี่ยนรูปอย่างอิเล็กทริกได้มากซึ่งแสดงให้เห็นถึงความเป็นวัสดุเหนียว และจากการทดสอบแรงดึงยังพบว่าค่าเฉลี่ยความต้านทาน(Yield Strength)ของพีวีซีและเรชั่นเสริมไยแก้วมีค่าเท่ากับ 43.64 MPa และ 108.52 MPa ตามลำดับ ซึ่งค่าความต้านทานจะบ่งบอกถึงความแข็งแรงสูงสุดที่ใช้ประโยชน์ได้โดยไม่เกิดการเสียหายของวัสดุ เพราะเป็นจุดแบ่งระหว่างพฤติกรรมการคืนรูปกับพฤติกรรมการคงรูป หากการทดสอบจะเห็นได้ว่าเรชั่นเสริมไยแก้วมีค่าความแข็งแรงมากกว่าพีวีซี

3.5 ลักษณะทางกายภาพของกั้งหันลม

การพัฒนา กั้งหันลม ให้มีขนาดเด็ก ได้มีการเปลี่ยนแปลงลักษณะทางกายภาพในด้านต่างๆ ดังนี้ 1. ขนาด 2. น้ำหนัก 3. ราคา 4. Modulus of elasticity 5. ความคื้นจุดคราก(Yield Strength) ดังแสดงในตารางที่ 3.3

ตาราง 3.3 ลักษณะทางกายภาพของกั้งหันลม

| รูป | เส้นผ่าศูนย์กลาง (m) | น้ำหนัก (kg) | ราคา (บาท) | Modulus of elasticity (MPa) | Yield Strength (MPa) |
|-------------------------|----------------------|--------------|------------|-----------------------------|----------------------|
| กั้งหันลมขนาดใหญ่ | 122 | 1.4 | 400 | 6.07 | 43.64 |
| กั้งหันลมขนาดเล็ก | 61 | 0.4 | 160 | 6.07 | 43.64 |
| กั้งหันลมขนาดเล็กเรซิ่น | 61 | 0.128 | 85 | 16.72 | 108.52 |

ห้องสมุดคณะวิศวกรรมศาสตร์ มหาวิทยาลัยนเรศวร

บทที่ 4

การทดสอบหาประสิทธิภาพของกั้งหันลม

การออกแบบชุดทดสอบกั้งหันลมมีการทดสอบอยู่ 2 การทดสอบด้วยกันคือ 1. การทดสอบเพื่อหาระยะความเร็วลมเฉลี่ยในช่วง $2.5 - 3.5 \text{ m/s}$ 2. การทดสอบกั้งหันลมเพื่อวัดค่าความเร็วลมหน้าและหลังกั้งหันลม ความเร็วรอบและแรงบิดในช่วงความเร็วลมเฉลี่ย $2.5 - 3.5 \text{ m/s}$ ในการทดสอบต้องคำนึงถึงตัวแปรต่างๆ หลักๆ ดังนี้

1. ด้านอุปกรณ์ การจัดหาอุปกรณ์เพื่อนำมาใช้ในการทดสอบต้องคำนึงถึงความสมบูรณ์ของอุปกรณ์และการออกแบบชุดของการติดตั้งกั้งหันลมเพื่อให้ผลการทดสอบมีค่าแม่นยำที่สุด

2. ข้อจำกัดในการทดสอบ เนื่องจาก การทดสอบทางค้านอุณหพลศาสตร์ต้องใช้ อุโมงค์ลมในการทดสอบด้วยสาเหตุหลักค้านไม่ว่าจะเป็นในเรื่องของ ราคา ระยะเวลาที่มีอย่างจำกัดในการทดสอบกั้งหันลมในครั้งนี้ จึงสมมุติใช้ห้องปิดเป็นที่ทำการทดสอบกั้งหันลมแทน

3. ตัวแปรควบคุม การกำหนดตัวแปรควบคุมเพื่อให้ผลการทดสอบแม่นยำมากขึ้น ซึ่งจะควบคุมตัวแปรต่างๆ ดังต่อไปนี้ 1. ระยะในการทดสอบกั้งหันลม 2. ความเร็วของพัดลม 3. ตำแหน่งในการวัดค่าความเร็วลมเพื่อควบคุมการวัดให้แม่นยำมากขึ้น 4. สถานที่ในการทดสอบ

4. ตัวแปรตามค่าที่ได้มาจากการทดสอบ คือ ความเร็วลมหน้ากั้งหัน ความเร็วลมหลังกั้งหัน ความเร็วรอบ แรงบิด

15547921

4.1 การทดสอบเพื่อหาระยะความเร็วลมเฉลี่ยที่ $2.5 - 3.5 \text{ m/s}$

ผ/r.

วัตถุประสงค์การทดสอบ

ป 4990

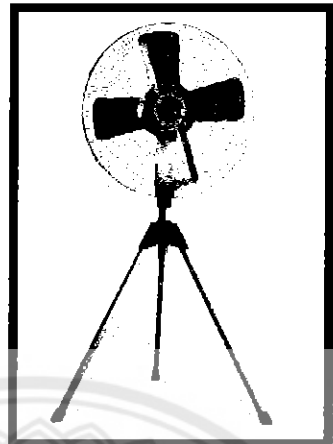
1. เพื่อหาระยะความเร็วลมในช่วง $2.5 - 3.5 \text{ m/s}$

2553

2. ทดสอบกั้งหันลมที่ระบบและความเร็วลมที่อยู่ในช่วง $2.5 - 3.5 \text{ m/s}$

วัสดุอุปกรณ์ที่ใช้ในการทดลอง

1. พัดลมอุตสาหกรรมขนาด 22 นิ้ว



รูปที่ 4.1 พัดลมอุตสาหกรรม

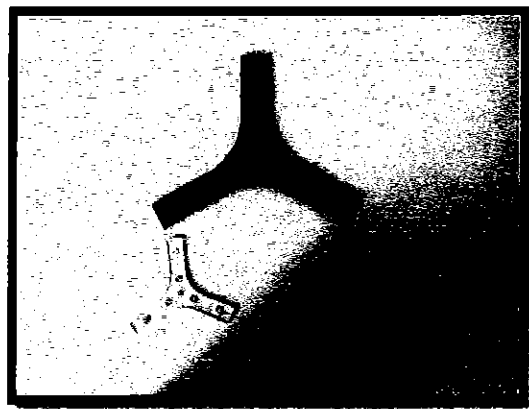
2. เครื่องวัดความเร็วลม 1 เครื่อง



รูปที่ 4.2 เครื่องวัดความเร็วลม

3. ชุดคิดตั้งใบพัด

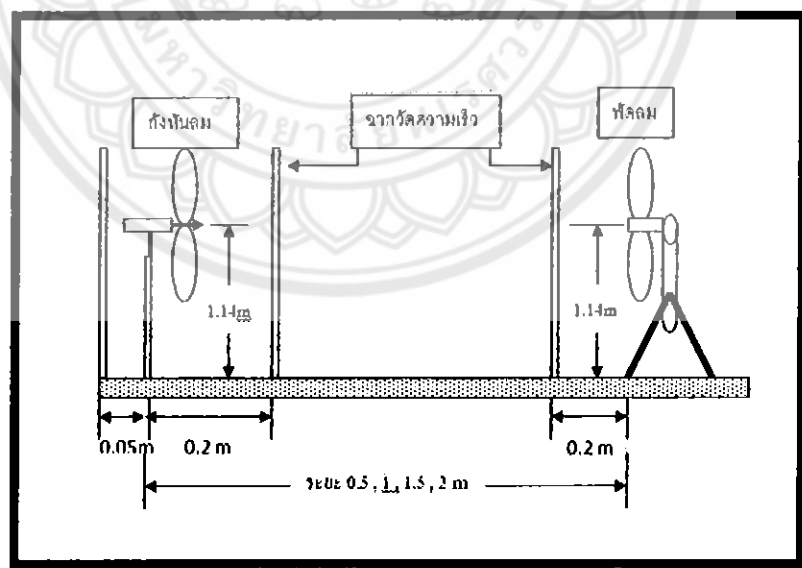
ชุดคิดตั้งใบพัดจะมีอยู่ด้วยกันอยู่ 3 ชิ้นเพื่อไว้ใช้จับกังหันลมแต่ละแบบ โดยชุดคิดตั้งใบพัดสำหรับกังหันจากห่อพีวีซีจะทำมาจากแผ่นเหล็กถ้าความหนาประมาณ 3 mm ส่วนชุดคิดตั้งใบพัดของกังหันเรซินจะแก้วจะทำมาจากแผ่นอคิลิกหนาประมาณ 3 mm ดังแสดงในรูปที่ 4.3



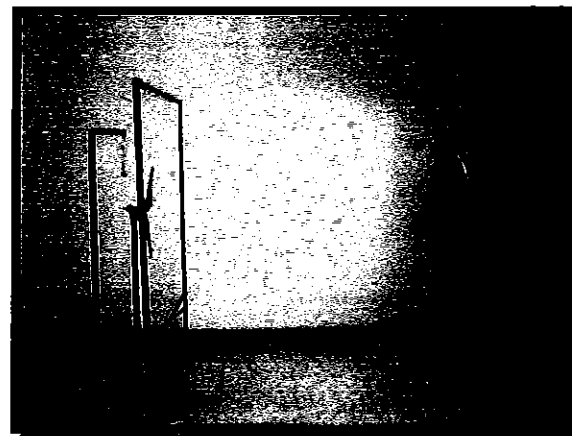
รูปที่ 4.3 แสดงชุดติดตั้งกังหันลมแต่ละแบบ

ขั้นตอนการทดลอง

1. การหาระยะความเร็วลมในช่วง $2.5 - 3.5 \text{ m/s}$ ได้กำหนดระยะการตั้งกังหันลม
และพืด ลุ่มที่ระยะ 0.5 m , 1 m , 1.5 m , 2 m โดยปรับความแรงของพัดลมที่เบอร์ 1,2,3
ตามลำดับดังแสดงในรูปที่ 4.4 และรูปที่ 4.5

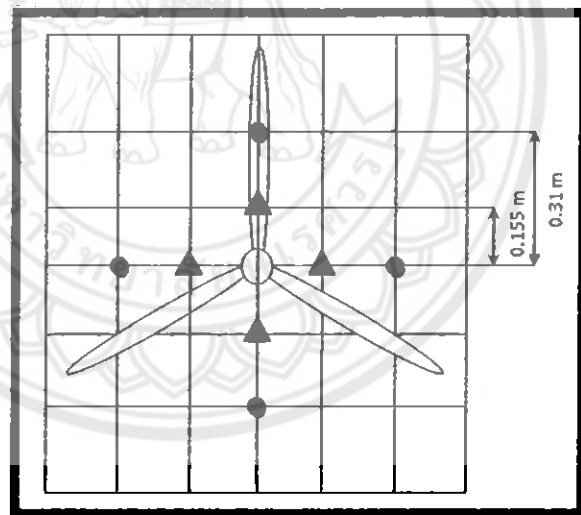


รูปที่ 4.4 การตั้งระยะการทดลองหาความเร็วลม



รูปที่ 4.5 การตั้งกังหันลมและพัดลม

2. วัดความเร็วลมบริเวณหน้าพัดลมและหน้ากังหันลม ซึ่งได้มีการกำหนดตำแหน่งที่ใช้ในการวัดอยู่ 4 จุดเพื่อควบคุมแนวการวัดให้แต่ละครั้งได้คงที่ ซึ่งสัญลักษณ์รูปวงกลมจะแสดงการวัดของกังหันลมขนาดใหญ่ ส่วนสัญลักษณ์รูปสามเหลี่ยมแสดงการวัดของกังหันลมขนาดเล็กดังแสดงในรูปที่ 4.6



รูปที่ 4.6 แสดงตำแหน่งที่ใช้ในการวัด

4.2 ผลการทดสอบเพื่อหาระยะห่างระหว่างกังหันลมกับพัดลมในช่วงความเร็วลมเฉลี่ย 2.5 – 3.5

m/s

ตาราง 4.1 สรุปผลความเร็วลมที่ได้จากการทดสอบของกังหันลม

ที่ระยะ 0.5 m

| พัดลมเบอร์ | ความเร็วลม (m/s) | | | | | | | |
|------------|----------------------------|---------|------------|-------|--------------------|---------|------------|-------|
| | หน้าพัดลมของกังหันแต่ละแบบ | | | | หน้ากังหันแต่ละแบบ | | | |
| | B (PVC) | S (PVC) | S (เรซิ่น) | เหล็ก | B (PVC) | S (PVC) | S (เรซิ่น) | เหล็ก |
| 1 | 5.95 | 5.63 | 5.48 | 5.69 | 2.65 | 4.78 | 4.55 | 3.99 |
| 2 | 6.98 | 6.75 | 6.58 | 6.77 | 2.88 | 5.18 | 5.08 | 4.38 |
| 3 | 7.78 | 7.43 | 7.28 | 7.50 | 3.00 | 6.30 | 5.48 | 4.93 |

ที่ระยะ 1 m

| พัดลมเบอร์ | ความเร็วลม (m/s) | | | | | | | |
|------------|----------------------------|---------|------------|-------|--------------------|---------|------------|-------|
| | หน้าพัดลมของกังหันแต่ละแบบ | | | | หน้ากังหันแต่ละแบบ | | | |
| | B (PVC) | S (PVC) | S (เรซิ่น) | เหล็ก | B (PVC) | S (PVC) | S (เรซิ่น) | เหล็ก |
| 1 | 5.63 | 6.28 | 5.40 | 5.77 | 2.43 | 3.45 | 3.48 | 3.12 |
| 2 | 6.68 | 7.03 | 6.58 | 6.76 | 2.95 | 4.13 | 4.05 | 3.71 |
| 3 | 7.25 | 7.73 | 7.48 | 7.49 | 2.75 | 4.38 | 4.50 | 3.88 |

ที่ระยะ 1.5 m

| พัดลมเบอร์ | ความเร็วลม (m/s) | | | | | | | |
|------------|----------------------------|---------|------------|-------|--------------------|---------|------------|-------|
| | หน้าพัดลมของกังหันแต่ละแบบ | | | | หน้ากังหันแต่ละแบบ | | | |
| | B (PVC) | S (PVC) | S (เรซิ่น) | เหล็ก | B (PVC) | S (PVC) | S (เรซิ่น) | เหล็ก |
| 1 | 5.95 | 5.93 | 5.53 | 5.80 | 1.83 | 2.58 | 2.53 | 2.31 |
| 2 | 6.83 | 6.70 | 6.80 | 6.78 | 2.48 | 3.20 | 3.28 | 2.99 |
| 3 | 7.50 | 7.73 | 7.20 | 7.48 | 2.60 | 3.63 | 3.53 | 3.25 |

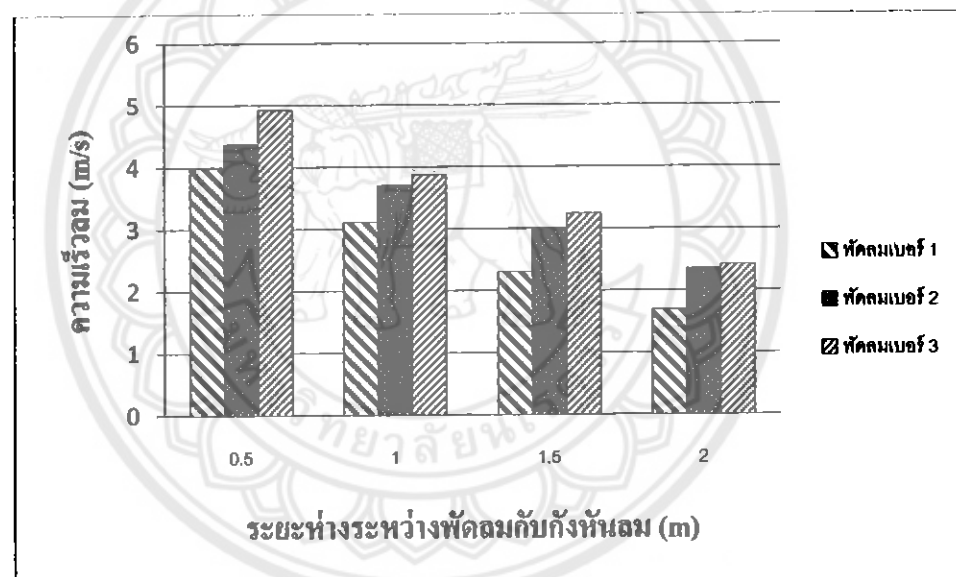
ที่ระยะ 2 m

| พัคลมเบอร์ | ความเร็วลม (m/s) | | | | | | | |
|------------|-----------------------------|---------|------------|--------|---------------------|---------|------------|--------|
| | หน้าพัคลมของกั้งหันแต่ละแบบ | | | | หน้ากั้งหันแต่ละแบบ | | | |
| | B (PVC) | S (PVC) | S (เรซิ่น) | เฉลี่ย | B (PVC) | S (PVC) | S (เรซิ่น) | เฉลี่ย |
| 1 | 5.55 | 5.78 | 5.50 | 5.61 | 1.40 | 1.85 | 1.83 | 1.69 |
| 2 | 6.95 | 6.95 | 6.40 | 6.77 | 1.95 | 2.43 | 2.68 | 2.35 |
| 3 | 7.43 | 7.43 | 7.23 | 7.36 | 2.13 | 2.48 | 2.65 | 2.42 |

หมายเหตุ

B=กั้งหันลมขนาดใหญ่

S=กั้งหันลมขนาดเล็ก



รูปที่ 4.7 กราฟแสดงความสัมพันธ์ระหว่างความเร็วลมและระยะห่างระหว่างพัคลมกับกั้งหันลม

จากรูปที่ 4.7 สรุปผลความเร็วลมที่ได้จากการทดสอบกั้งหันลมขนาดใหญ่ PVC กั้งหันลมขนาดเล็ก PVC และกั้งหันลมขนาดเล็กเรซิ่นเสริมไข้แก้ว โดยทำการทดสอบที่ระยะ 0.5 , 1 , 1.5 และ 2 m ตามลำดับ พบว่าความเร็วลมที่ต้องการในช่วง 2.5 – 3.5 (m/s) จะอยู่ที่ระยะ 1 m พัคลมเบอร์ 1 และที่ระยะ 1.5 m พัคลมเบอร์ 2 และเบอร์ 3 ตามลำดับ จากผลการทดสอบดังกล่าวผู้วิจัยได้เลือกระยะที่จะใช้ทดสอบกั้งหันลมทั้ง 3 แบบคือ ระยะที่กั้งหันลมห่างจากพัคลม 1.5 m ใช้พัคลมเบอร์ 2 เพราะเป็นช่วงที่ให้ความเร็วเฉลี่ยสม่ำเสมอและความเร็วลมเฉลี่ยขึ้นอยู่ในช่วง 2.5-3.5 m/s ซึ่งเป็นช่วงที่ต้องการอีกด้วย

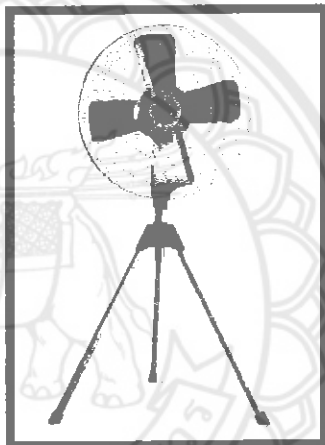
4.3 การทดสอบกังหันลมที่ระยะ 1.5 m พัดลมเบอร์ 2

วัตถุประสงค์การทดสอบ

1. เพื่อทดสอบกังหันลมที่ระยะความเร็วลมเฉลี่ย $2.5 - 3.5 \text{ m/s}$
2. เปรียบเทียบประสิทธิภาพและประสิทธิภาพเชิงกลของกังหันลมแต่ละแบบ
ในช่วงความเร็วลมเฉลี่ย $2.5 - 3.5 \text{ m/s}$

วัสดุอุปกรณ์ที่ใช้ทดสอบ

1. พัดลมอุตสาหกรรมขนาด 22 นิ้ว



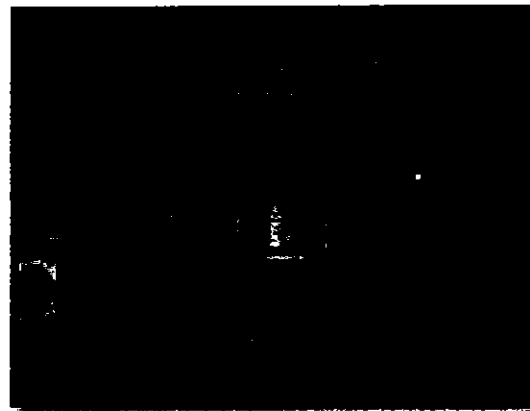
รูปที่ 4.8 พัดลมอุตสาหกรรม

2. เครื่องวัดความเร็วลม 1 เครื่อง



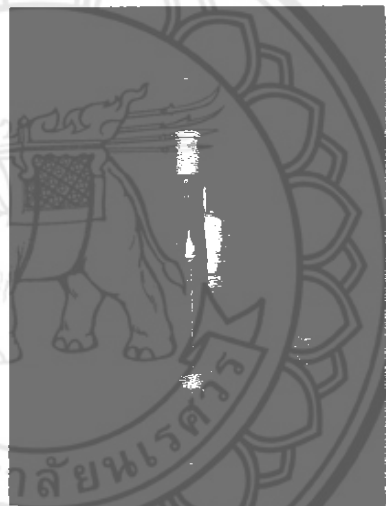
รูปที่ 4.9 เครื่องวัดความเร็วลม

3. เครื่องวัดความเร็วรอบ 1 เครื่อง



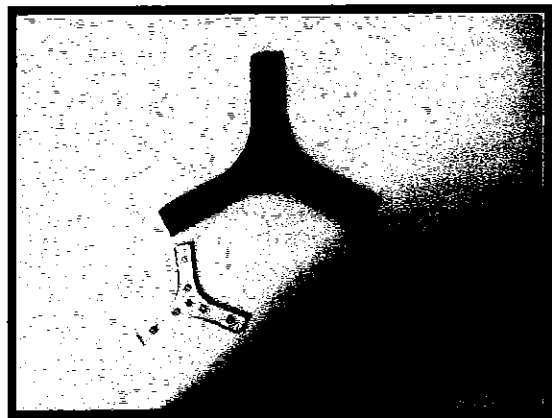
รูปที่ 4.10 เครื่องวัดความเร็วรอบ

4. ตาชั่งสปริงขนาด 5 kg 2 อัน



รูปที่ 4.11 ตาชั่งสปริง

5. ชุดติดตั้งกังหันลม

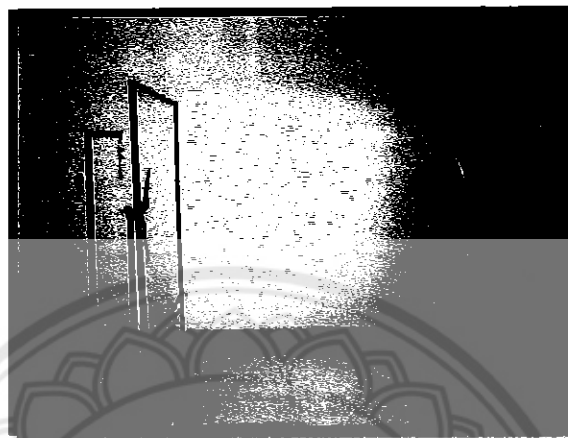


รูปที่ 4.12 แสดงชุดติดตั้งกังหันลมแต่ละแบบ

ขั้นตอนการทดสอบ

1. ตั้งพัคลมให้ห่างจากกังหันลมที่ระยะ 1.5 m แล้วเปิดพัคลมเบอร์ 2 ดังแสดงใน

รูปที่ 4.13



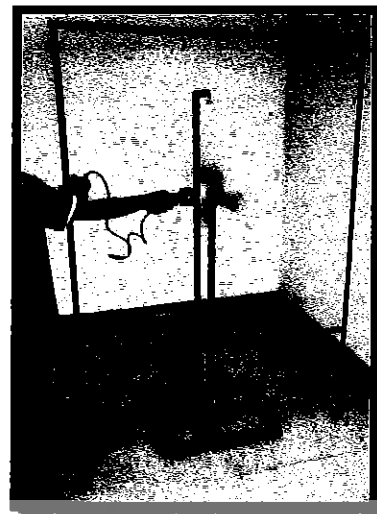
รูปที่ 4.13 ตั้งพัคลมห่างจากกังหันลมที่ระยะ 1.5 m

2. วัดความเร็วลมบริเวณหน้าพัคลม หน้ากังหันลมและหลังกังหันลมตามตำแหน่ง

ที่ได้กำหนดไว้ ดังแสดงในรูปที่ 4.14 และ 4.15



รูปที่ 4.14 การวัดความเร็วลมหน้าพัคลม



รูปที่ 4.15 การวัดความเร็วลมหน้ากังหันลม

3. วัดความเร็วรอบและแรงที่กังหันผลิตออกมานำได้ดังแสดงในรูปที่ 4.16 และ 4.17



รูปที่ 4.16 การวัดความเร็วรอบ



รูปที่ 4.17 การวัดแรงที่กังหันผลิตได้

4.4 ผลการทดสอบกังหันลมที่ระยะ 1.5 m พัดลมบอร์ 2

ตาราง 4.2 ผลการทดสอบกังหันลมที่ระยะ 1.5 m พัดลมบอร์ 2

กังหันลมชนิดไนท์ PVC

| ครั้งที่ | ความเร็วลม (m/s) | | | | ความเร็วลม (cm/s) | | | | แรง (N) | |
|----------|------------------|-----|-----|-----|-------------------|-----|-----|-----|---------|-------|
| | หน้างังหันลม | | | | หลังกังหันลม | | | | | |
| | 1 | 2 | 3 | 4 | เฉลี่ย | 1 | 2 | 3 | เฉลี่ย | |
| 1 | 2.9 | 3.1 | 2.7 | 3.0 | 2.93 | 1.0 | 1.5 | 1.7 | 1.3 | 204.9 |
| 2 | 2.9 | 3.0 | 2.7 | 2.9 | 2.88 | 1.1 | 1.6 | 1.9 | 1.4 | 205.2 |
| 3 | 2.8 | 3.0 | 2.8 | 2.9 | 2.88 | 0.9 | 1.5 | 1.7 | 1.4 | 200.2 |

กังหันลมชนิดเต็ม PVC

| ครั้งที่ | ความเร็วลม (m/s) | | | | ความเร็วลม (cm/s) | | | | แรง (N) | |
|----------|------------------|-----|-----|-----|-------------------|-----|-----|-----|---------|-------|
| | หน้างังหันลม | | | | หลังกังหันลม | | | | | |
| | 1 | 2 | 3 | 4 | เฉลี่ย | 1 | 2 | 3 | เฉลี่ย | |
| 1 | 3.1 | 2.9 | 3.3 | 2.8 | 3.03 | 0.9 | 1.2 | 1.3 | 1.0 | 361.8 |
| 2 | 3.1 | 3.0 | 3.3 | 2.8 | 3.05 | 0.9 | 1.3 | 1.1 | 1.0 | 352.4 |
| 3 | 3.0 | 3.2 | 3.4 | 2.9 | 3.13 | 0.9 | 1.1 | 1.3 | 0.9 | 353.0 |

กังหันลมขนาดเล็กและรุ่นเติมไนโตรเจน

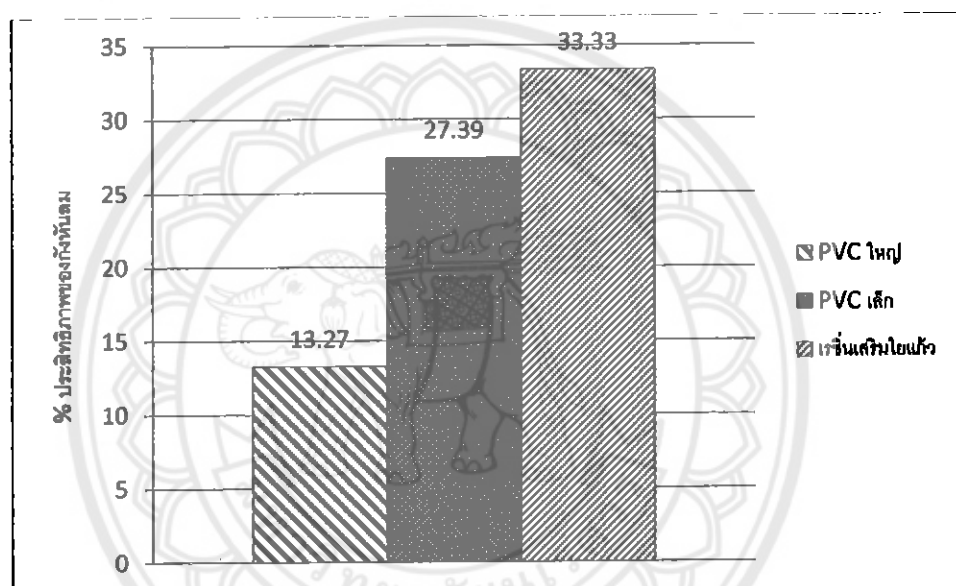
| ครั้งที่ | ความเร็วลม (ม/秒) | | | | ความเร็วลม (เมตร) | | | | แรง (N) |
|----------|------------------|-----|-----|--------|-------------------|-----|-----|--------|---------|
| | หน้างังหันลม | | | | หน้างังหันลม | | | | |
| 1 | 2 | 3 | 4 | เฉลี่ย | 1 | 2 | 3 | เฉลี่ย | |
| 1 | 3.2 | 3.4 | 3.1 | 2.8 | 3.13 | 1.0 | 0.9 | 1.0 | 0.93 |
| 2 | 2.9 | 3.3 | 3.2 | 2.7 | 3.03 | 0.9 | 1.1 | 1.0 | 0.98 |
| 3 | 3.0 | 3.1 | 3.1 | 2.7 | 2.98 | 0.8 | 0.9 | 0.9 | 0.90 |
| | | | | | | | | | 752.93 |
| | | | | | | | | | 3.0 |
| | | | | | | | | | 746.20 |
| | | | | | | | | | 2.8 |
| | | | | | | | | | 768.93 |
| | | | | | | | | | 3.0 |

หากตารางที่ 4.2 ผลการทดสอบกังหันลมที่ 3 แบบที่ระบุ 1.5 ㎜ พูดถึงความเร็วที่ได้จากหน้ากังหันลมของห้อง 3 แบบอยู่ในช่วง 2.5-3.5 ม/ส ซึ่งเป็นช่วงที่ต้องการใช้ในการทดสอบกังหันลม หากการทดสอบคิดถูกต้องถูกตัวจะได้ค่าความเร็วลมหน้ากังหันลม ความเร็วลมหลังกังหันลม ความเร็วลม บุผังกั้งหันที่ 3 แบบ และแรงเร่งที่กังหันลมต้องยกมาได้แล้วน้าไปคำนวณตามวิธีที่ทางสถาบันมาสอน

4.5 การคำนวณประสิทธิภาพกังหันลม

ตาราง 4.3 ผลการคำนวณประสิทธิภาพของกังหันลม

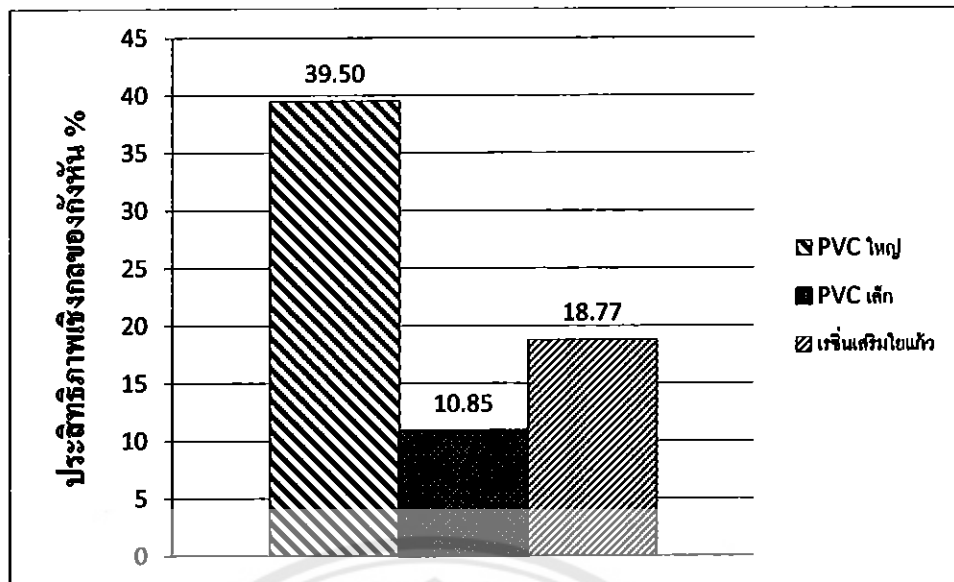
| ชนิดกังหันลม | ความเร็วลมเฉลี่ย (m/s) | | Pa (W) | Pw (W) | $\eta_T \%$ |
|--------------|------------------------|------------|--------|--------|-------------|
| | หน้ากังหัน | หลังกังหัน | | | |
| PVC ไทร์ | 2.89 | 1.42 | 17.37 | 2.30 | 13.27 |
| PVC เล็ก | 3.07 | 1.08 | 5.18 | 1.42 | 27.39 |
| เรซิ่น เล็ก | 3.04 | 0.93 | 5.06 | 1.69 | 33.33 |



รูปที่ 4.18 กราฟแสดงประสิทธิภาพของกังหันลมแต่ละแบบ

ตาราง 4.4 ผลการคำนวณประสิทธิภาพเชิงกลของกังหันลมจากกำลังที่ได้จากการกังหันลม

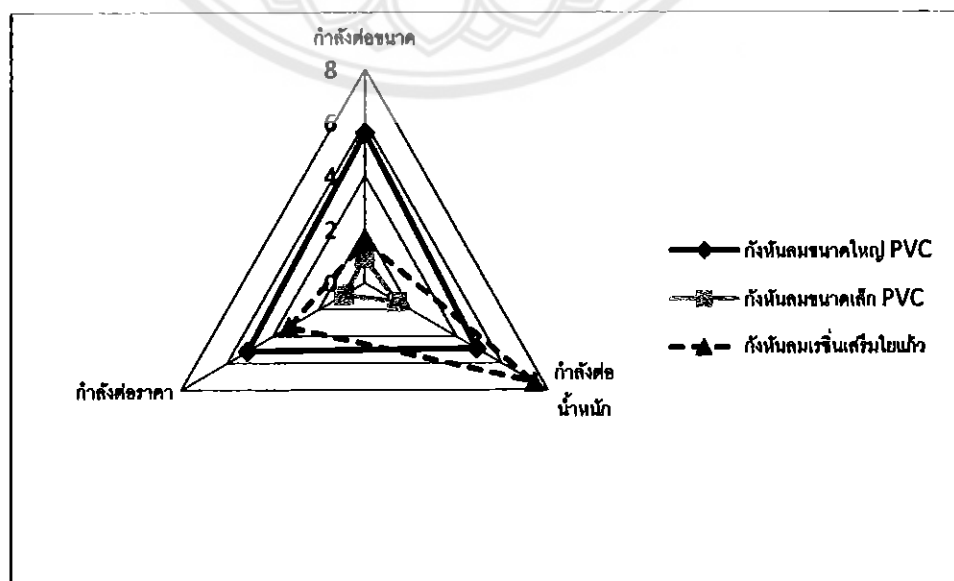
| ชนิดกังหันลม | ความเร็ว เฉลี่ยหน้า กังหันลม (m/s) | ความเร็ว รอบเฉลี่ย (rpm) | แรง (N) | ω (red/s) | T (N.m) | Pa (W) | Pout (W) | $\eta_M \%$ |
|--------------|---|--------------------------------|---------|---------------------|------------|-----------|----------|-------------|
| PVC ไทร์ | 2.89 | 204.89 | 80.00 | 21.44 | 0.32 | 17.37 | 6.86 | 39.50 |
| PVC เล็ก | 3.08 | 358.60 | 3.70 | 37.53 | 0.02 | 5.18 | 0.56 | 10.85 |
| เรซิ่น เล็ก | 3.04 | 756.02 | 2.93 | 79.13 | 0.02 | 5.06 | 0.95 | 18.77 |



รูปที่ 4.19 กราฟแสดงประสิทธิภาพเชิงกลของกั้งหันลมแต่ละแบบ

ตาราง 4.5 ตารางเปรียบเทียบกำลังที่ได้จากกั้งหันลมกับพารามิเตอร์ต่างๆ

| ชนิดกั้งหัน ลม | D (m) | น้ำหนัก (kg) | ราคา (บาท) | Pout (W) | Pout/D (W/m) | Pout/Weight (W/kg) | Pout/ราคา (W/300บาท) |
|-------------------|-------|-----------------|---------------|----------|-----------------|-----------------------|-------------------------|
| PVC ไหง | 1.22 | 1.40 | 400 | 6.86 | 5.62 | 4.90 | 5.10 |
| PVC เส็ก | 0.61 | 0.40 | 160 | 0.56 | 0.92 | 1.41 | 0.90 |
| เรชั่น เส็ก | 0.61 | 0.13 | 85 | 0.95 | 1.56 | 7.41 | 3.30 |



รูปที่ 4.20 กราฟแสดงกำลังกับพารามิเตอร์ต่างๆ

4.6 วิเคราะห์ผลการทดสอบกังหันลม

จากการทดสอบเพื่อหาระยะห่างระหว่างกังหันลมกับพัดลมดังแสดงในรูปที่ 4.7 พบว่าความเร็วลมที่ต้องการในช่วง 2.5 – 3.5 (m/s) จะอยู่ที่ระยะ 1 m พัดลมเบอร์ 1 และที่ระยะ 1.5 m พัดลมเบอร์ 2 และเบอร์ 3 ตามลำดับ จากผลการทดลองดังกล่าวจึงได้เลือกระยะที่ใช้ในการทดสอบกังหันลมทั้ง 3 แบบคือระยะ 1.5 m ที่พัดลมเบอร์ 2 เมื่องจากที่ระยะนี้มีความเร็วลมเฉลี่ยที่วัดได้จากหน้ากังหันลมทั้ง 3 แบบอยู่ในเกณฑ์สม่ำเสมอ กันและความเร็วลมอยู่ในช่วงที่ต้องการ

จากนั้นทำการทดสอบกังหันลมทั้ง 3 แบบที่ระยะ 1.5 m พัดลมเบอร์ 2 พบว่าประสิทธิภาพของกังหันลม (η_T) มากที่สุดคือ กังหันลมขนาดเดียวกันเรซิ่นไบแก้ว รองลงมาคือ กังหันลมขนาดเด็ก PVC และกังหันลมขนาดใหญ่ PVC ดังแสดงในรูปที่ 4.18 ซึ่งประสิทธิภาพของกังหันลม (η_T) จะขึ้นอยู่กับอัตราส่วนของกำลังลมที่กังหันดึงออกมาน้ำดี (P_w) กับกำลังลมที่กังหันได้รับ (P_d) ซึ่งกำลังลมที่กังหันได้รับนั้นจะขึ้นอยู่กับพื้นที่รับลมและกำลังลมที่กังหันดึงออกมาน้ำดี คือ คุณภาพต่างระหว่างความเร็วลมด้านหน้าและด้านหลังกังหัน ด้วยเหตุนี้ กังหันลมขนาดใหญ่ PVC ที่มีพื้นที่รับลมมากกว่า กังหันทั้ง 2 แบบจึงมีประสิทธิภาพของกังหันลม (η_T) น้อยที่สุดและจากผลการคำนวณประสิทธิภาพเชิงกล (η_M) ของกังหันลมดังแสดงในรูปที่ 4.19 พบว่า กังหันลมที่มีประสิทธิภาพเชิงกล (η_M) มากที่สุดคือ กังหันลมขนาดใหญ่ PVC รองลงมากังหันลมขนาดเด็กเรซิ่นไบแก้ว และกังหันลมขนาดเด็ก PVC ตามลำดับ กังหันลมขนาดใหญ่ PVC มีประสิทธิภาพเชิงกล (η_M) มากสุด เพราะมีแรงบิดมากเมื่อเปรียบเทียบกับ กังหันลมอีก 2 แบบ ส่วน กังหันลมขนาดเด็กเรซิ่นไบแก้ว มีประสิทธิภาพเชิงกล (η_M) มากกว่า กังหันลมขนาดเล็ก PVC ก็ เพราะว่า กังหันลมขนาดเด็กเรซิ่นไบแก้ว มีความเร็วรอบในการหมุนที่สูงกว่า เมื่อจากประสิทธิภาพเชิงกล (η_M) ของ กังหันลมจะขึ้นอยู่กับความเร็วรอบและแรงบิดที่ กังหันผลิตออกมาน้ำดี

เมื่อเปรียบเทียบกำลังที่ได้จาก กังหันลม กับ ขนาด น้ำหนัก และ ราคา จะเห็นว่า เมื่อเปรียบเทียบแล้ว 1. กำลังที่ผลิตได้ กับ ขนาด กังหัน ที่ทำได้ มาก สุด คือ กังหัน ขนาดใหญ่ PVC 2. กำลังที่สามารถผลิตได้ กับ น้ำหนัก มาก สุด คือ กังหัน ขนาด เด็ก เรซิ่น ไบ แก้ว 3. กำลังที่สามารถผลิตได้ กับ ราคา มาก สุด คือ กังหัน ขนาดใหญ่ PVC

4.7 สรุปผลการทดสอบ

จากการทดสอบกั้งหันลมเปรียบเทียบกันระหว่างกั้งหันขนาดใหญ่ PVC กั้งหันขนาดเล็ก PVC และกั้งหันลมขนาดเล็กเรซิ่นไข่แก้วได้ผลลัพธ์ตามนี้

1. ในด้านการทดสอบหาระยะที่เหมาะสมคือ ที่ระยะ 1.5 เมตร ใช้กำลังพัดลมเบอร์ 2 ได้ ความเร็วลมเฉลี่ยอยู่ในช่วง 2.5-3.5 เมตร/วินาทีซึ่งเป็นช่วงความเร็วลมที่กำหนดไว้
2. การทดสอบหาแรงและความเร็วรอบ ของกั้งหันทั้ง 3 แบบ

1.1 กั้งหันขนาดใหญ่ PVC 80 นิวตัน และ 204.89 รอบ/นาที

1.2 กั้งหันขนาดเล็ก PVC 3.7 นิวตัน และ 358.60 รอบ/นาที

1.3 กั้งหันขนาดเล็กเรซิ่นไข่แก้ว 2.93 นิวตัน และ 756.02 รอบ/นาที

3. การนำผลการทดสอบมาคำนวณหา ประสิทธิภาพของกั้งหันลม ประสิทธิภาพเชิงกลและ การเปรียบเทียบกับพารามิเตอร์ต่างๆ

3.1 ประสิทธิภาพของกั้งหันลม

- กั้งหันขนาดใหญ่ PVC เท่ากับ 13.27 %
- กั้งหันขนาดเล็ก PVC เท่ากับ 27.39 %
- กั้งหันขนาดเล็กเรซิ่นไข่แก้ว เท่ากับ 33.33 %

3.2 ประสิทธิภาพเชิงกล

- กั้งหันขนาดใหญ่ PVC เท่ากับ 39.50 %
- กั้งหันขนาดเล็ก PVC เท่ากับ 10.85 %
- กั้งหันขนาดเล็กเรซิ่นไข่แก้ว เท่ากับ 18.77 %

3.3 เปรียบเทียบกับพารามิเตอร์ต่างๆ

| | กั้งหันใหญ่ PVC | กั้งหันเล็ก PVC | กั้งหันเรซิ่นไข่แก้ว |
|-----------------|-----------------|-----------------|----------------------|
| กำลังต่อขนาด | 5.62 | 0.92 | 1.56 |
| กำลังต่อน้ำหนัก | 4.90 | 1.41 | 7.41 |
| กำลังต่อราคา | 0.017 | 0.003 | 0.011 |

บทที่ 5

สรุปผลการลดขนาดและลดน้ำหนักของกั้งหันลม

จากการศึกษาความเป็นไปได้ของการพัฒนา กั้งหันลม เพื่อให้ได้ประสิทธิภาพที่ดีขึ้น โดยการเปรียบเทียบการลดขนาดและลดน้ำหนักของกั้งหัน ซึ่งการทดสอบได้กำหนดขอบเขตการทดสอบภายในได้ช่วงความเร็วลมเฉลี่ย 2.5- 3.5 เมตรต่อวินาทีเพื่อศูนย์สมมติของกั้งหันลมพบว่า

การลดขนาดกั้งหันลมด้วยการตัดท่อพีวีซีจากขนาดเส้นผ่านศูนย์กลาง 122 เซนติเมตรเป็นขนาดเส้นผ่านศูนย์กลาง 61 เซนติเมตรซึ่งลดลงในอัตราส่วน 2:1 มีผลทำให้ประสิทธิภาพของกั้งหันลมเพิ่มขึ้นจาก 13.27% เป็น 27.39% เนื่องจากความสามารถในการดูซับพลังงานของใบกั้งหันลม แต่ประสิทธิภาพเชิงกลลดลงจาก 39.50% เป็น 10.85% เนื่องจากประสิทธิภาพเชิงกลจะแปรผันตรงกับแรงบิดและความเร็วของ

การลดน้ำหนักของกั้งหันด้วยการเปลี่ยนวัสดุในการทำกั้งหัน จากที่ใช้ท่อพีวีซีเป็นวัสดุก็เปลี่ยนมาเป็นการใช้วิธีการหล่อค้ำยเรซิ่นเสริมไข้แก้วพบว่าประสิทธิภาพของกั้งหันลมและประสิทธิภาพเชิงกลของกั้งหันลมเพิ่มขึ้นจากประสิทธิภาพของกั้งหันลมเดิม 27.39% ที่เพิ่มเป็น 33.33% และประสิทธิภาพเชิงกลจาก 10.85% เพิ่มเป็น 18.77 % เนื่องจากความเร็วรอบของกั้งหันลมเพิ่มขึ้น เพราะมีน้ำหนักเบากว่าเมื่อเปรียบเทียบกับกั้งหันจากท่อ PVC ขนาดเดียวกัน

ดังนั้นจึงสรุปได้ว่าจากการศึกษาความเป็นไปได้ของการใช้กั้งหันลมขนาดเล็กมีความเป็นไปได้ที่จะนำไปพัฒนาถึงความสามารถในการสร้างกระแสไฟฟ้าโดยใช้เครื่องบันไฟฟ้าที่ต้องการกำลังเชิงกลไม่เกิน 0.95 วัตต์และแรงบิดไม่เกิน 0.02 นิวตันเมตร ในพัฒนามารถตอบโจทย์ประกอบและพกพาได้สะดวกด้วย

ข้อเสนอแนะ

1. การนำกั้งหันลมที่ผลิตได้ไปทดสอบเพื่อหากำลังทางไฟฟ้า ควรใช้กับเครื่องบันไฟฟ้าขนาดเล็กที่ต้องการแรงบิดไม่เกิน 0.02 นิวตันเมตร และกำลังเชิงกลไม่เกิน 0.95 วัตต์
2. เพื่อให้ได้ผลการทดสอบที่แม่นยำควรทดสอบกั้งหันลมในอุณหภูมิ

บรรณานุกรม

- [1] การไฟฟ้าฝ่ายผลิตแห่งประเทศไทย, ฝ่ายพัฒนาและแผนงาน โรงไฟฟ้า, กองพัฒนาหลังงานทศแทน. พลังงานลม. [ออนไลน์]. เข้าถึงได้จาก : http://www2.egat.co.th/re/egat_wind/egat_wind.htm. (วันที่ค้นข้อมูล : 19 สิงหาคม 2553).
- [2] ชุมชนกังหันลม โครงการทำเคเพื่อพ่อหลวง. วิธีทำใบกังหันลมจากท่อPVC. [ออนไลน์]. เข้าถึงได้จาก : http://natee2007.thaiza.com/blog_view.php?blog_id=24533. (วันที่ค้นข้อมูล : 9 สิงหาคม 2553).
- [3] บริษัทพระพายเทคโนโลยี. กังหันลมผลิตไฟฟ้าความเร็วลมคำของพระพาย เทคโนโลยี. [ออนไลน์]. เข้าถึงได้จาก : <http://www.prapai.co.th/product.php>. (วันที่ค้นข้อมูล : 3 สิงหาคม 2553).
- [4] ผศ.ชาญชัย ลินปีบากร, อุไรพร ประดุจธรรมทรัพย์ และบุวนันท์ สันติทวีฤกษ์. 2545. พลังงานลม (Wind Energy). กรุงเทพมหานคร: สำนักวิทยาศาสตร์และเทคโนโลยีแห่งชาติ.
- [5] ASTM Int'l. 2010. Standard Test Method for Tensile Properties of Plastics: SGS North America Inc.
- [6] Ketjoy, Nipon., and Sasitharanuwat, Achitpon. 2004. "Wind Energy Technology" Naresuan University Journal 12(2): 57-73



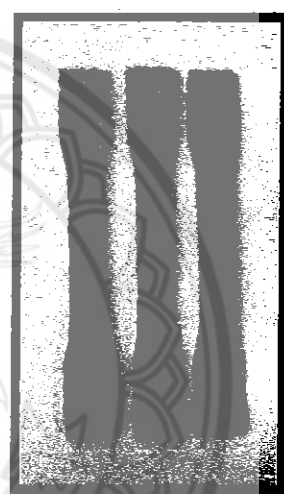
การทดสอบ : การทดสอบแรงดึงวัสดุ PVC และวัสดุเรซิ่นเสริมใยแก้ว

วัตถุประสงค์ของการทดสอบ

1. เพื่อให้ทราบค่าแรงและระบบการขึ้นของวัสดุ
2. นำแรงและระบบที่ได้ไปคำนวณหาความต้าน ความเครียดและ Modulus of elasticity เพื่อนำไปเปรียบเทียบถึงภาระการรับ荷重ของแต่ละวัสดุ อุปกรณ์ที่ใช้ในการทดสอบ



ชิ้นทดสอบจากวัสดุ PVC



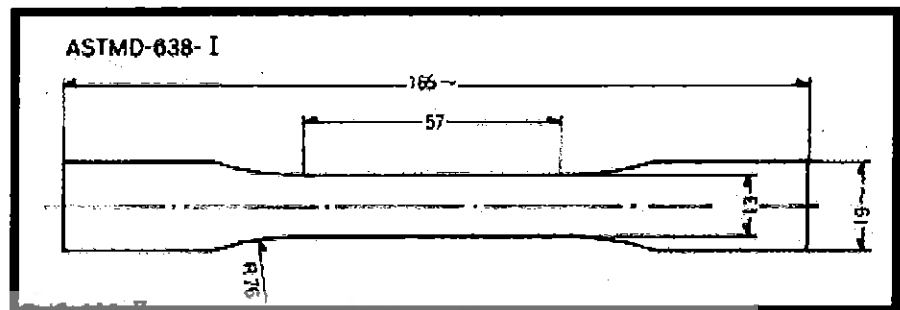
ชิ้นทดสอบจากวัสดุเรซิ่นใยแก้ว



เครื่องทดสอบแรงดึงและแรงกด (UTM)

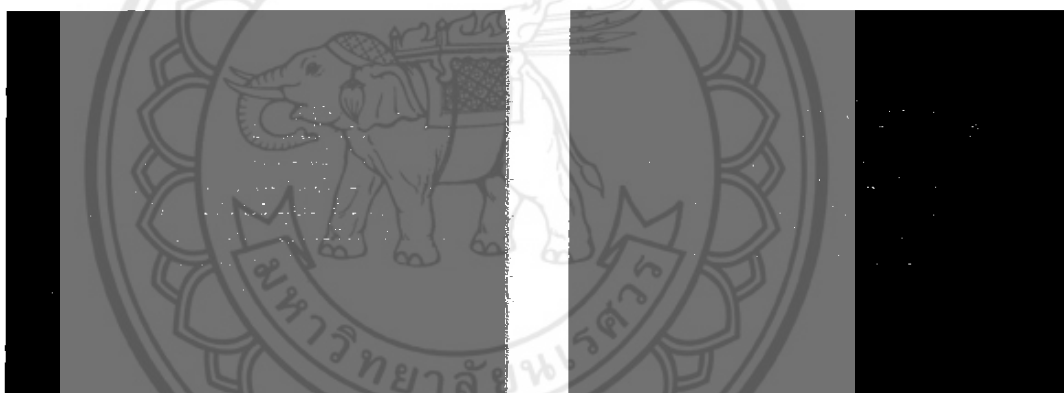
ขั้นตอนการทดสอบแรงดึง

- ตัดชิ้นงานที่จะทำการทดสอบตามมาตรฐาน ASTM D638 TYPE 1 ดังแสดงตามรูปที่ 1 โดยตัดชิ้นงานจากวัสดุ PVC และวัสดุเรซินเสริมไข้เก้า อายุคงละ 3 ชั่วโมง



รูปที่ 1 ชิ้นตามมาตรฐาน ASTM D638 TYPE 1

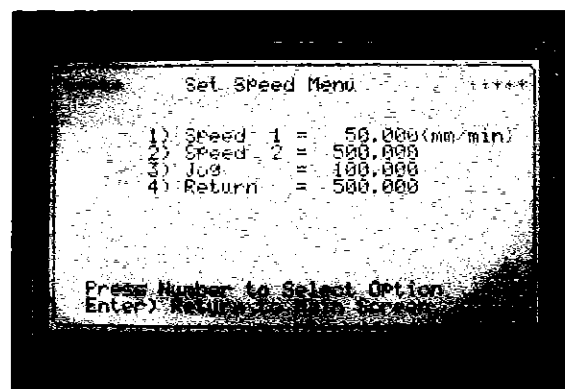
- เปิดเครื่องทดสอบแรงดึง (UTM) แล้วจะแสดงดังในรูปที่ 2 ตั้งค่าโดยกดปุ่ม Enter เพื่อเข้ารายละเอียดการใช้งานของเมนูทั้งหมด ดังแสดงในรูปที่ 3



รูปที่ 2 หน้าจอตอนเปิดเครื่อง

รูปที่ 3 รายละเอียดเมนูการใช้งาน

- ตั้งค่าโดยกดปุ่มหมายเลข 1 เพื่อปรับความเร็วที่ต้องการเป็น 50 mm/min ตามแสดงดังรูปที่ 4 จากนั้นกดปุ่ม Enter เพื่อกลับสู่หน้าจอหลัก



รูปที่ 4 แสดงการปรับความเร็วในการดึง

4. กดปุ่มหมายเลข 7 (Results) เพื่อแสดงผลในรูปที่ 5



รูปที่ 5 รายละเอียดการใช้งาน

5. กดปุ่มหมายเลข 3 (Clear All) เพื่อที่จะลบข้อมูลทั้งหมด

6. นำชิ้นงานที่จะใช้ทดสอบวางบริเวณที่ทำการทดสอบ แล้วปรับระยะของชิ้นงานให้พอดีกับเครื่องทดสอบ UTM โดยกดปุ่มถูกครึ่ง – ลงตามแสดงในรูปที่ 6 และรูปที่ 7 ตามลำดับ

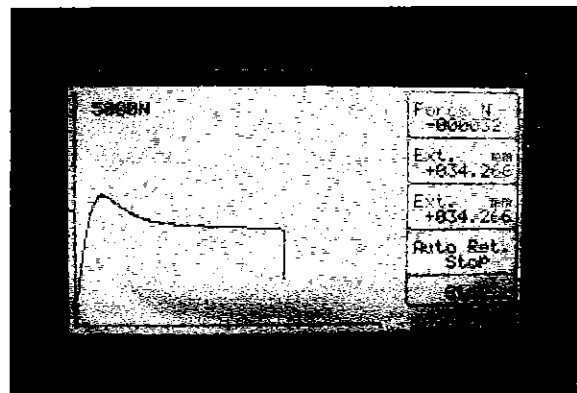


รูปที่ 6 การนำชิ้นงานวางทดสอบ

รูปที่ 7 ปุ่มกดถูกครึ่ง – ลง

7. ปรับค่าของแรงและระยะที่ต้องการให้มีค่าเป็นศูนย์ทั้งหมด โดยการกดปุ่ม Test แล้วกดปุ่ม F1 , F2 และ F3 เมื่อค่าต่างๆ เป็นศูนย์แล้วกดปุ่มถูกครึ่ง – ลง เพื่อทดสอบแรงดึง

8. จากนั้นเครื่องก็จะทำการคึ่งชิ้นงานบนชิ้นงานขาดแล้วก็จะแสดงกราฟ แรงที่ใช้คึ่งและระยะการบิดคึ่งแสดงในรูปที่ 8

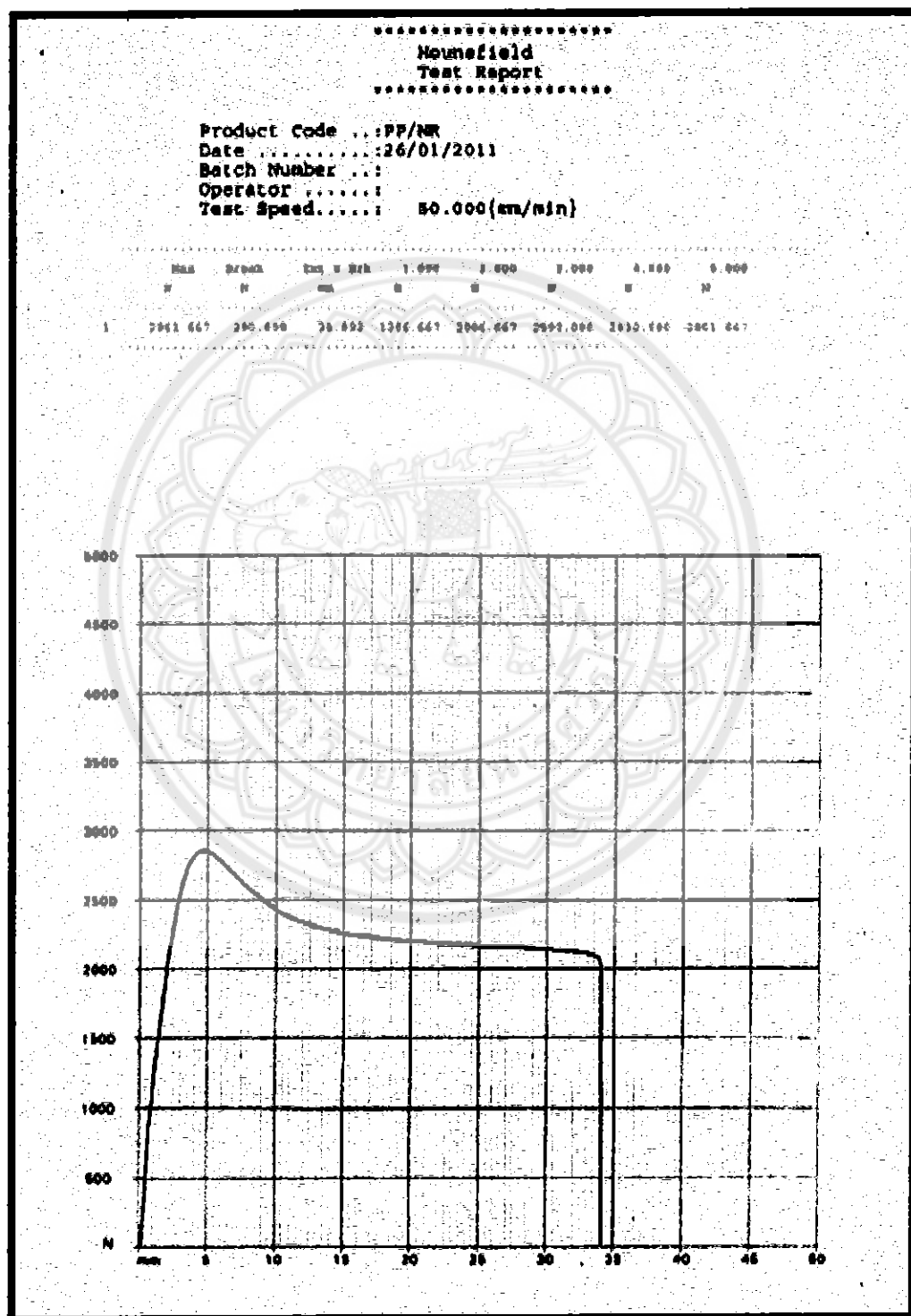


รูปที่ 8 แสดงกราฟที่ได้จากการดึงขึ้นงาน

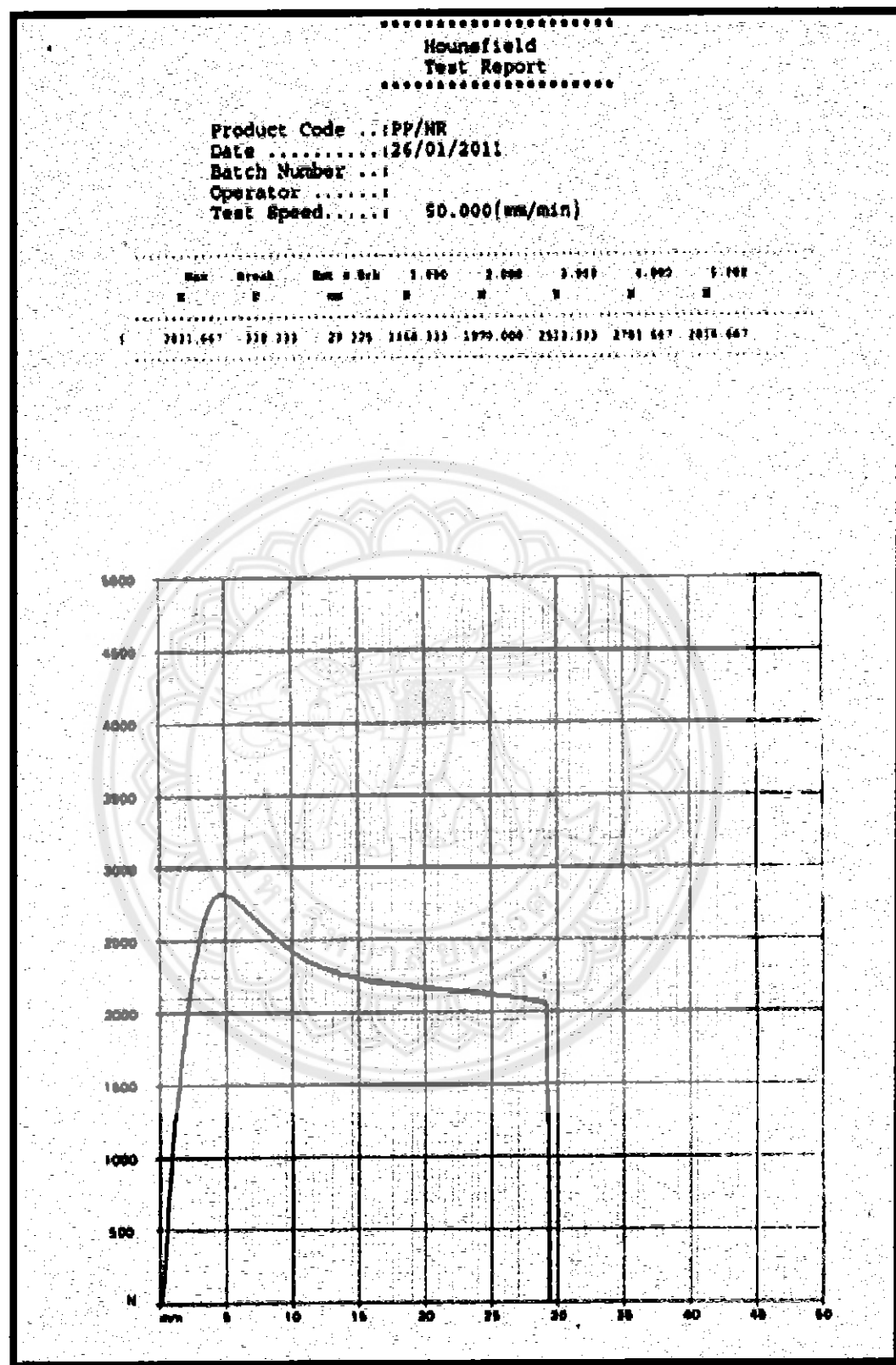
9. กดปุ่ม F4 เพื่อปริ้นกราฟแรงดึงกับระบบข้อมูลของขึ้นงานแต่ละชิ้นเพื่อนำไปคำนวณหาค่าความเด่นและความเครียดของแต่ละชิ้น 10
10. กดปุ่ม F5 (Return) เพื่อให้ปักจับขึ้นทดสอบแรงดึงกลับไปยังตำแหน่งเดิมที่ตั้งระบบไว้ในขั้นตอนที่ 6
11. ทดสอบขึ้นงานชิ้นใหม่โดยทำขั้นตอนที่ 6 - 10 จนครบทั้ง 2 ชนิด

ผลการทดสอบแรงดึง

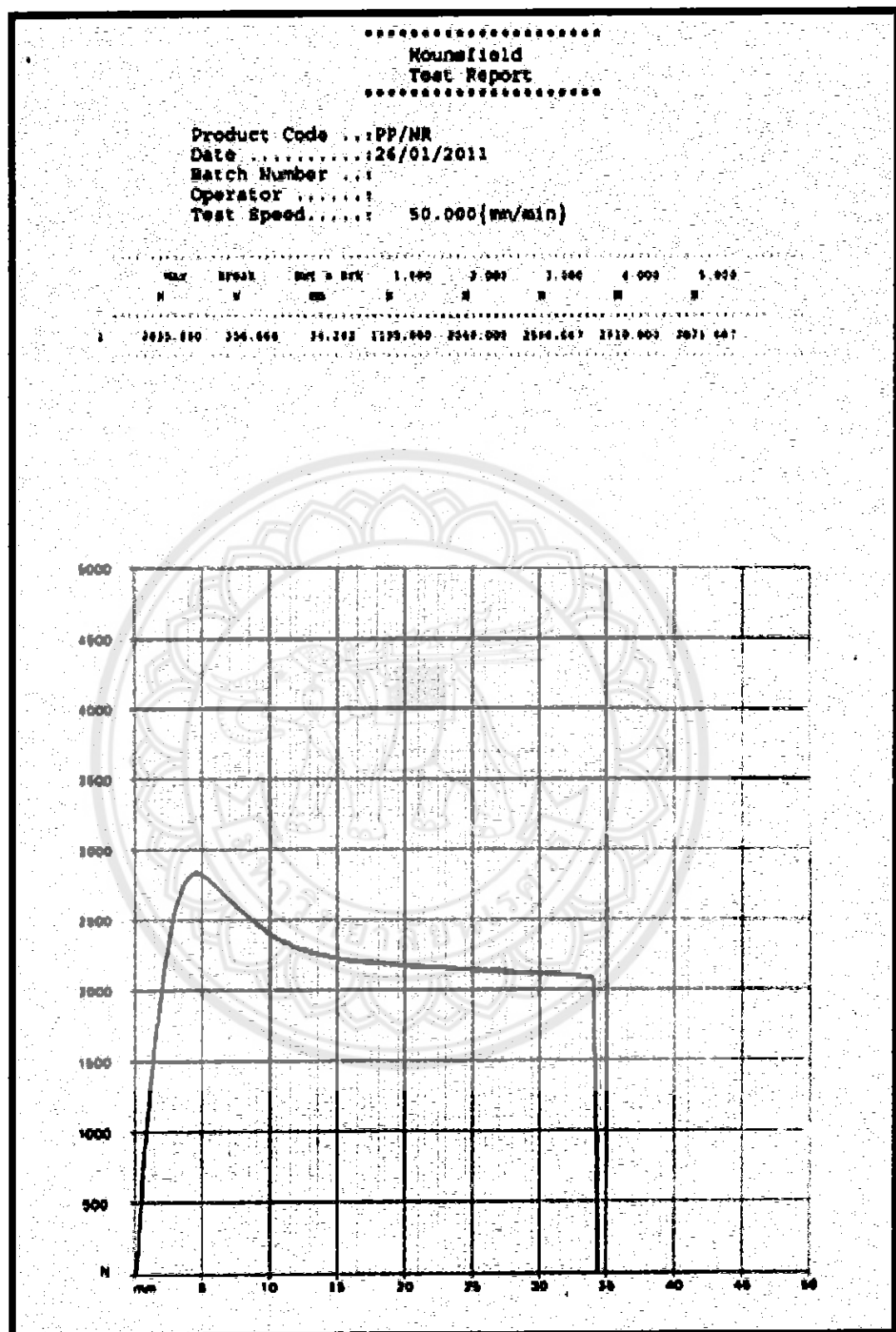
ผลการทดสอบแรงดึงวัสดุ PVC



รูปที่ 9 กราฟการทดสอบแรงดึงชิ้นงาน PVC 1

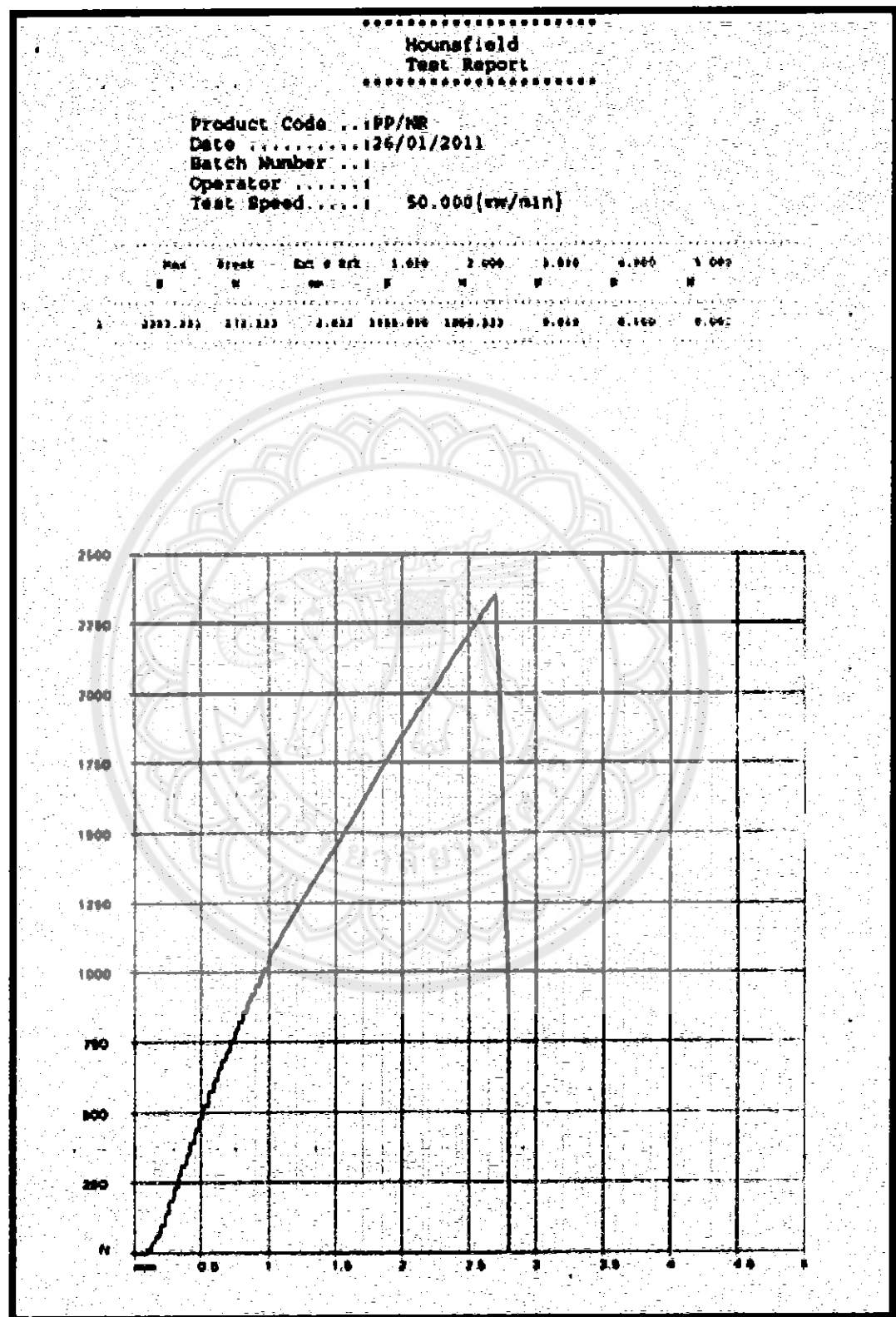


รูปที่ 10 กราฟการทดสอบแรงดึงชิ้นงาน PVC 2

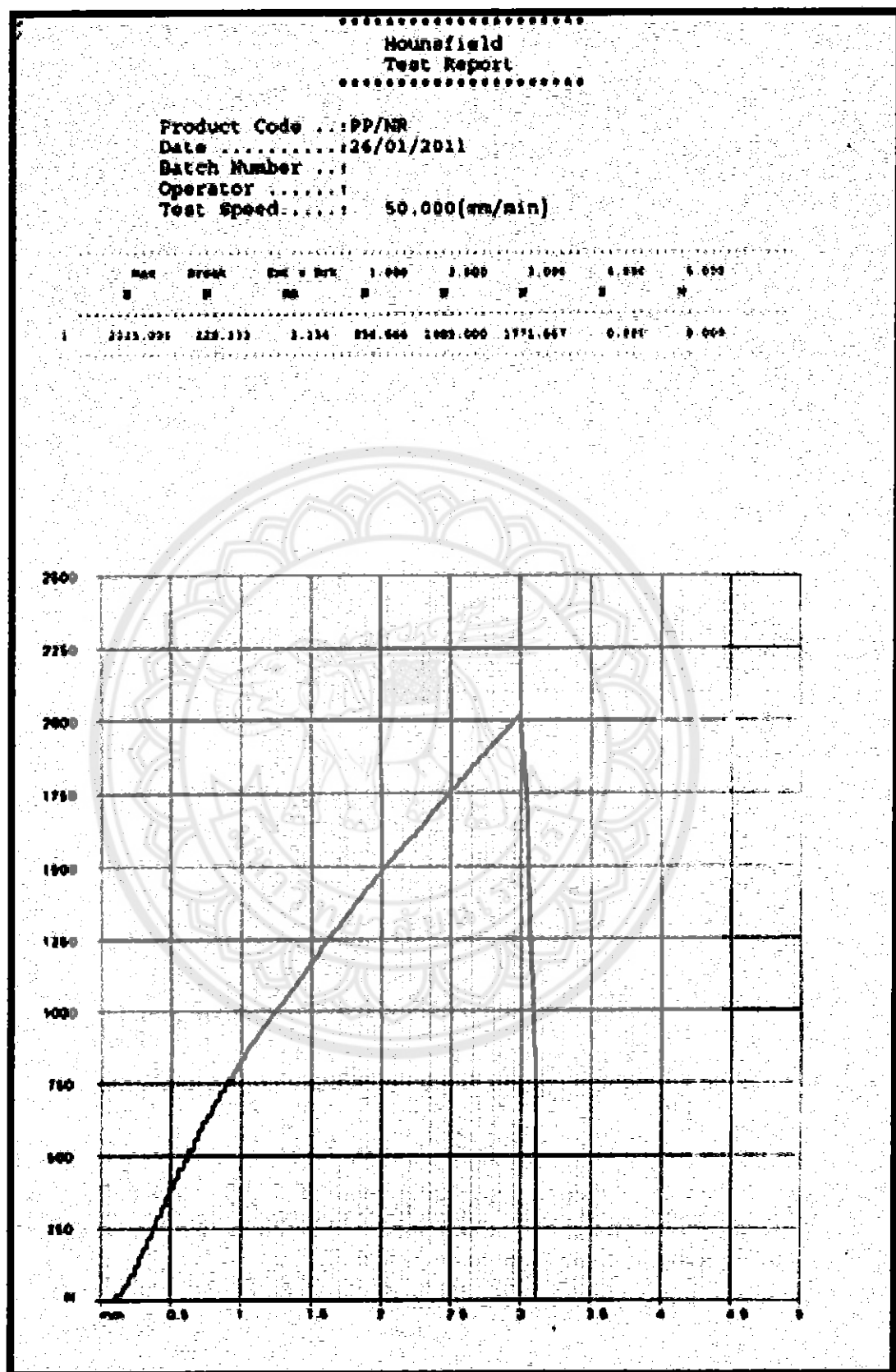


รูปที่ 11 กราฟการทดสอบแรงดึงชิ้นงาน PVC 3

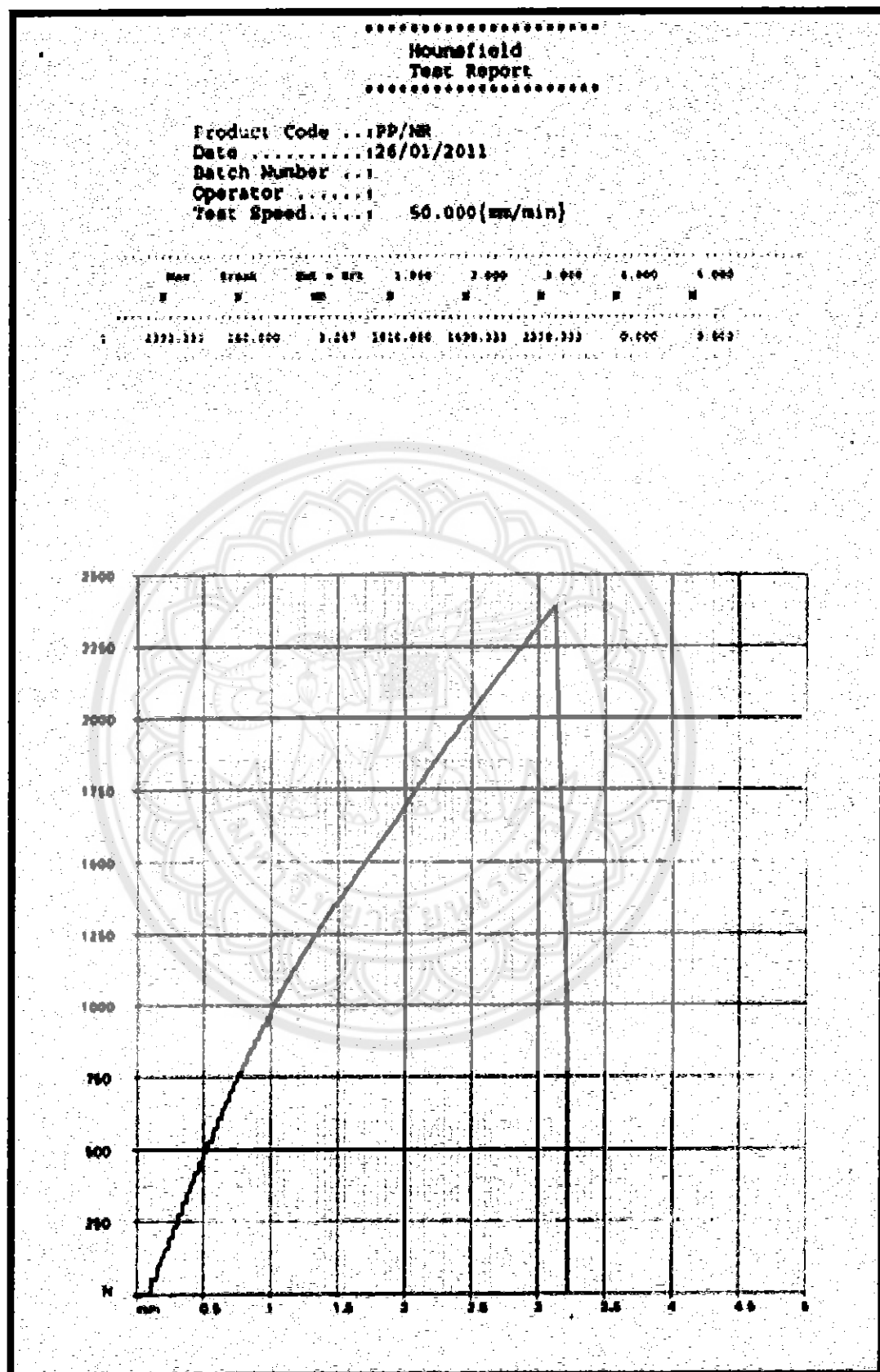
ผลการทดสอบแรงดึงวัสดุครุภัณฑ์เสริมไข้แก้ว



รูปที่ 12 กราฟการทดสอบแรงดึงวัสดุเรซิ่นเสริมไบแก้ว 1



รูปที่ 13 กราฟการทดสอบแรงดึงวัสดุเรซิ่นเสริมไบแก้ว 2



รูปที่ 14 กราฟการทดสอบแรงดึงวัสดุเรซิ่นเสริมไข้แก้ว 3

ผลการคำนวณค่าเฉลี่ยความเด่นและความเครียด

สมการความเด่น (Stress) = แรงที่กระทำ (F) / พื้นที่หน้าตัดที่รับแรงนั้น (A_0)
 หน่วยความเด่นอาจเป็น N/mm^2 หรือ MPa
 สมการความเครียด (Strain) = ความยาวที่ยืดออก (Δl) / ความยาวเริ่มต้น (l_0)
 ตาราง ค่าคงที่ที่ใช้ในการคำนวณ

| | |
|---|------------------------|
| ความเร็วที่ใช้ทดสอบ (V) | 50 mm/min |
| พื้นที่หน้าตัดที่รับแรงของพีวีซี (A_0) | 0.000065 m^2 |
| พื้นที่หน้าตัดที่รับแรงของเรซิโน่สเตรน ไบแก้ว (A_0) | 0.0000208 m^2 |
| ความยาวเริ่มต้น (l_0) | 57 mm |

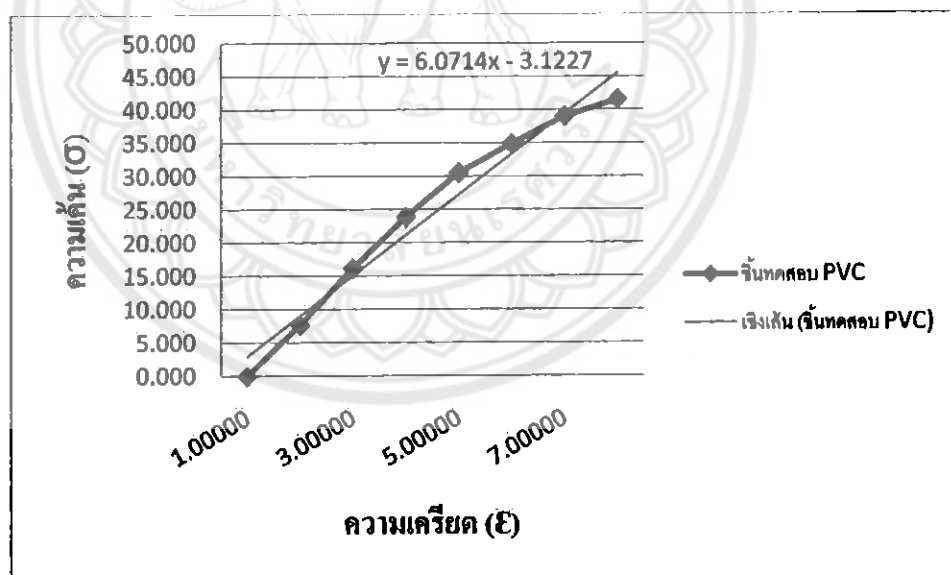
ตารางค่าเฉลี่ยความเด่นและความเครียดของชิ้นทดสอบ PVC

| ค่าเฉลี่ยความเด่น (MPa) | ค่าเฉลี่ยความเครียด |
|-------------------------|---------------------|
| 0.000 | 0.00000 |
| 7.692 | 0.00877 |
| 16.154 | 0.01754 |
| 23.846 | 0.02632 |
| 30.513 | 0.03509 |
| 34.872 | 0.04386 |
| 38.974 | 0.05263 |
| 41.538 | 0.06140 |
| 42.949 | 0.07018 |
| 43.564 | 0.07895 |
| 43.654 | 0.08772 |

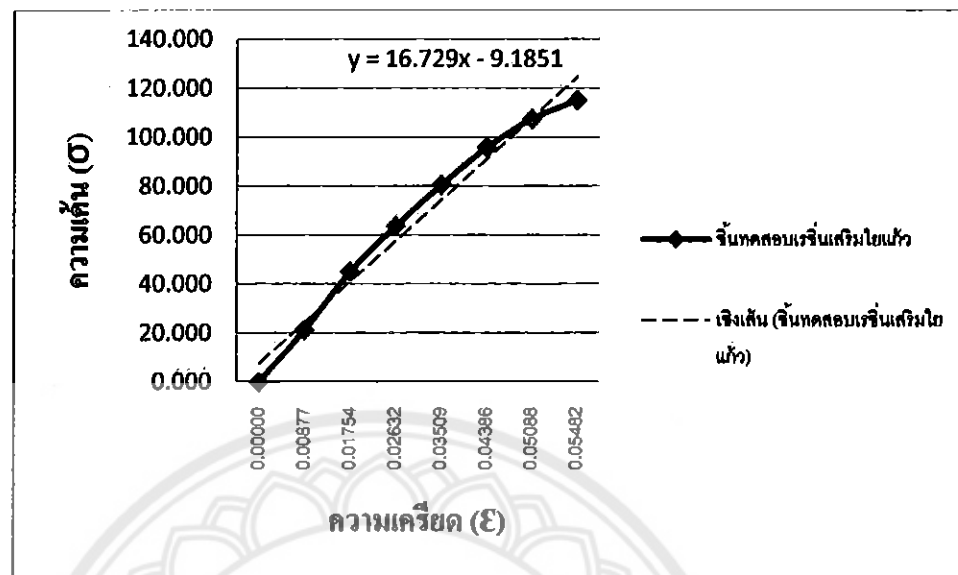
ตารางค่าเฉลี่ยความเด่นและความเครียดของชิ้นทดสอบเรซิ่นในสี

| ค่าเฉลี่ยความเด่น (MPa) | ค่าเฉลี่ยความเครียด |
|-------------------------|---------------------|
| 0.000 | 0.00000 |
| 21.234 | 0.00877 |
| 45.072 | 0.01754 |
| 63.702 | 0.02632 |
| 80.529 | 0.03509 |
| 95.753 | 0.04386 |
| 107.425 | 0.05088 |
| 115.064 | 0.05482 |

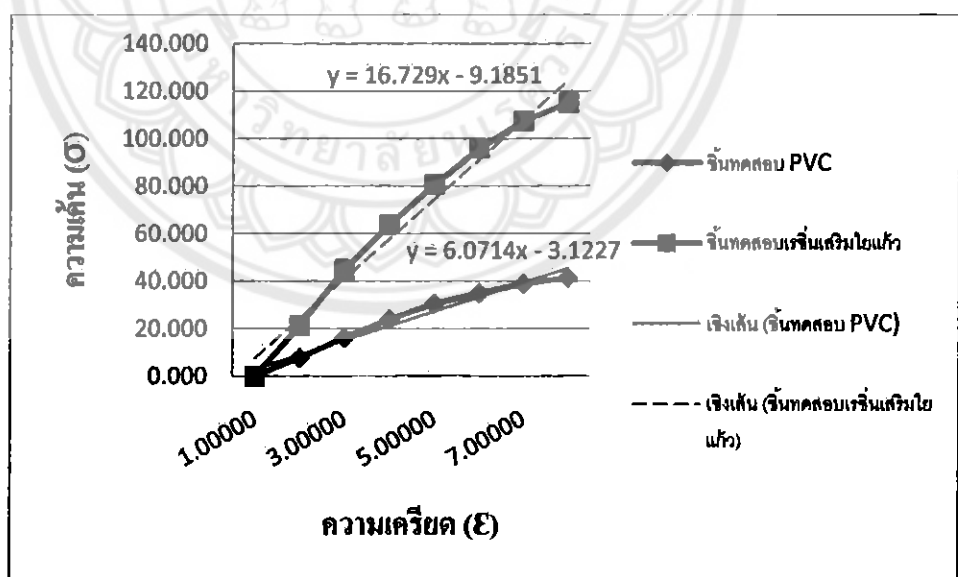
กราฟแสดงค่า Modulus of elasticity (E) ของพีวีซี



กราฟแสดงค่า Modulus of elasticity (E) ของเรซิ่นเสริมไยแก้ว



กราฟแสดงค่าเบรียบเท็บน Modulus of elasticity (E) ของพีวีซีกับเรซิ่นเสริมไยแก้ว



สรุปและวิจารณ์ผลการทดสอบ

จากผลการทดสอบแรงดึงของชิ้นทดสอบพีวีซีและเรซิ่นไยแก้วอ่อนงวด 3 ชิ้นด้วยเครื่องทดสอบแรงกดและแรงดึง (UTM) เพื่อหาค่า Modulus of elasticity (E) หรือค่า Young's Modulus ของแต่ละชิ้น จากกราฟแสดงค่า Modulus of elasticity (E) ของพีวีซีและกราฟแสดงค่า Modulus of elasticity (E) ของเรซิ่นไยแก้วพบว่าค่าเฉลี่ย Modulus of elasticity ของพีวีซีและเรซิ่นไยแก้วมีค่าเท่ากับ 6.071 MPa และ 16.72 MPa ตามลำดับ จะเห็นว่าค่า Modulus of elasticity (E) ของเรซิ่นไยแก้วมีค่าสูงกว่าของพีวีซีได้จากการทดสอบค่าเบรย์นเที่ยน Modulus of elasticity (E) ของพีวีซีกับเรซิ่นไยแก้ว ซึ่งค่า Modulus of elasticity (E) ของวัสดุแต่ละชนิดจะมีค่าเฉลี่ยคงที่ และเป็นตัวบ่งบอกความสามารถในการดึงของวัสดุนั้นคือ ถ้า Modulus of elasticity (E) มีค่าสูง วัสดุจะเปลี่ยนรูปอ่อนง่ายอิเลสติกได้น้อยซึ่งหมายถึงวัสดุมีความต้านทานต่อการดึงมาก แต่ถ้า Modulus of elasticity (E) มีค่าต่ำ วัสดุก็จะเปลี่ยนรูปอ่อนง่ายอิเลสติกได้มากซึ่งแสดงให้เห็นถึงความเป็นวัสดุเหนียวและจากการทดสอบแรงดึงขึ้นพบว่า ค่าเฉลี่ยความเก้นจุดคราก (Yield Strength) ของพีวีซีและเรซิ่นไยแก้วมีค่าเท่ากับ 43.641 MPa และ 108.520 MPa ตามลำดับ ซึ่งค่าความเก้นจุดครากนี้จะบ่งบอกถึงความแข็งแรงสูงสุดที่ใช้ประทับชน์ได้โดยไม่เกิดการเสียหายของวัสดุ เพราะมีค่าสูงกว่าพีวีซีมากกว่า 4 เท่า ทำให้สามารถทดสอบแรงดึงของวัสดุได้แม่นยำและเชื่อมั่นในผลการทดสอบ แต่ต้องคำนึงถึงผลกระทบต่อการทดสอบที่อาจเกิดขึ้นได้ เช่น การเปลี่ยนแปลงอุณหภูมิ ความชื้น ความดัน อุปกรณ์ทดสอบ เป็นต้น ที่อาจ影晌ผลการทดสอบได้

ภาคผนวก ข

การทดสอบเพื่อหาความเร็วลมเฉลี่ยที่ $2.5 - 3.5 \text{ m/s}$

มหาวิทยาลัยนเรศวร

การทดสอบเพื่อหาความเร็วลมเฉลี่ยที่ $2.5 - 3.5 \text{ m/s}$

วัสดุประสงค์การทดสอบ

1. เพื่อหาระยะความเร็วลมในช่วง $2.5 - 3.5 \text{ m/s}$
2. ทดสอบกังหันลมที่ระยะและความเร็วลมที่อยู่ในช่วง $2.5 - 3.5 \text{ m/s}$

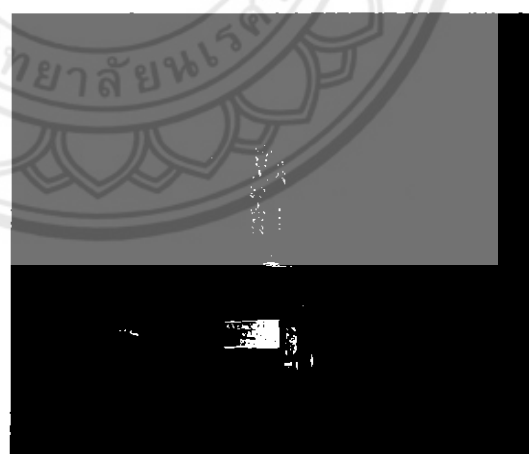
วัสดุอุปกรณ์ที่ใช้ในการทดสอบ

1. พัดลมอุตสาหกรรมขนาด 22 นิ้ว



รูปที่ 1 พัดลมอุตสาหกรรม

2. เครื่องวัดความเร็วลม 1 เครื่อง



รูปที่ 2 เครื่องวัดความเร็วลม

3. ชุดติดตั้งใบพัด

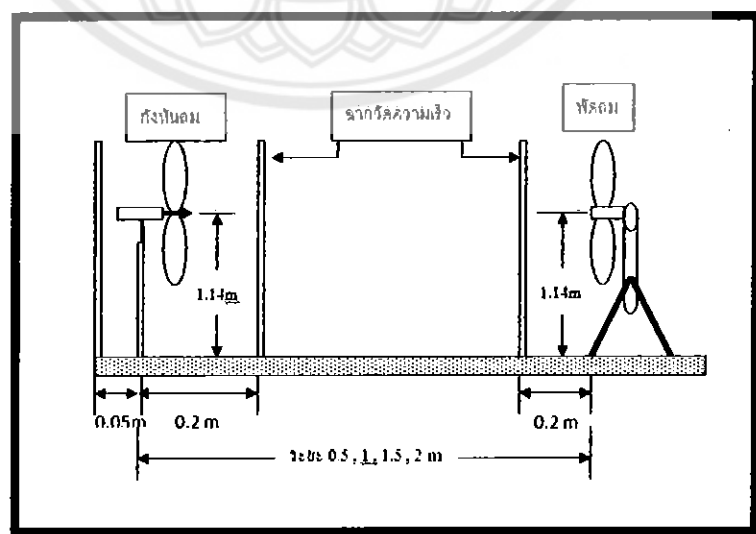
ชุดติดตั้งใบพัดจะมีอยู่ด้วยกันอยู่ 3 ชิ้นเพื่อไว้ใช้จับกังหันลมแต่ละแบบ โดยชุดติดตั้งใบพัดสำหรับกังหันจากท่อพีวีซีจะทำมาจากแผ่นเหล็กกล้าความหนาประมาณ 3 mm ส่วนชุดติดตั้งใบพัดของกังหันเรซิ่นเสริมไข้แก้วจะทำมาจากแผ่นอลูминียมที่หนาประมาณ 3 mm ดังแสดงในรูปที่ 3



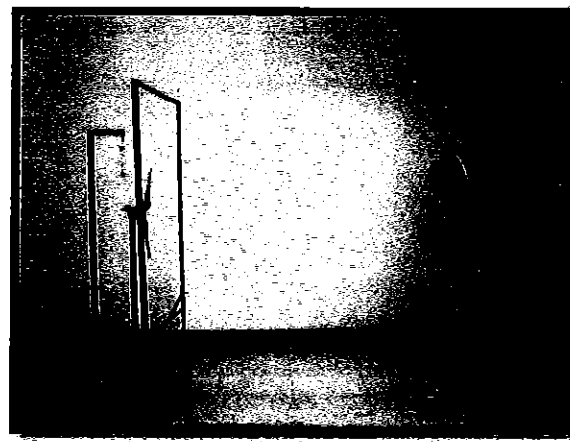
รูปที่ 3 แสดงชุดติดตั้งกังหันลมแต่ละแบบ

ขั้นตอนการทดลอง

1. การหาระยะความเร็วลมในช่วง 2.5 – 3.5 m/s ได้กำหนดระยะเวลาการตั้งกังหันลมและพัดลมที่ระยะ 0.5 m, 1 m, 1.5 m, 2 m โดยปรับความแรงของพัดลมที่เบอร์ 1,2,3 ตามลำดับดังแสดงในรูปที่ 4 และรูปที่ 5

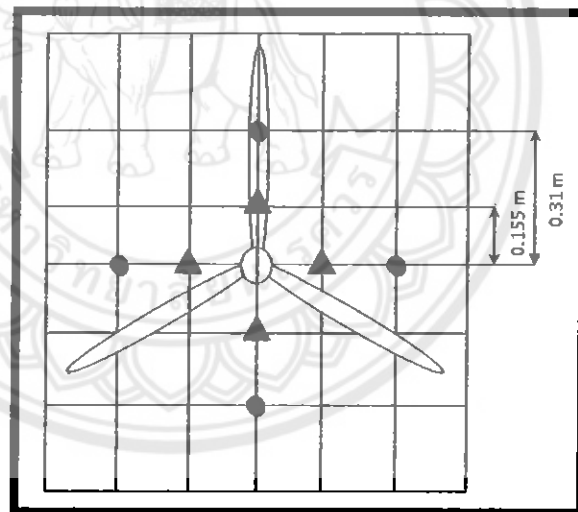


รูปที่ 4 การตั้งระบบการทดลองหาความเร็วลม



รูปที่ 5 การตั้งกังหันลมและพัดลม

2. วัดความเร็วลมบริเวณหน้าพัดลมและหน้ากังหันลม ซึ่งได้มีการกำหนดตำแหน่งที่ใช้ในการวัดอยู่ 4 จุดเพื่อควบคุมแนวการวัดให้แต่ละครั้งได้คงที่ ซึ่งสัญลักษณ์รูปวงกลมจะแสดงการวัดของกังหันลมขนาดใหญ่ ส่วนสัญลักษณ์รูปสามเหลี่ยมแสดงการวัดของกังหันลมขนาดเล็กดังแสดงในรูปที่ 6



รูปที่ 6 แสดงตำแหน่งที่ใช้ในการวัด

ผลการทดสอบเพื่อหาระยะห่างระหว่างกังหันลมกับพัดลมในช่วงความเร็วลม
เฉลี่ย $2.5 - 3.5 \text{ m/s}$

ตาราง แสดงความเร็วลมที่ได้จากการวัดที่ระยะต่างๆ

กังหันขนาดใหญ่ PVC

ที่ระยะ 0.5 m

| พัดลมเบอร์ | ความเร็วลม (m/s) | | | | | | | | | |
|------------|------------------|-----|-----|-----|--------|--------------------|-----|-----|-----|--------|
| | หน้าพัดลมจุดที่ | | | | | หน้ากังหันลมจุดที่ | | | | |
| | 1 | 2 | 3 | 4 | เฉลี่ย | 1 | 2 | 3 | 4 | เฉลี่ย |
| 1 | 5.4 | 6.2 | 6.5 | 5.7 | 5.95 | 3.9 | 1.9 | 0.9 | 3.9 | 2.65 |
| 2 | 6.1 | 7.4 | 7 | 7.4 | 6.98 | 4.1 | 2.4 | 1.2 | 3.8 | 2.88 |
| 3 | 7.9 | 8.5 | 7.3 | 7.4 | 7.78 | 4.7 | 1.8 | 1.4 | 4.1 | 3.00 |

ที่ระยะ 1 m

| พัดลมเบอร์ | ความเร็วลม (m/s) | | | | | | | | | |
|------------|------------------|-----|-----|-----|--------|--------------------|-----|-----|-----|--------|
| | หน้าพัดลมจุดที่ | | | | | หน้ากังหันลมจุดที่ | | | | |
| | 1 | 2 | 3 | 4 | เฉลี่ย | 1 | 2 | 3 | 4 | เฉลี่ย |
| 1 | 5.6 | 6.3 | 5 | 5.6 | 5.63 | 3.1 | 2.1 | 1.5 | 3 | 2.43 |
| 2 | 6.1 | 7.6 | 6.2 | 6.8 | 6.68 | 3.9 | 2.8 | 1.7 | 3.4 | 2.95 |
| 3 | 7.1 | 7.8 | 6.9 | 7.2 | 7.25 | 4 | 2.2 | 1.2 | 3.6 | 2.75 |

ที่ระยะ 1.5 m

| พัดลมเบอร์ | ความเร็วลม (m/s) | | | | | | | | | |
|------------|------------------|-----|-----|-----|--------|--------------------|-----|-----|-----|--------|
| | หน้าพัดลมจุดที่ | | | | | หน้ากังหันลมจุดที่ | | | | |
| | 1 | 2 | 3 | 4 | เฉลี่ย | 1 | 2 | 3 | 4 | เฉลี่ย |
| 1 | 4.9 | 6.3 | 6.4 | 6.2 | 5.95 | 2.4 | 1.6 | 0.8 | 2.5 | 1.83 |
| 2 | 6.2 | 7.6 | 6.4 | 7.1 | 6.83 | 3.1 | 1.6 | 1.6 | 3.6 | 2.48 |
| 3 | 6.6 | 8.3 | 7.7 | 7.4 | 7.50 | 3.3 | 1.6 | 1.6 | 3.9 | 2.60 |

ที่ระยะ 2 m

| พัสดุลมเบอร์ | ความเร็วลม (m/s) | | | | | | | | | |
|--------------|------------------|-----|-----|-----|--------|--------------------|-----|-----|-----|--------|
| | หน้าพัดลมจุดที่ | | | | | หน้ากังหันลมจุดที่ | | | | |
| | 1 | 2 | 3 | 4 | เฉลี่ย | 1 | 2 | 3 | 4 | เฉลี่ย |
| 1 | 5.1 | 6.3 | 5.1 | 5.7 | 5.55 | 1.8 | 1 | 0.6 | 2.2 | 1.40 |
| 2 | 6.1 | 7.6 | 6.5 | 7.6 | 6.95 | 2.5 | 1.3 | 1.6 | 2.4 | 1.95 |
| 3 | 6.7 | 8.4 | 6.8 | 7.8 | 7.43 | 2.7 | 1.5 | 1.6 | 2.7 | 2.13 |

กังหันขนาดเส้น PVC

ที่ระยะ 0.5 m

| พัสดุลมเบอร์ | ความเร็วลม (m/s) | | | | | | | | | |
|--------------|------------------|-----|-----|-----|--------|--------------------|-----|-----|-----|--------|
| | หน้าพัดลมจุดที่ | | | | | หน้ากังหันลมจุดที่ | | | | |
| | 1 | 2 | 3 | 4 | เฉลี่ย | 1 | 2 | 3 | 4 | เฉลี่ย |
| 1 | 5.1 | 6.6 | 5.7 | 5.1 | 5.63 | 4.6 | 5.4 | 5 | 4.1 | 4.78 |
| 2 | 6.5 | 7.2 | 6.9 | 6.4 | 6.75 | 5.6 | 5.3 | 4.8 | 5 | 5.18 |
| 3 | 7.1 | 8.4 | 7.2 | 7 | 7.43 | 6.7 | 5.9 | 6.4 | 6.2 | 6.30 |

ที่ระยะ 1 m

| พัสดุลมเบอร์ | ความเร็วลม (m/s) | | | | | | | | | |
|--------------|------------------|-----|-----|-----|--------|--------------------|-----|-----|-----|--------|
| | หน้าพัดลมจุดที่ | | | | | หน้ากังหันลมจุดที่ | | | | |
| | 1 | 2 | 3 | 4 | เฉลี่ย | 1 | 2 | 3 | 4 | เฉลี่ย |
| 1 | 5.5 | 6.7 | 7 | 5.9 | 6.28 | 3.4 | 3.9 | 4.1 | 2.4 | 3.45 |
| 2 | 5.9 | 8.1 | 7.5 | 6.6 | 7.03 | 4.2 | 4.7 | 4.6 | 3 | 4.13 |
| 3 | 7.2 | 8.4 | 8 | 7.3 | 7.73 | 4.9 | 4.7 | 4.8 | 3.1 | 4.38 |

ที่ระยะ 1.5 m

| พัสดุลมเบอร์ | ความเร็วลม (m/s) | | | | | | | | | |
|--------------|------------------|-----|-----|-----|--------|--------------------|-----|-----|-----|--------|
| | หน้าพัดลมจุดที่ | | | | | หน้ากังหันลมจุดที่ | | | | |
| | 1 | 2 | 3 | 4 | เฉลี่ย | 1 | 2 | 3 | 4 | เฉลี่ย |
| 1 | 4.7 | 6.4 | 6.6 | 6 | 5.93 | 2.9 | 2.7 | 2.4 | 2.3 | 2.58 |
| 2 | 6.3 | 7.9 | 6.6 | 6 | 6.70 | 3.1 | 3.4 | 3.3 | 3 | 3.20 |
| 3 | 7.1 | 8.3 | 8 | 7.5 | 7.73 | 3.5 | 3.3 | 3.7 | 4 | 3.63 |

ที่ระดับ 2 m

| พัคค์ลมเบอร์ | ความเร็วลม (m/s) | | | | | | | | | |
|--------------|-------------------|-----|-----|-----|--------|--------------------|-----|-----|-----|--------|
| | หน้าพัคค์ลมจุดที่ | | | | | หน้ากังหันลมจุดที่ | | | | |
| | 1 | 2 | 3 | 4 | เฉลี่ย | 1 | 2 | 3 | 4 | เฉลี่ย |
| 1 | 5.1 | 5.9 | 6.3 | 5.8 | 5.78 | 2.1 | 2 | 1.6 | 1.7 | 1.85 |
| 2 | 6.2 | 7.4 | 7 | 7.2 | 6.95 | 2.8 | 2.3 | 2.2 | 2.4 | 2.43 |
| 3 | 6.8 | 7.5 | 7.6 | 7.8 | 7.43 | 2.2 | 2.4 | 2.5 | 2.8 | 2.48 |

กังหันลมเรซิ่นและรีโนไบแก้ว

ที่ระดับ 0.5 m

| พัคค์ลมเบอร์ | ความเร็วลม (m/s) | | | | | | | | | |
|--------------|-------------------|-----|-----|-----|--------|--------------------|-----|-----|-----|--------|
| | หน้าพัคค์ลมจุดที่ | | | | | หน้ากังหันลมจุดที่ | | | | |
| | 1 | 2 | 3 | 4 | เฉลี่ย | 1 | 2 | 3 | 4 | เฉลี่ย |
| 1 | 4.5 | 6.1 | 5.3 | 6 | 5.48 | 3.2 | 5 | 5.3 | 4.7 | 4.55 |
| 2 | 5.3 | 7.2 | 7.5 | 6.3 | 6.58 | 3.9 | 5.5 | 5.8 | 5.1 | 5.08 |
| 3 | 6.1 | 7.6 | 7.9 | 7.5 | 7.28 | 3.5 | 6.2 | 6.6 | 5.6 | 5.48 |

ที่ระดับ 1 m

| พัคค์ลมเบอร์ | ความเร็วลม (m/s) | | | | | | | | | |
|--------------|-------------------|-----|-----|-----|--------|--------------------|-----|-----|-----|--------|
| | หน้าพัคค์ลมจุดที่ | | | | | หน้ากังหันลมจุดที่ | | | | |
| | 1 | 2 | 3 | 4 | เฉลี่ย | 1 | 2 | 3 | 4 | เฉลี่ย |
| 1 | 4.3 | 5.6 | 5.8 | 5.9 | 5.40 | 3.5 | 4 | 3.1 | 3.3 | 3.48 |
| 2 | 5 | 7.4 | 7 | 6.9 | 6.58 | 4.1 | 4.8 | 3.9 | 3.4 | 4.05 |
| 3 | 5.8 | 7.8 | 8.3 | 8 | 7.48 | 4.4 | 4.8 | 4.6 | 4.2 | 4.50 |

ที่ระดับ 1.5 m

| พัคค์ลมเบอร์ | ความเร็วลม (m/s) | | | | | | | | | |
|--------------|-------------------|-----|-----|-----|--------|--------------------|-----|-----|-----|--------|
| | หน้าพัคค์ลมจุดที่ | | | | | หน้ากังหันลมจุดที่ | | | | |
| | 1 | 2 | 3 | 4 | เฉลี่ย | 1 | 2 | 3 | 4 | เฉลี่ย |
| 1 | 3.8 | 5.9 | 6.1 | 6.3 | 5.53 | 2.2 | 3 | 2.5 | 2.4 | 2.53 |
| 2 | 5.4 | 6.8 | 7.6 | 7.4 | 6.80 | 3 | 3.4 | 3.5 | 3.2 | 3.28 |
| 3 | 5.9 | 7.8 | 7.8 | 7.3 | 7.20 | 3.4 | 3.6 | 3.5 | 3.6 | 3.53 |

ที่ระดับ 2 m

| พัสดุลมเบอร์ | ความเร็วลม (m/s) | | | | | | | | | |
|--------------|------------------|-----|-----|-----|--------|--------------------|-----|-----|-----|--------|
| | หน้าพัดลมจุกที่ | | | | | หน้ากังหันลมจุกที่ | | | | |
| | 1 | 2 | 3 | 4 | เฉลี่ย | 1 | 2 | 3 | 4 | เฉลี่ย |
| 1 | 4.7 | 6.1 | 5.2 | 6 | 5.50 | 1.9 | 2 | 1.6 | 1.8 | 1.83 |
| 2 | 5.1 | 6.9 | 6.2 | 7.4 | 6.40 | 2.3 | 2.9 | 2.8 | 2.7 | 2.68 |
| 3 | 5.9 | 7.5 | 7.5 | 8 | 7.23 | 2.2 | 3.2 | 2.9 | 2.3 | 2.65 |

ตาราง สรุปผลความเร็วลมที่ได้จากการทดสอบของกังหันลม

ที่ระดับ 0.5 m

| พัสดุลมเบอร์ | ความเร็วลม (m/s) | | | | | | | |
|--------------|----------------------------|---------|------------|--------|--------------------|---------|------------|--------|
| | หน้าพัดลมของกังหันแต่ละแบบ | | | | หน้ากังหันแต่ละแบบ | | | |
| | B (PVC) | S (PVC) | S (เรซิ่น) | เฉลี่ย | B (PVC) | S (PVC) | S (เรซิ่น) | เฉลี่ย |
| 1 | 5.95 | 5.63 | 5.48 | 5.69 | 2.65 | 4.78 | 4.55 | 3.99 |
| 2 | 6.98 | 6.75 | 6.58 | 6.77 | 2.88 | 5.18 | 5.08 | 4.38 |
| 3 | 7.78 | 7.43 | 7.28 | 7.50 | 3.00 | 6.30 | 5.48 | 4.93 |

ที่ระดับ 1 m

| พัสดุลมเบอร์ | ความเร็วลม (m/s) | | | | | | | |
|--------------|----------------------------|---------|------------|--------|--------------------|---------|------------|--------|
| | หน้าพัดลมของกังหันแต่ละแบบ | | | | หน้ากังหันแต่ละแบบ | | | |
| | B (PVC) | S (PVC) | S (เรซิ่น) | เฉลี่ย | B (PVC) | S (PVC) | S (เรซิ่น) | เฉลี่ย |
| 1 | 5.63 | 6.28 | 5.40 | 5.77 | 2.43 | 3.45 | 3.48 | 3.12 |
| 2 | 6.68 | 7.03 | 6.58 | 6.76 | 2.95 | 4.13 | 4.05 | 3.71 |
| 3 | 7.25 | 7.73 | 7.48 | 7.49 | 2.75 | 4.38 | 4.50 | 3.88 |

ที่ระยะ 1.5 m

| พัคຄณเบอร์ | ความเร็วลม (m/s) | | | | | | | |
|------------|----------------------------|---------|------------|--------|--------------------|---------|------------|--------|
| | หน้าพัดลมของกังหันแต่ละแบบ | | | | หน้ากังหันแต่ละแบบ | | | |
| | B (PVC) | S (PVC) | S (เรซิ่น) | เฉลี่ย | B (PVC) | S (PVC) | S (เรซิ่น) | เฉลี่ย |
| 1 | 5.95 | 5.93 | 5.53 | 5.80 | 1.83 | 2.58 | 2.53 | 2.31 |
| 2 | 6.83 | 6.70 | 6.80 | 6.78 | 2.48 | 3.20 | 3.28 | 2.99 |
| 3 | 7.50 | 7.73 | 7.20 | 7.48 | 2.60 | 3.63 | 3.53 | 3.25 |

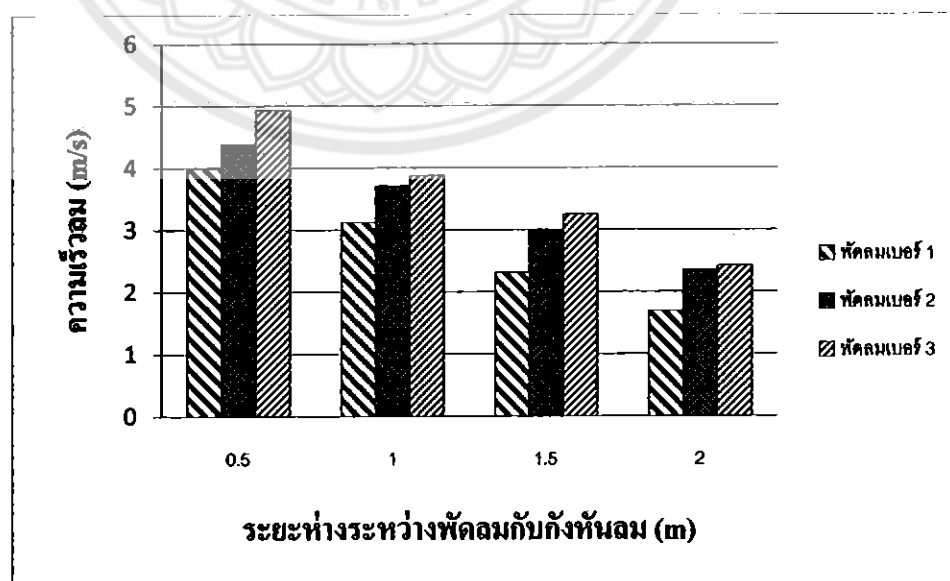
ที่ระยะ 2 m

| พัคຄณเบอร์ | ความเร็วลม (m/s) | | | | | | | |
|------------|----------------------------|---------|------------|--------|--------------------|---------|------------|--------|
| | หน้าพัดลมของกังหันแต่ละแบบ | | | | หน้ากังหันแต่ละแบบ | | | |
| | B (PVC) | S (PVC) | S (เรซิ่น) | เฉลี่ย | B (PVC) | S (PVC) | S (เรซิ่น) | เฉลี่ย |
| 1 | 5.55 | 5.78 | 5.50 | 5.61 | 1.40 | 1.85 | 1.83 | 1.69 |
| 2 | 6.95 | 6.95 | 6.40 | 6.77 | 1.95 | 2.43 | 2.68 | 2.35 |
| 3 | 7.43 | 7.43 | 7.23 | 7.36 | 2.13 | 2.48 | 2.65 | 2.42 |

หมายเหตุ

B=กังหันลมขนาดใหญ่

S=กังหันลมขนาดเล็ก



รูปที่ 7 กราฟแสดงความสัมพันธ์ระหว่างความเร็วลมและระยะห่างระหว่างพัดลมกับกังหันลม

สรุปและวิเคราะห์ผลการทดสอบ

จากการทดลองหาความเร็วลมเฉลี่ยที่ $2.5 - 3.5 \text{ m/s}$ สรุปผลความเร็วลมที่ได้จาก การทดสอบกั้งหันลมขนาดใหญ่ PVC กั้งหันลมขนาดเด็ก PVC และกั้งหันลมขนาดเด็กเร ชั้นเรียนไข่เก้า โดยทำการทดสอบที่ระยะ $0.5, 1, 1.5$ และ 2 m ตามลำดับ พบว่าความเร็ว ลมที่ต้องการในช่วง $2.5 - 3.5 (\text{m/s})$ จะอยู่ที่ระยะ 1 m พัคลมเบอร์ 1 และที่ระยะ 1.5 m พัค ลมเบอร์ 2 และเบอร์ 3 ตามลำดับ จากผลการทดสอบดังกล่าวผู้วิจัยได้เลือกระยะที่จะใช้ ทดสอบกั้งหันลมทั้ง 3 แบบกีอ ระยะที่กั้งหันลมห่างจากพัคลม 1.5 m ใช้พัคลมเบอร์ 2 เพราะเป็นช่วงที่ให้ความเร็วเฉลี่ยสูงมากและความเร็วลมเฉลี่ยบังอยู่ในช่วง $2.5-3.5 \text{ m/s}$ ซึ่งเป็นช่วงที่ต้องการอีกด้วย





1. การคำนวณหาค่าประสิทธิภาพของกังหันลม (η_T) ของกังหันลมทั้ง 3 แบบ

จากค่าประสิทธิภาพของกังหันลม (η_T) เท่ากับอัตราส่วนของกำลังลมที่กังหันลมสามารถดึงออกมาน้ำได้ (P_w) กับกำลังลมที่กังหันลมได้รับ (P_a)

$$\eta_T = \frac{P_w}{P_a}$$

$$\text{จาก } P_a = \frac{1}{2} \rho A V_1^3$$

$$P_w = \frac{1}{2} \rho A (V_1 - V_2)^3$$

เมื่อ ความหนาแน่นของอากาศ $\rho = 1.23 \text{ kg/m}^3$

ตารางความเร็วลมที่วัดได้จากหน้ากังหันและหลังกังหัน

| ชนิดกังหันลม | ความเร็วลมเฉลี่ย (m/s) | |
|--------------|------------------------|------------|
| | หน้ากังหัน | หลังกังหัน |
| PVC ใหญ่ | 2.89 | 1.42 |
| PVC เล็ก | 3.07 | 1.08 |
| เรซิ่น เล็ก | 3.04 | 0.93 |

1.1 กังหันลมขนาดใหญ่ PVC

พื้นที่รับลมของกันหน้า

$$A = \frac{\pi d^2}{4} = \frac{\pi(1.22)^2}{4} = 1.17 \text{ m}^2$$

เมื่อ $P_a = \frac{1}{2} (1.23)(1.17)(2.89)^3$

$$= 17.37 \text{ W}$$

$$P_w = \frac{1}{2} (1.23)(1.17)(2.89 - 1.42)^3$$

$$= 2.31 \text{ W}$$

คั่งน้ำจะได้

$$\eta_T = \frac{P_w}{P_a} = \frac{2.31}{17.37} = 0.1327 = 13.27\%$$

1.2 กังหันลมขนาดเล็ก PVC

พื้นที่รับลมของกันหัน

$$A = \frac{\pi d^2}{4} = \frac{\pi(0.61)^2}{4} = 0.29 \text{ m}^2$$

เมื่อ $P_a = \frac{1}{2}(1.23)(0.29)(3.07)^3$
 $= 5.18 W$

$$P_w = \frac{1}{2}(1.23)(0.29)(3.07 - 1.08)^3
= 1.42 W$$

คั่งน้ำจะได้

$$\eta_T = \frac{P_w}{P_a} = \frac{1.42}{5.18} = 0.2739 = 27.39\%$$

1.3 กังหันลมขนาดเล็กเรซิ่น

พื้นที่รับลมของกันหัน

$$A = \frac{\pi d^2}{4} = \frac{\pi(0.61)^2}{4} = 0.29 \text{ m}^2$$

เมื่อ $P_a = \frac{1}{2}(1.23)(0.29)(3.04)^3$
 $= 5.06 W$

$$P_w = \frac{1}{2}(1.23)(0.29)(3.04 - 0.93)^3
= 1.69 W$$

คั่งน้ำจะได้

$$\eta_T = \frac{P_w}{P_a} = \frac{1.69}{5.06} = 0.3333 = 33.33\%$$

2. การคำนวณหาประสิทธิภาพเชิงกลของกังหันลมทั้ง 3 แบบ

จากค่าประสิทธิภาพเชิงกลของกังหันลม (η_M) เท่ากับอัตราส่วนของกำลังที่กังหันลมผลิตให้ (P_{out}) กับกำลังลมที่กังหันลมได้รับ (P_a)

$$\eta_M = \frac{P_{out}}{P_a}$$

$$\text{จาก } P_a = \frac{1}{2} \rho A V_1^3$$

$$P_{out} = T \cdot \omega$$

เมื่อ $T = F \cdot r$; แกนเพลาของกังหันลมมีขนาดเส้นผ่านศูนย์กลาง 8 mm

$$\omega = \frac{2\pi N}{60}$$

$$\text{และ } \text{ความหนาแน่นของอากาศ } \rho = 1.23 \text{ kg/m}^3$$

ตารางความเร็วลมเฉลี่ยหน้ากังหันลม ความเร็วรอบและแรงที่กังหันทำได้

| ชนิดกังหันลม | ความเร็วลมเฉลี่ยหน้ากังหันลม (m/s) | ความเร็วรอบเฉลี่ย (rpm) | แรง (N) |
|--------------|------------------------------------|-------------------------|---------|
| PVC ไทร์ | 2.89 | 204.89 | 80.00 |
| PVC เล็ก | 3.07 | 358.60 | 3.70 |
| เรชิน เล็ก | 3.04 | 756.02 | 2.93 |

2.1 กังหันลมขนาดใหญ่ PVC

พื้นที่รับลมของกันหัน

$$A = \frac{\pi d^2}{4} = \frac{\pi(1.22)^2}{4} = 1.17 \text{ m}^2$$

$$\text{เมื่อ } P_a = \frac{1}{2} (1.23)(1.17)(2.89)^3$$

$$= 17.37 W$$

$$\text{และ } T = 80(0.004) = 0.32 \text{ N.m}$$

$$\omega = \frac{2\pi(204.87)}{60} = 21.45 \text{ rad/s}$$

จะได้ว่า $P_{out} = (0.32)(21.45)$

$$= 6.86 \text{ W}$$

ดังนั้นจะได้

$$\eta_M = \frac{6.86}{17.37} = 0.3950 = 39.50 \%$$

2.2 กังหันลมขนาดเล็ก PVC

พื้นที่รับลมของกันหัน

$$A = \frac{\pi d^2}{4} = \frac{\pi(0.61)^2}{4} = 0.29 \text{ m}^2$$

เมื่อ $P_a = \frac{1}{2}(1.23)(0.29)(3.07)^3$

$$= 5.18 \text{ W}$$

และ $T = 3.7(0.004) = 0.015 \text{ N.m}$

$$\omega = \frac{2\pi(358.6)}{60} = 37.53 \text{ rad/s}$$

จะได้ว่า $P_{out} = (0.015)(37.53)$

$$= 0.56 \text{ W}$$

ดังนั้นจะได้

$$\eta_M = \frac{0.56}{5.18} = 0.1085 = 10.85 \%$$

2.3 กังหันลมขนาดเล็กเรซิ่น

พื้นที่รับลมของกันหัน

$$A = \frac{\pi d^2}{4} = \frac{\pi(0.61)^2}{4} = 0.29 \text{ m}^2$$

เมื่อ $P_a = \frac{1}{2}(1.23)(0.29)(3.04)^3$

$$= 5.06 \text{ W}$$

$$\text{และ } T = 2.93(0.004) = 0.012 \text{ N.m}$$

$$\omega = \frac{2\pi(756.02)}{60} = 79.13 \text{ rad/s}$$

$$\text{จะได้ว่า } P_{out} = (0.012)(79.13)$$

$$= 0.95 \text{ W}$$

ดังนั้นจะได้

$$\eta_M = \frac{0.95}{5.06} = 0.1877 = 18.77 \%$$

3. การคำนวณเบรี่ยงเทียนกำลังที่กังหันลมสามารถผลิตได้กับขนาด น้ำหนักและราคาของกังหันลมทั้ง 3 แบบ

จาก กำลังที่ได้ต่อขนาดของกังหันลม = P_{out}/D

กำลังที่ได้ต่อน้ำหนักของกังหันลม = P_{out}/Weight

กำลังที่ได้ต่อราคาของกังหันลม = $P_{out}/\text{บาท}$

เมื่อ

| ชนิดกังหันลม | D (m) | น้ำหนัก (kg) | ราคา (บาท) | Pout (W) |
|--------------|-------|--------------|------------|----------|
| PVC ใหญ่ | 1.22 | 1.40 | 400 | 6.86 |
| PVC เสือก | 0.61 | 0.40 | 160 | 0.56 |
| เรซิน เสือก | 0.61 | 0.128 | 85 | 0.95 |

3.1 กังหันลมขนาดใหญ่ PVC

$$\text{กำลังที่ได้ต่อขนาดของกังหันลม} = 6.86/1.22 = 5.62 \text{ W/m}$$

$$\text{กำลังที่ได้ต่อน้ำหนักของกังหันลม} = 6.86/1.4 = 4.90 \text{ W/kg}$$

$$\text{กำลังที่ได้ต่อราคาของกังหันลม} = 6.86/400 = 0.017 \text{ W/บาท}$$

3.2 กังหันลมขนาดเสือก PVC

$$\text{กำลังที่ได้ต่อขนาดของกังหันลม} = 0.56/0.61 = 0.92 \text{ W/m}$$

กำลังที่ได้ต่อหน่วยน้ำหนักของกั้งหันลม = $0.56/0.4 = 1.41 \text{ W/kg}$

กำลังที่ได้ต่อราคากองกั้งหันลม = $0.56/160 = 0.003 \text{ W/บาท}$

3.3 กั้งหันลมขนาดเสิร์ฟชีน

กำลังที่ได้ต่อขนาดของกั้งหันลม = $0.95/0.61 = 1.56 \text{ W/m}$

กำลังที่ได้ต่อหน่วยน้ำหนักของกั้งหันลม = $0.95/0.128 = 7.41 \text{ W/kg}$

กำลังที่ได้ต่อราคากองกั้งหันลม = $0.95/85 = 0.011 \text{ W/บาท}$

ตารางเปรียบเทียบกำลังที่กั้งหันลมสามารถผลิต ได้กับขนาด น้ำหนักและราคากองกั้งหันลมทั้ง 3 แบบ

| ค่าที่ได้จากการคำนวณ | ชนิดของกั้งหันลม | | |
|--------------------------------|------------------|----------|------------|
| | PVC ใหญ่ | PVC เล็ก | เรซิ่นเล็ก |
| P_{out}/D (W/m) | 5.62 | 0.92 | 1.56 |
| P_{out}/Weight (W/kg) | 4.90 | 1.40 | 7.41 |
| $P_{out}/\text{บาท}$ (W/บาท) | 0.017 | 0.003 | 0.011 |

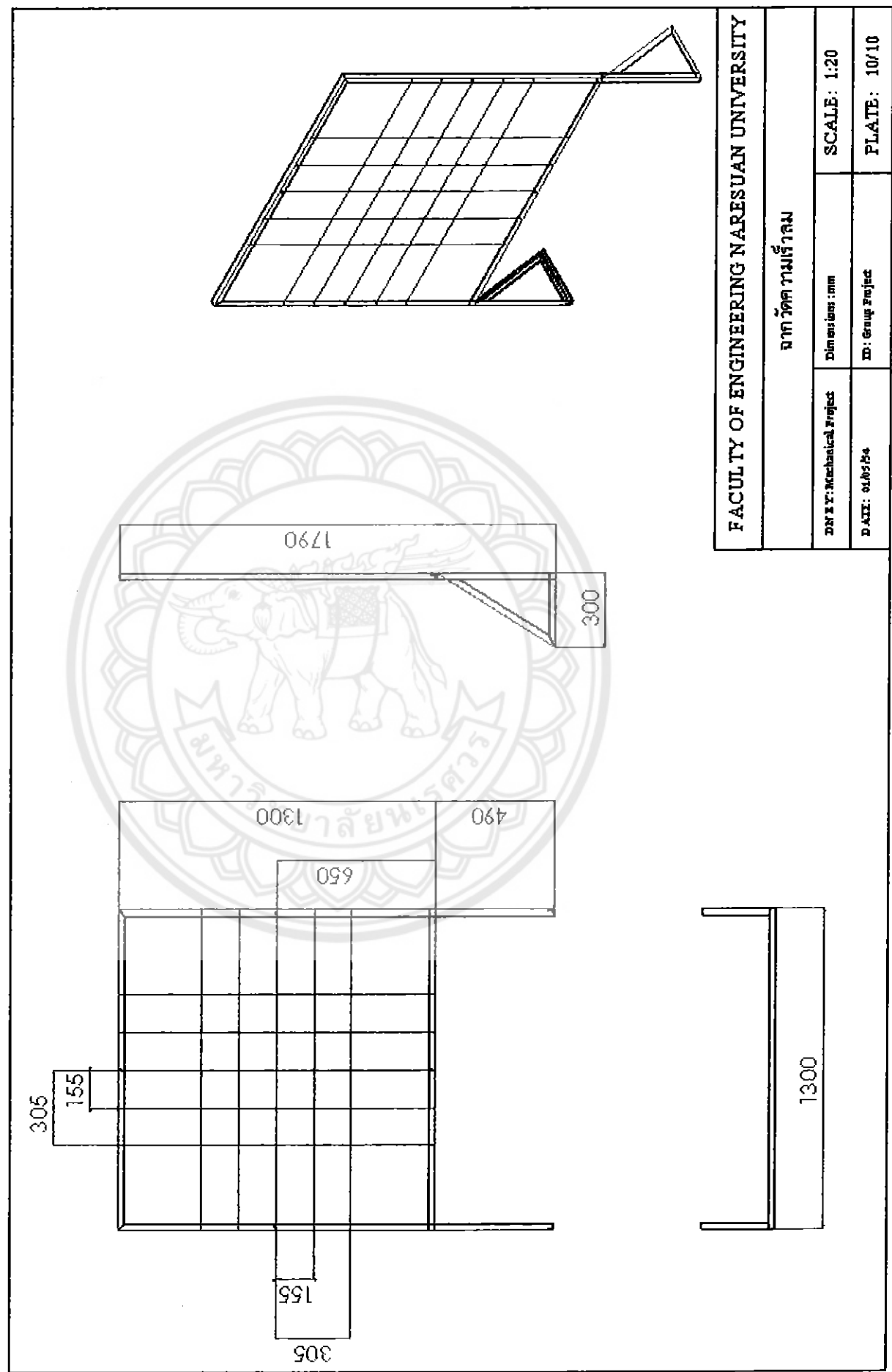
สรุปผลการเปรียบเทียบ

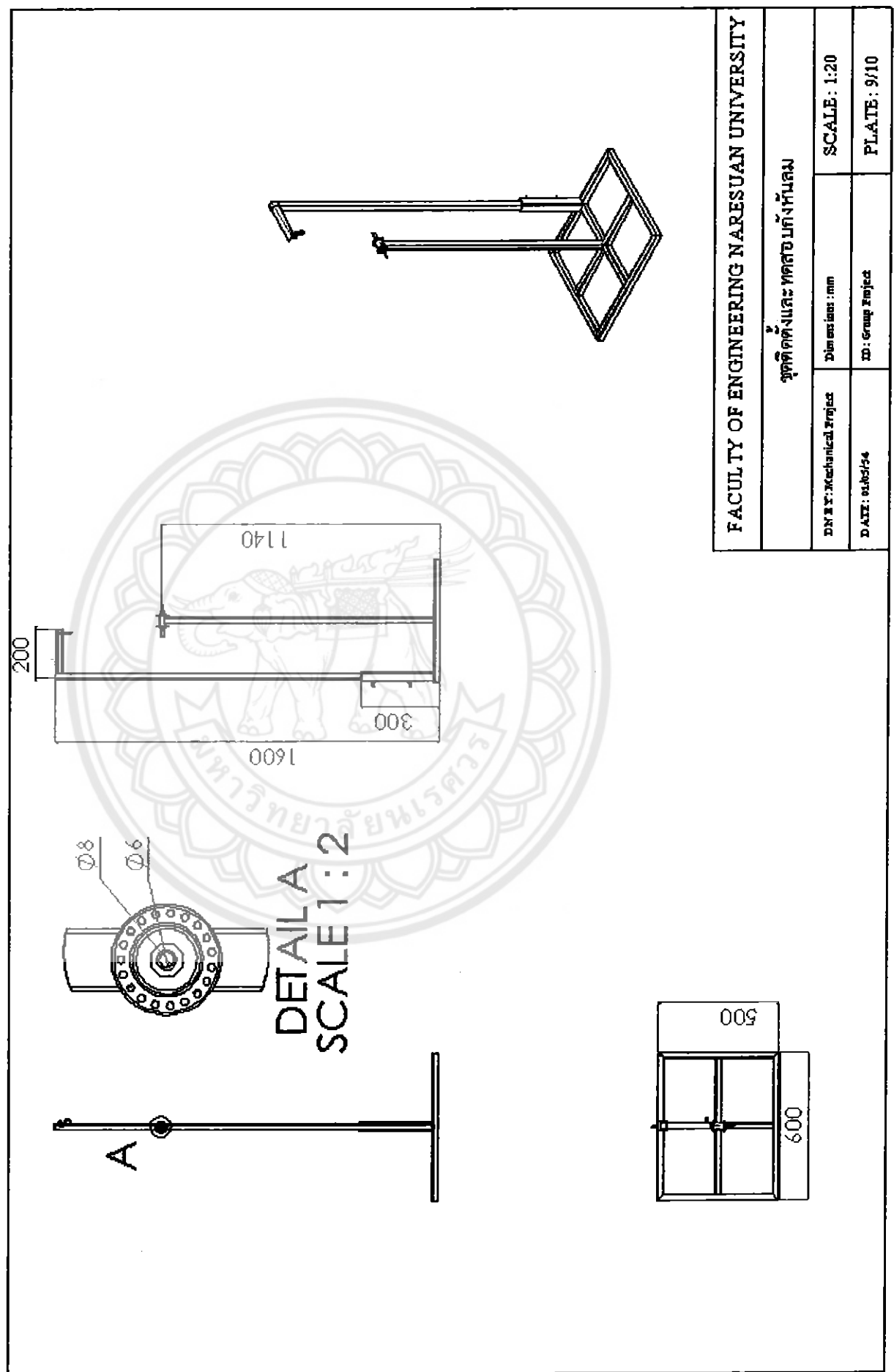
จากการที่ลดขนาดของกั้งหันลมให้มีขนาดเล็กลงเมื่อเปรียบเทียบในส่วนของกำลังที่ได้ต่อเส้นผ่าศูนย์กลาง น้ำหนักของกั้งหันลมและราคา พ布ว่ากั้งหันขนาดใหญ่จะให้ค่าที่สูงกว่ากั้งหันลมขนาดเล็กซึ่งดูได้จากกั้งหันลมขนาดใหญ่PVC ให้ค่าถึง 5.62 W/m 4.90 W/kg และ 0.017 W/บาท ตามลำดับ ส่วนกั้งหันลมขนาดเล็กPVC ให้เพียง 0.92 W/m 1.41 W/kg และ 0.003 W/บาท การลดน้ำหนักของกั้งหันลมเมื่อเปรียบเทียบในส่วนของส่วนของกำลังที่ได้ต่อเส้นผ่าศูนย์กลาง น้ำหนักของกั้งหันลมและราคา พ布ว่ากั้งหันลมที่มีน้ำหนักเบาจะให้ค่าที่สูงกว่ากั้งหันลมที่มีน้ำหนักมากซึ่งดูได้จากกั้งหันลมขนาดเล็กเรซิ่นเรซิ่นไข่แก้วให้ค่าถึง 1.56 W/m 7.41 W/kg และ 0.011 W/บาท แต่กั้งหันลมขนาดเล็กPVC ให้เพียง 0.92 W/m 1.41 W/kg และ 0.003 W/บาท การที่ลดทั้ง

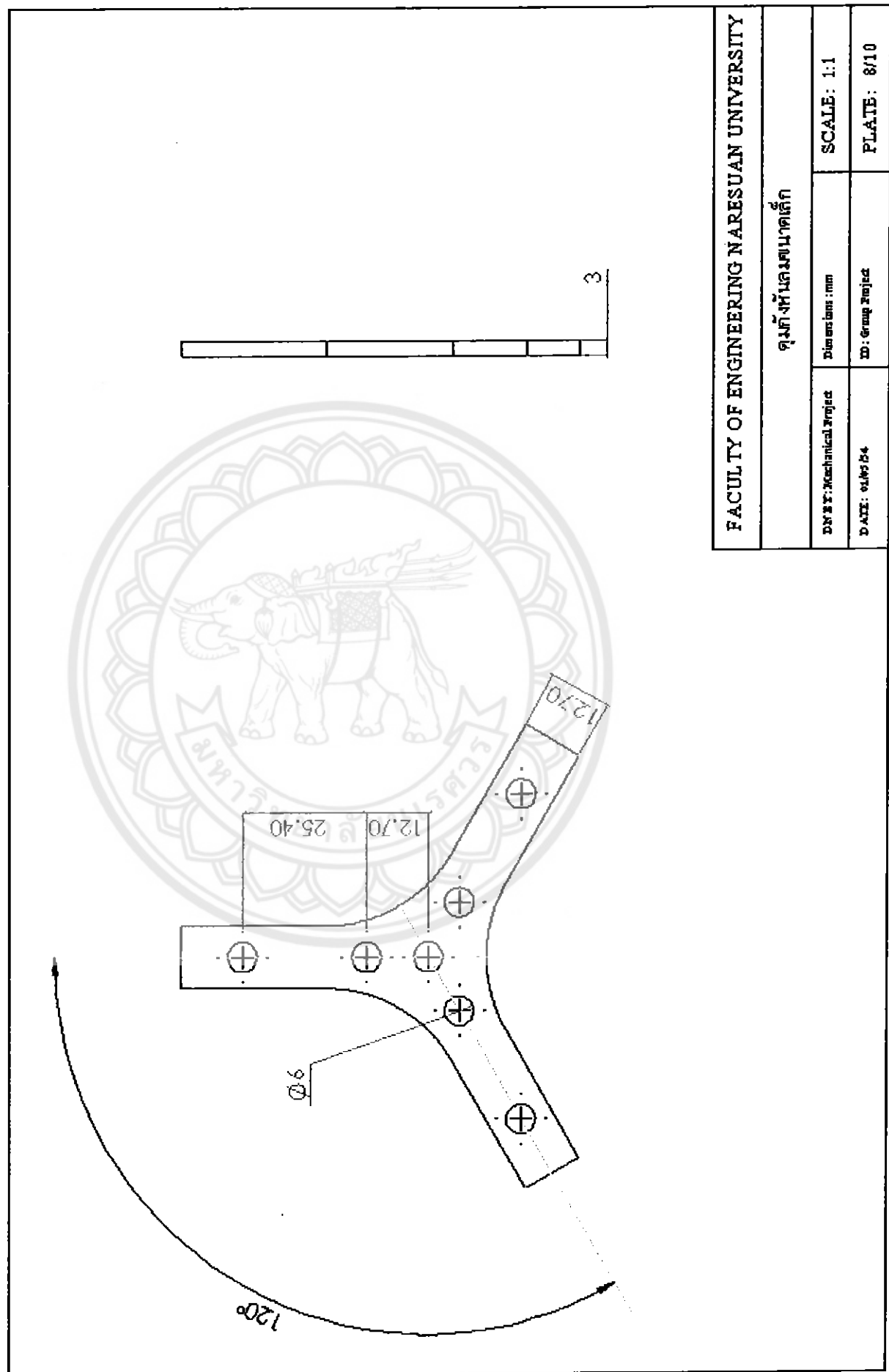
ขนาดและน้ำหนักของกั้งหันลมเมื่อคูในส่วนของกำลังที่ได้ต่อเส้นผ่านศูนย์กลางและราคา พบว่า กั้งหันขนาดใหญ่ PVC จะให้ค่าที่สูงกว่ากั้งหันลมขนาดเล็ก PVC กั้งหันลมขนาดใหญ่PVC ให้ค่า ถึง 5.62 W/m และ 0.017 W/บาท ตามลำดับ ส่วนกั้งหันลมขนาดเล็กเรซิ่นเสริมไข่แก้วให้ค่าเพียง 1.56 W/m และ 0.011 W/บาท ตามลำดับ แต่เมื่อคูในส่วนของกำลังที่ได้ต่อน้ำหนักของกั้งหันลม พบว่ากั้งหันขนาดเล็ก PVC จะให้ค่าที่สูงกว่ากั้งหันลมขนาดใหญ่ คูได้จากได้จากกั้งหันลมขนาด เล็กเรซิ่นเสริมไข่แก้วให้ค่าถึง 7.41 W/kg แต่กั้งหันลมขนาดใหญ่PVC ให้ค่าเพียง 4.90 W/kg

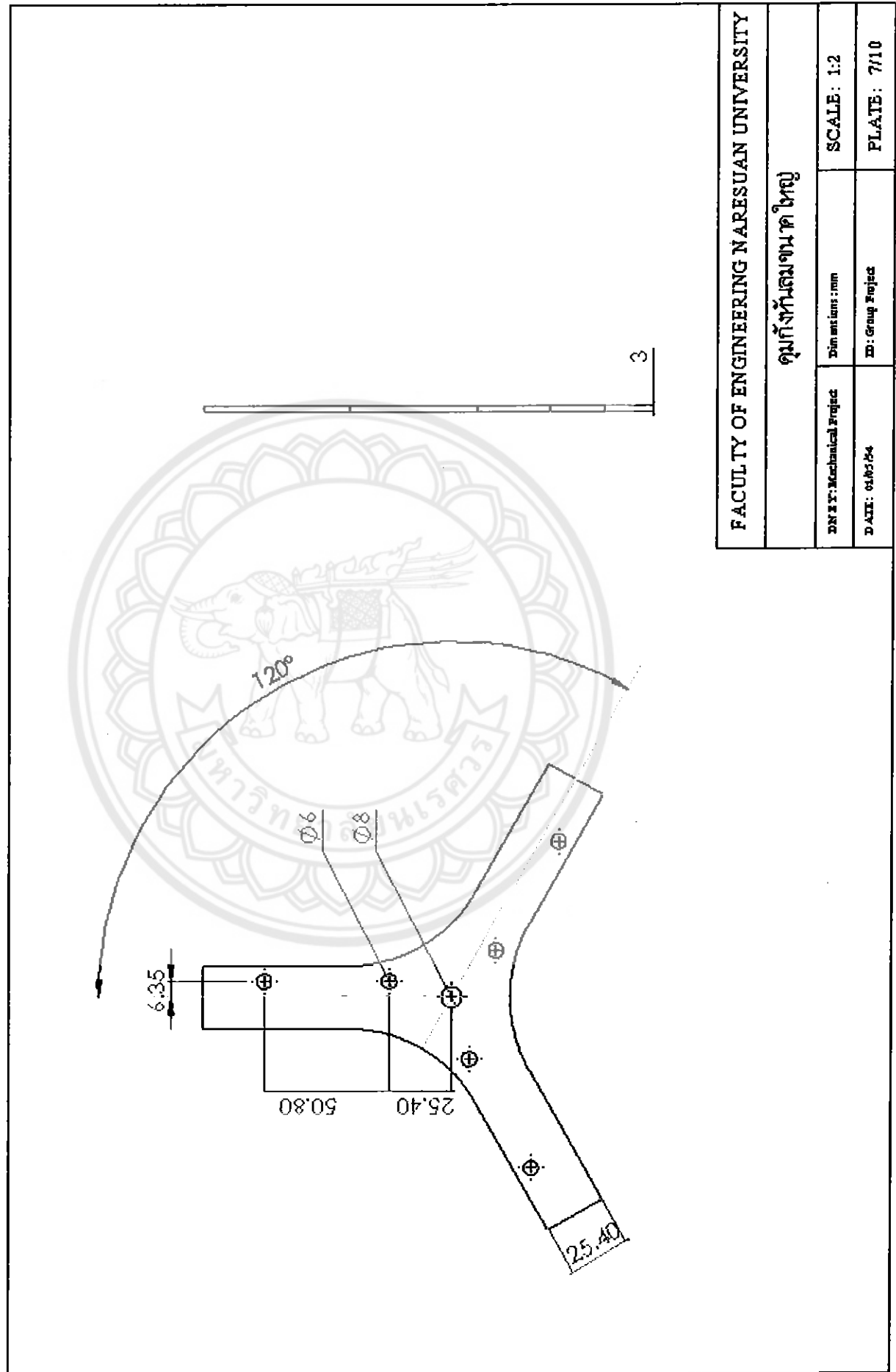




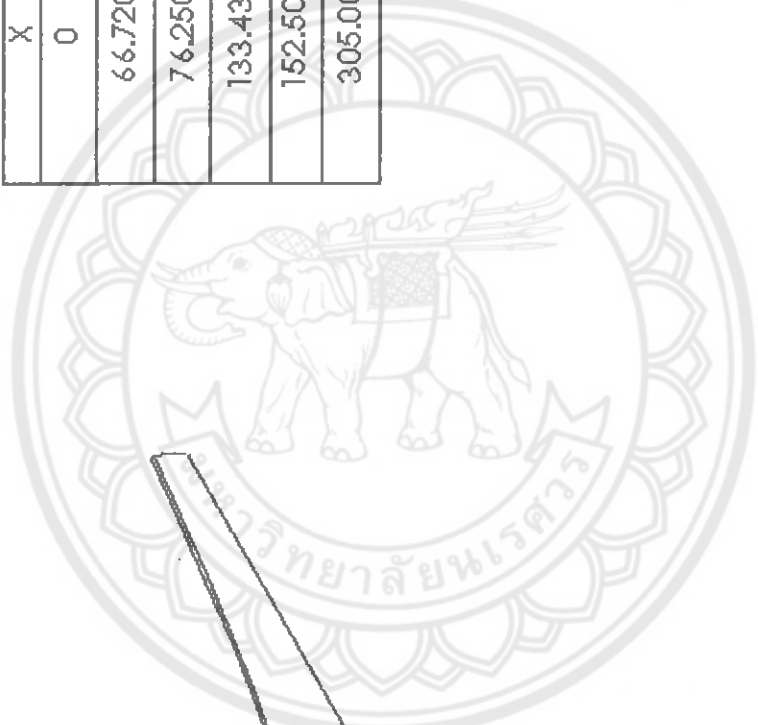








| X | Y |
|---------|--------|
| 0 | 44.450 |
| 66.720 | 68.120 |
| 76.250 | 71.5 |
| 133.437 | 64.737 |
| 152.500 | 57.975 |
| 305.00 | 22.225 |



FACULTY OF ENGINEERING NARESUAN UNIVERSITY

แผนกศิริภักดีพัฒนาคานักวิจัยฯ และสถาบันพัฒนาคณาจารย์

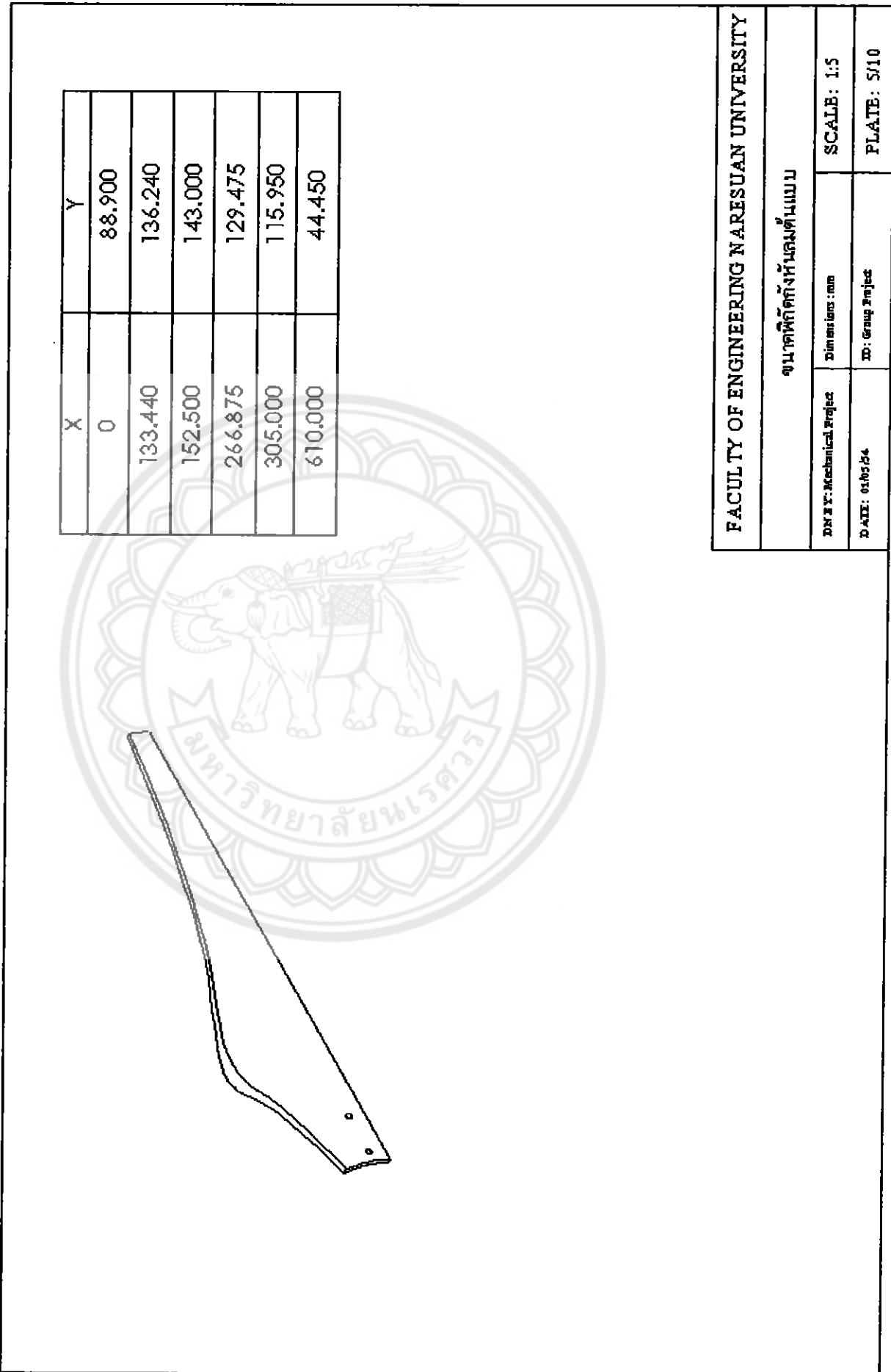
DN ชื่อ: Mechanical Project

Date: ๐๖.๐๕.๘๔

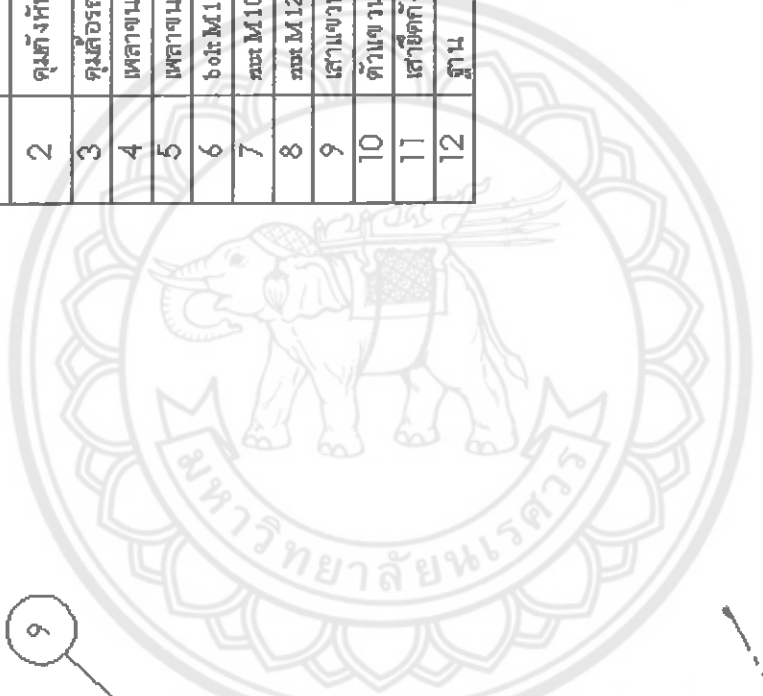
SCALE: 1:2

ID: งานที่ ๗๙๙

PLATE: ๖/๑๐



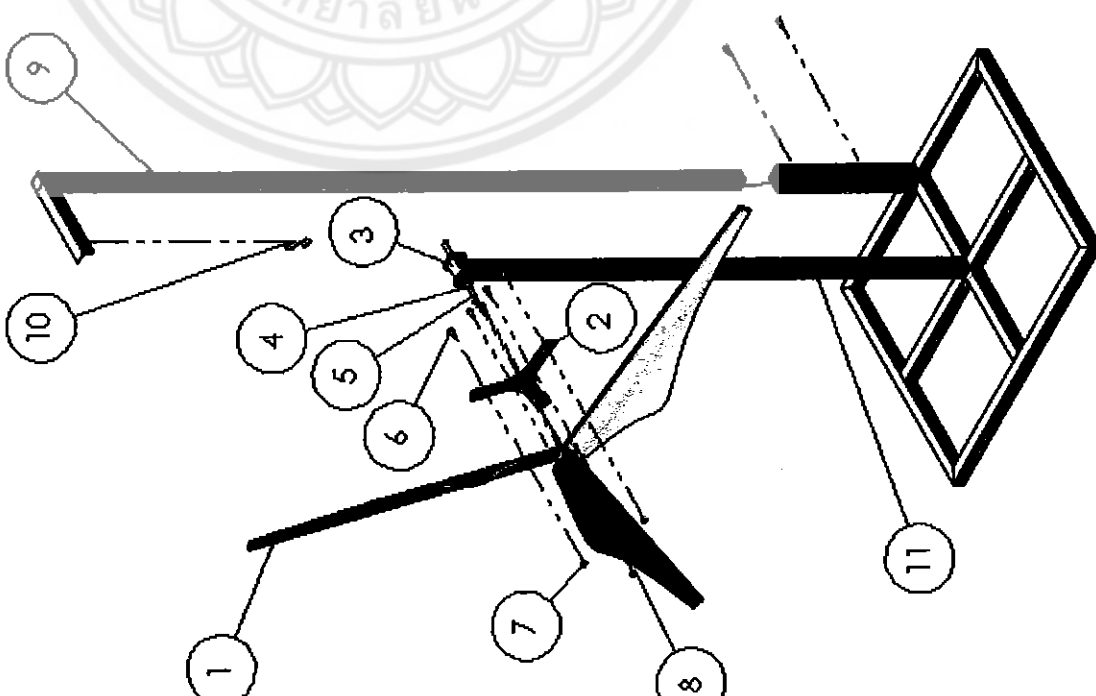
| NO. | PART NAME | QTY. |
|-----|----------------------|------|
| 1 | ไม้กางเขนเบาม | 3 |
| 2 | ดุมทึบหูน้ำ | 1 |
| 3 | คุณลักษณะจีก ขาบ | 1 |
| 4 | เหลาขนาด ๓ มม. | 1 |
| 5 | เหลาขนาด ๖ มม. | 1 |
| 6 | หัว M10 | 8 |
| 7 | ข้อ M10 | 6 |
| 8 | ข้อ M12 | 1 |
| 9 | โครงงานพัชราภิเษก | 1 |
| 10 | ตัวเขาน้ำเข้าสังกะปิ | 1 |
| 11 | โครงสร้างหัวแมม | 1 |
| 12 | รูป | 1 |

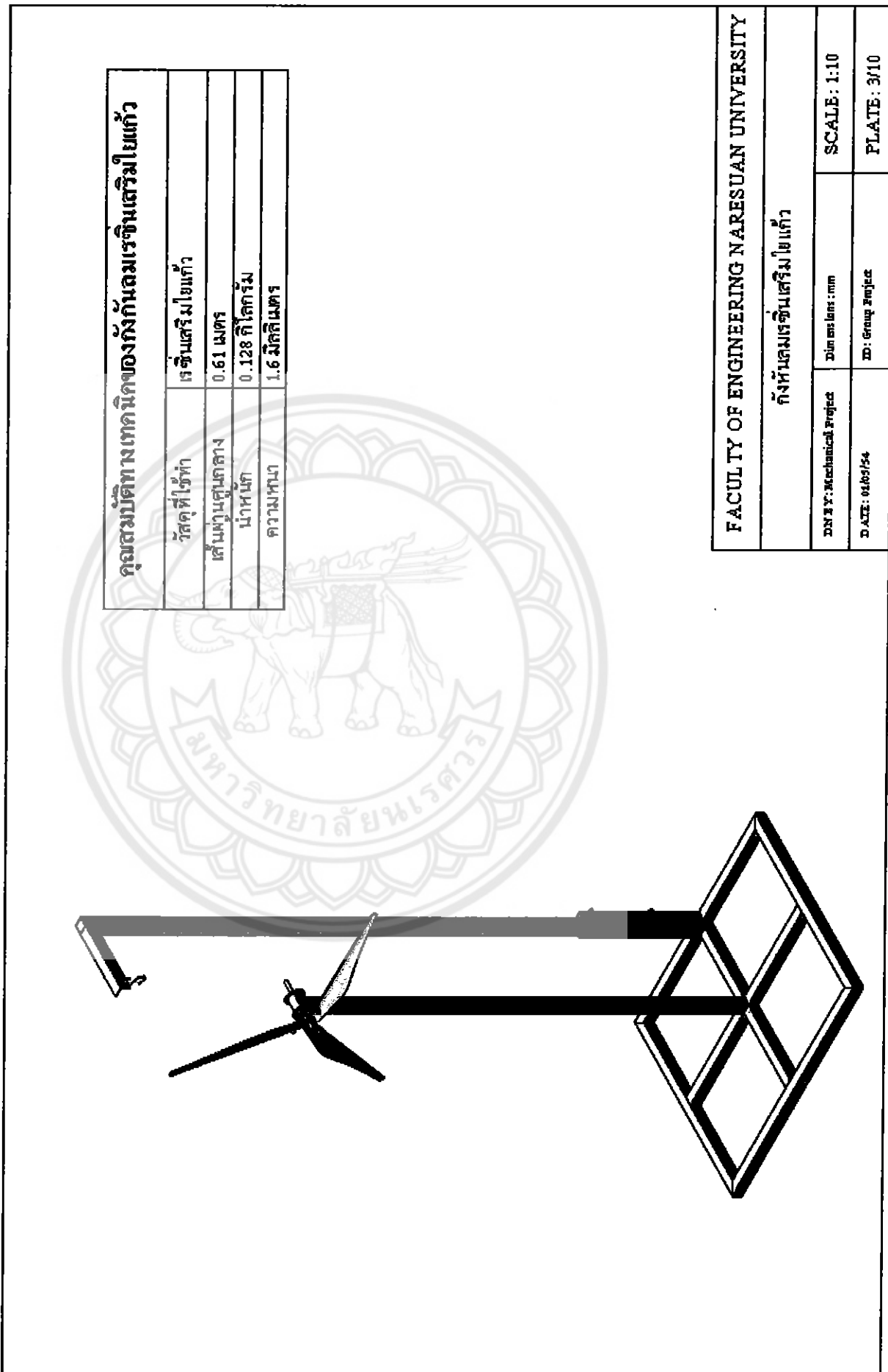


FACULTY OF ENGINEERING NARESUAN UNIVERSITY

Assembly

| | | |
|----------------------------|-----------------|-------------|
| แบบที่: Mechanical Project | หน่วยเมตร : mm | SCALE: 1:12 |
| ผู้เขียน: ๖๖๖๕๕๔ | ผู้ตรวจ: ๖๖๖๕๕๔ | PLATE: ๔๗ |





| | | | | | | | | | | | | | | | | | |
|--|-------------------|-----------------|-------------------|-------------------|------------|-------|--------------|--------|-------------|--|--|---------------------------|-----------------|--------------|-------------------|----------|--------------|
| <p style="text-align: center;">គូសេច្រាវត្ថាការណីកបុរឃណីកំណែមិនា នាទីភាព PVC</p> <table border="1" style="width: 100%; border-collapse: collapse;"> <tr> <td style="padding: 5px;">វត្ថុដីផ្លូវការ</td><td style="padding: 5px;">ទៅខ្សោគ ឱនាគ 6 ឯង</td></tr> <tr> <td style="padding: 5px;">តំបន់ការងារការលាង</td><td style="padding: 5px;">0.61 មេត្រ</td></tr> <tr> <td style="padding: 5px;">ដំឡើង</td><td style="padding: 5px;">0.4 គីឡូរ៉ែម</td></tr> <tr> <td style="padding: 5px;">គារងារ</td><td style="padding: 5px;">5 មិត្តិត្រ</td></tr> </table> | | វត្ថុដីផ្លូវការ | ទៅខ្សោគ ឱនាគ 6 ឯង | តំបន់ការងារការលាង | 0.61 មេត្រ | ដំឡើង | 0.4 គីឡូរ៉ែម | គារងារ | 5 មិត្តិត្រ |  <p>FACULTY OF ENGINEERING NARESUAN UNIVERSITY</p> <p style="text-align: center;">កំងការងារនាទីភាព PVC</p> <table border="1" style="width: 100%; border-collapse: collapse;"> <tr> <td style="width: 50%;">DATE : Mechanical Project</td><td style="width: 50%;">Dimensions : mm</td><td style="width: 50%;">SCALE : 1:10</td></tr> <tr> <td style="text-align: center;">DATE : 01.06.2564</td><td style="text-align: center;">10x10x10</td><td style="text-align: center;">PLATE : 2010</td></tr> </table> | | DATE : Mechanical Project | Dimensions : mm | SCALE : 1:10 | DATE : 01.06.2564 | 10x10x10 | PLATE : 2010 |
| វត្ថុដីផ្លូវការ | ទៅខ្សោគ ឱនាគ 6 ឯង | | | | | | | | | | | | | | | | |
| តំបន់ការងារការលាង | 0.61 មេត្រ | | | | | | | | | | | | | | | | |
| ដំឡើង | 0.4 គីឡូរ៉ែម | | | | | | | | | | | | | | | | |
| គារងារ | 5 មិត្តិត្រ | | | | | | | | | | | | | | | | |
| DATE : Mechanical Project | Dimensions : mm | SCALE : 1:10 | | | | | | | | | | | | | | | |
| DATE : 01.06.2564 | 10x10x10 | PLATE : 2010 | | | | | | | | | | | | | | | |

